

seria

electronică industrială



Ioan Mateescu • Irina Mateescu

OSCILOSCOPUL



Ing. IOAN MATEESCU ● Ing. IRINA MATEESCU

# OSCILOSCOPUL

Editura tehnică  București — 1972

Cartea cuprinde două părți esențiale și anume: descrierea osciloscopului și aplicațiile acestuia.

Sînt descrise blocurile fundamentale care compun osciloscopul, precum și cele mai diferite circuite anexă. Toate comentariile sînt făcute pe scheme concrete de osciloscopia existente în țară, pornind de la unele mai simple și ajungînd pînă la cele pretențioase. Sînt comentate modernizări ca amplificatoarele cu constante distribuite, comutatorul electronic și osciloscopul cu eșantionare. Această parte se adresează astfel unor cititori care dispun de un bagaj de cunoștințe de electronică.

Partea a doua se ocupă de aplicații. Ea se adresează unui cerc larg de cititori: medici, fizicieni, ingineri și tehnicieni de diferite specialități etc. Aplicațiile acoperă domenii variate din medicină, meșcanică, electrotehnică, radiotehnică și electronică. La sfîrșit se dau indicații de depanare și verificare.

Redactor: ing. CORNELIA BLAGA  
Tehnoredactor: THEODOR IVAN  
Coperta: NICOLAE NICOLAEV

*Bun de tipar: 15.01.1972. Coli de tipar: 8.  
C.Z.: 621.317.75.*

---

Tiparul executat sub com. nr. 62/1972, la întreprinderea  
poligrafică „Crișana” Oradea, str. Moscovei nr. 5.





## PREFATĂ

*Unul dintre aparatele electronice cu cea mai largă răspîndire este osciloscopul.*

*În diferite variante constructive el poate fi găsit atît în uzine, cît și în laboratoarele cele mai moderne.*

*Apărut în primele decenii ale sec. XX, osciloscopul a fost în permanență perfecționat, reușind să atingă astăzi performanțe care rivalizează cu ale celor mai bune instrumente de măsurat, avînd în plus avantajul că permite vizualizarea formei semnalelor investigate.*

*Osciloscopul este folosit în egală măsură de specialiști în electronică, ca și de persoane cu pregătire diferită de acest domeniu (medici, biologi, fizicieni, chimiști etc.).*

*Sarcina de a scrie o carte care să satisfacă cititori atît de deosebiți este destul de dificilă. Din acest motiv am optat pentru o tratare diferențiată.*

*Prima parte, în care este descris osciloscopul, solicită un nivel mai ridicat de cunoștințe de electronică. Partea a doua, în care sînt descrise aplicațiile osciloscopului, se adresează unui cerc larg de cititori.*

*În capitolele 2 și 3 se analizează circuitele osciloscopului. Am prezentat aproape fiecare bloc în cîteva variante,*

*pornind de la una cât mai simplă, cu scopul de a permite o abordare progresivă a subiectelor.*

*Variantele diferă după tipul de osciloscop din care fac parte, dar au fost astfel alese încît să permită discutarea majorității schemelor folosite în prezent în practică. În limita posibilităților, am prezentat și scheme cu tranzistoare.*

*Capitolul 3 se ocupă cu descrierea osciloscopului cu eșantionare, realizare destul de nouă și de puțin cunoscută.*

*A doua parte se ocupă de aplicații. Capitolul are o dezvoltare apreciabilă și încearcă să treacă în revistă majoritatea domeniilor de utilizare a osciloscopului. Se dau scheme concrete de măsurare, se prezintă forme de undă caracteristice din inginerie, medicină și cercetarea științifică.*

AUTORII

## INTRODUCERE

*Osciloscopul* este unul dintre aparatele de măsurat asupra căruia progresele extraordinare realizate în electronică în ultimii ani și-au pus amprenta în mod deosebit.

Folosirea tubului catodic pentru măsurări a fost sugerată încă din 1897 de Braun. Cîțiva ani mai tîrziu, Wehnelt (1904) inventează filamentul de platină acoperit și apoi introduce în tub electrodul de comandă, care-i poartă numele. Abia în 1926 se produce însă un salt în dezvoltarea tubului modern, cînd Bush arată că fasciculul electronic poate fi focalizat magnetic sau electrostatic, într-o manieră analogă sistemelor de lentile din optică. Apariția televiziunii și apoi a radiolocației influențează puternic dezvoltarea osciloscopului. La început au predominat focalizarea și deflexia magnetică; după 1939 însă se dezvoltă tubul cu focalizare electrostatică, solicitat în special în sistemele de radar. După 1940 osciloscopul devine tot mai mult un aparat pentru măsurări cantitative. De asemenea, tubul catodic și chiar osciloscopul intră în tot mai multe ansambluri destinate observării unor fenomene variate, formînd aparate cu denumiri și utilizări specializate. O gamă foarte largă de traductoare permite folosirea osciloscopului pentru măsurarea majorității mărimilor fizice.

Prin proprietățile sale, osciloscopul se plasează între voltmetrul electronic și înregistratorul cu peniță. Față de voltmetrul electronic are avantajul că permite observarea formei semnalului investigat, iar față de înregistra-

tor, faptul că folosește drept indicator un fascicul de electroni practic fără inerție.

Elementul caracteristic osciloscopului îl formează *tubul catodic*. Un fascicul de electroni creat de un catod încălzit este focalizat, accelerat și apoi deflectat de un sistem de electrozi. După o accelerare finală, electronii bombardează un ecran fluorescent producând o pată luminoasă — *spotul*. Deplasarea spotului pe ecran formează imaginea corespunzătoare semnalului investigat. Fiecare tub catodic are o anumită sensibilitate a plăcilor de deflexie reprezentată de deplasarea spotului, măsurată în milimetri, corespunzătoare unei tensiuni de 1 V. Este evident că anumite semnale cu amplitudine mică nu pot produce o deplasare vizibilă a spotului. Din acest motiv, osciloscopul este prevăzut cu amplificatoare pentru amândouă sistemele de deflexie — pe verticală și pe orizontală. Pentru a se putea trece cu ușurință de la măsurarea semnalelor mici la măsurarea semnalelor mari și invers, este necesară introducerea unui atenuator calibrat în trepte la intrarea amplificatorului. Banda de frecvențe a amplificatorului de deflexie pe verticală determină în mare măsură calitățile osciloscopului.

În majoritatea cazurilor osciloscopul servește pentru observarea semnalelor produse de fenomene care se petrec în timp. Într-o reprezentare în două dimensiuni, pe ecran va apărea curba dependenței de timp a unei mărimi fizice. Un sistem de coordonate cu originea în centrul ecranului va avea ca axă *X* (orizontală) axa timpului, iar ca axă *Y* (verticală) axa tensiunii corespunzătoare fenomenului studiat. Sistemul de deflexie pe orizontală trebuie să asigure deci o scară de timp pentru orizontală. Această scară de timp se realizează într-un bloc special al osciloscopului, numit *bloc de baleiaj*. Pentru a se obține o corespondență liniară între deplasările pe orizontală ale spotului și timp, blocul de baleiaj trebuie să producă o tensiune de deflexie care să crească liniar cu timpul. Această tensiune poartă numele de *tensiune în dinți de ferăstrău*. Generatorul de baleiaj împreună cu amplificatorul de deflexie pe verticală formează blocurile fundamentale ale osciloscopului. Aceste blocuri determină performanțele tipului respectiv de osciloscop.

Parametrii cei mai importanți pentru caracterizarea unui osciloscop sînt *sensibilitatea* și *banda de frecvențe*. Osciloscopia pot fi clasificate după aceste criterii. În conformitate cu standardele în vigoare în R.S.R., sensibilitatea unui aparat se definește ca raportul deviație/semnal de intrare. Majoritatea constructorilor de osciloscopia consideră însă sensibilitatea ca raportul între semnalul de intrare și deviația spotului (adică o mărime inversă celei de mai sus). Într-o primă categorie intră osciloscopul de serviciu cu o sensibilitate de 50—100 mV/cm și o bandă de frecvențe pînă la 5 MHz. O altă categorie este formată de osciloscopia de laborator, a căror sensibilitate crește pînă la 500  $\mu$ V/cm pentru o bandă de 50 MHz. O ultimă categorie este formată de osciloscopia speciale cu o sensibilitate pînă la 10  $\mu$ V/cm și cu o bandă de 150 MHz (prin eșantionare 13 GHz).

Sensibilitatea și banda de frecvențe sînt două cerințe contradictorii, în sensul că creșterea uneia este legată de scăderea celeilalte.

Deși viteza electronilor care compun fasciculul este foarte mare, dimensiunile tubului catodic, determinate de sensibilitatea acestuia, sînt relativ mari. Astfel, timpul de trecere a electronilor produce micșorarea sensibilității pentru semnale a căror lungime de undă este comparabilă cu dimensiunile plăcilor de deflexie și introduce un defazaj între cele două perechi de plăci. În acest fel apare evidentă limitarea benzii de frecvențe datorită timpului de trecere a electronilor.

Realizarea simultană a performanțelor maxime de bandă și sensibilitate implică o creștere substanțială a costului aparatului respectiv. Din acest motiv, se preferă realizarea unor osciloscopia cu bandă largă, cu sensibilitate redusă sau cu mare sensibilitate, dar cu bandă redusă. În ultimii ani această tendință a condus la construirea unor osciloscopia cu blocuri interschimbabile. Pe un panou frontal se găsesc plasate tubul catodic și comenzile principale, precum și locuri pentru introducerea preamplificatoarelor pentru deflexia pe verticală și pentru introducerea diferitelor baze de timp. Unele tipuri de osciloscopia permit schimbarea a 15—20 de blocuri diferite. Pentru exemplificare se menționează oscilo-

scopul 141 A produs de firma Hewlett-Packard (S.U.A.) Osciloscopul propriu-zis permite schimbarea a 9 amplificatoare și a 7 baze de timp. Cu amplificatorul 1403 A osciloscopul are sensibilitatea de  $10 \mu\text{V/cm}$  la o bandă de frecvențe cuprinsă între 0,1 Hz și 400 kHz. Cu amplificatorul 1402 A osciloscopul are sensibilitatea de  $5 \text{ mV/cm}$  la o bandă de frecvențe de 0—20 MHz pe două canale. Cu amplificatorul 1411 A, osciloscopul are două canale cu sensibilitatea de  $1 \text{ mV/cm}$  la o bandă de 0—12,4 GHz. Cu amplificatorul 1406 A osciloscopul are sensibilitatea de  $50 \mu\text{V/cm}$  cu precizia de 0,5% la o bandă de frecvențe de 0—400 kHz. Se observă că performanțele privind sensibilitatea în curent continuu sînt apropiate de cele ale voltmetrelor numerice cu patru cifre. Față de acestea însă, osciloscopul are avantajul că permite măsurarea unor tensiuni variabile foarte mici (de ordinul microvolților) suprapuse peste componente de tensiune continuă mari. Banda de 12,4 GHz permite observarea caracteristicilor de comutație ale dispozitivelor rapide putîndu-se vizualiza fronturi de 28 ps. Ea este realizată însă pe principiul eșantionării (v. § 3.2). Din această cauză, banda de frecvențe reală a amplificatorului nu depășește 1 MHz. Baza de timp 1421 A este stabilă pînă la 20 MHz, putînd produce tensiuni cu durate de 20 ns/cm. Banda de timp pentru regim de eșantionare 1424 A are 24 de scări, de la 10 ps/cm pînă la 500  $\mu\text{s/cm}$  și poate fi declanșată pînă la 5 GHz.

Pe lîngă blocurile fundamentale care îi determină performanțele, osciloscopul mai dispune de o serie de blocuri importante pentru funcționare, precum și de cîteva circuite auxiliare. În fig. 1.1 este prezentată schema-bloc a unui osciloscop de laborator.

Tensiunea care urmează să fie vizualizată se aplică la borna Y a circuitului de intrare CI. Acest circuit conține un divizor de tensiune compensat cu frecvența, avînd 8—10 trepte de atenuare. Circuitul de intrare permite obținerea unei imagini care să ocupe cel mai bine suprafața ecranului. De la ieșirea lui CI, semnalul atenuat este aplicat la intrarea preamplificatorului PV. De obicei, circuitul CI și preamplificatorul PV se construiesc sub

forma unui ansamblu separat, care poate fi detașat de restul aparatului. Preamplificatorul realizează o amplificarea a semnalului, oferă semnalul necesar blocului de sincronizare *S* și, în unele cazuri, asigură alimentarea unor becuri cu neon care pun în evidență poziția spotului când acesta părăsește suprafața ecranului. De la ieșirea

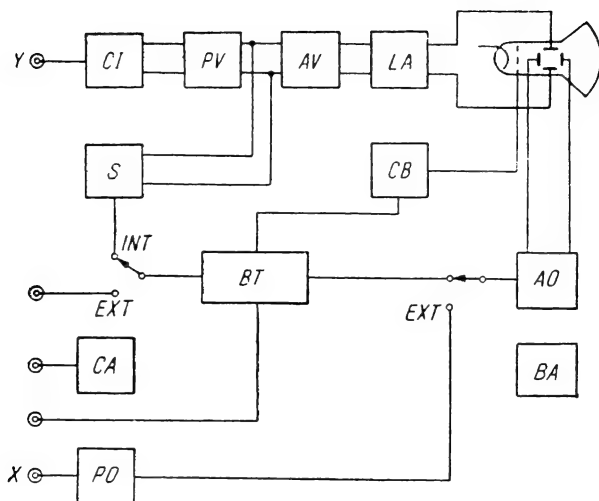


Fig. 1.1. Schema-bloc a osciloscopului.

preamplificatorului semnalul este aplicat amplificatorului de deflexie pe verticală *AV*. Blocul *AV* se realizează în variantă nedetașabilă și se termină, de obicei, pe o linie de întârziere *LA*. Linia are rolul de a întârzia semnalul și a crea astfel timpul necesar pentru declanșarea bazei de timp. Tensiunea în dinți de ferăstrău, necesară deflexiei pe orizontală a spotului, este produsă de generatorul de baleiaj din baza de timp *BT*. Tensiunea de baleiaj poate fi sincronizată din interior, folosind semnalul produs de blocul de sincronizare *S*, sau din exterior. Tensiunea bazei de timp se amplifică în amplificatorul de deflexie pe orizontală *AO* și apoi se aplică pe plăci. Amplificatorul *AO* poate amplifica și tensiuni de altă formă, provenite din exterior. Acestea se aplică la borna *X*, care

reprezintă intrarea în preamplificatorul PO. Tot baza de timp mai comandă circuitul CB, care asigură stingerea spotului în timpul revenirii tensiunii de baleiaj (cursa inversă). Baza de timp poate fi realizată sub forma unui bloc detașabil. În acest mod se pot schimba performanțele osciloscopului folosind diferite cupluri preamplificator-bază de timp.

Dintre circuitele auxiliare, cele mai folosite sînt circuitele de calibrare a amplitudinii CA și de calibrare a duratei. Osciloscopul mai este prevăzut cu un bloc de alimentare și cu circuite pentru reglarea spotului. Acestea permit reglarea strălucirii spotului, ajustarea focalizării precum și combaterea astigmatismului. În osciloscopape speciale există sisteme pentru asigurarea unei persistențe variabile. Prezența imaginii pe ecran poate fi cuprinsă între 0,2 s și cîteva zile (de exemplu, tipul 141 A).

Pentru vizualizarea simultană a două sau mai multe fenomene pe ecranul aceluiași tub catodic se folosește fie un tub catodic multiplu, fie comutatorul electronic (v. § 3.1). În cazul din urmă semnalele sînt aplicate simultan la intrările mai multor amplificatoare identice, denumite în mod uzual canale de amplificare.

În ultimul timp au fost realizate o serie de modernizări privind concepția constructivă. În primul rînd s-a trecut la generalizarea folosirii blocurilor interschimbabile, ceea ce realizează o mai bună adaptare a osciloscopului la condițiile de măsurare. Introducerea amplificatoarelor de curent continuu oferă avantajul eliminării defazajelor care pot apărea în scheme cu mai multe etaje. Adoptarea amplificatoarelor de deflexie pe verticală cu constante distribuite a condus la lărgirea benzii de frecvențe. În pas cu realizările industriei de dispozitive active, construcția osciloscopelor a asimilat la început diodele tunel, iar acum circuitele integrate, în special pentru bazele de timp. Se pare că circuitele integrate de tip TTL, care realizează viteze de comutare foarte mari, vor putea fi folosite în generatoarele osciloscopelor cu eșantionare.



## DESCRIEREA OSCILOSCOPULUI

### 2.1. TUBUL CATODIC

Tubul catodic, schițat în fig. 2.1, cuprinde trei părți esențiale: tunul electronic, sistemul de deflexie și ecranul.

*Tunul electronic* produce un fascicul îngust de electroni. Sursa de electroni este constituită de un catod cu încălzire indirectă 1. Catodul se construiește sub forma unui cilindru închis la un capăt. Pe suprafața bazei cilindrului se depozitează o substanță care îmbunătățește emisia electronică. Suprafața emisivă are dimensiuni mici în comparație cu cea de la tuburile electronice obișnuite. Finețea spotului este determinată de mărimea suprafeței emise. Cu cât catodul are dimensiuni mai mici, cu atât spotul este mai îngust. În acest fel scade însă intensitatea fascicului electronic și, din punct de vedere constructiv, se urmărește realizarea unui compromis între aceste cerințe. În interiorul catodului se află plasat un filament care asigură încălzirea. Filamentul se realizează sub forma a două fire răsucite. Acest mod de construcție determină eliminarea influenței câmpului magnetic produs de alimentarea de la rețea a filamentului. În scopul obținerii unui fascicul electronic cât mai îngust, catodul se introduce în interiorul unui alt cilindru 2, închis la un capăt. În capacul care închide cilindrul se practică un orificiu îngust, care să permită trecerea electronilor. Acest electrod se numește cilindru Wehnelt. grilă sau modulator și

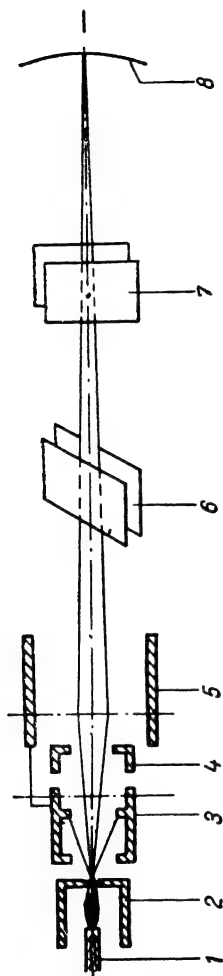


Fig. 2.1. Tubul catodic.

servește la comanda intensității fasciculului. Cu ajutorul grilei se poate modifica strălucirea spotului luminos. Comandînd intensitatea fasciculului grila acționează și ca o „lentilă” electronică producînd focalizarea fasciculului. Această focalizare este însă insuficientă, întrucît ea se petrece în apropierea grilei, iar fasciculul diverge la distanțe mai mari. Astfel, este necesară o focalizare suplimentară, care se realizează cu ajutorul primului anod 4. Pentru a micșora dependența între reglajul strălucirii și reglajul focalizării, se plasează între grilă și anod un alt electrod 3, de formă cilindrică și cu două diafragme. Anodul al doilea, 5, servește la accelerarea fasciculului.

*Sistemul de deflexie* care se folosește aproape exclusiv în osciloscopul modern este cel electrostatic. Fasciculul electronic creat de tunul electronic intră între două perechi de plăci 6 și 7, așezate ca în fig. 2.1. Sistemul de deflexie pe verticală lucrează în condiții mai grele, trebuind să asigure o sensibilitate generală mai bună decît sistemul de deflexie pe orizontală. Prima pereche de plăci 6, beneficiind de o sensibilitate ceva mai mare decît perechea următoare, este folosită pentru deflexia pe verticală a fasciculului. A doua pereche de plăci,

7, servește la devierea fasciculului în plan orizontal. Pentru mărirea sensibilității generale a tubului catodic se folosește postaccelerarea fasciculului, prin introducerea unui al treilea anod situat între sistemul de deflexie și ecran. Tensiunile continue care se aplică pe electrozii tubului catodic sînt luate de la blocul de alimentare. Pe anodul al doilea se aplică tensiuni de ordinul a 800—3 000 V, iar pe primul anod se aplică tensiuni de ordinul a 0,2—0,5 din valoarea tensiunii de pe cel de al doilea anod. Potențialul de postaccelerare poate atinge 10—30 kV. Sensibilitatea tubului catodic este măsurată în mm/V și are pentru deflexia pe verticală valori cuprinse între 0,2 și 4 mm/V, iar pentru deflexia pe orizontală valori cuprinse între 0,1 și 3 mm/V.

Ecranul 8 se realizează dintr-o substanță fluorescentă, care împreună cu un activator pentru mărirea eficienței luminoase este depusă pe suprafața interioară a tubului catodic. Pentru ecranul cu lumină verde se folosește de obicei willemite ( $\text{ZnO} + \text{SiO}_2$ ) cu magneziu drept activator. Osciloscopul destinat observării prin fotografiere utilizează ecrane cu lumină albastră. Ecranul este acoperit în acest caz cu sulfură de zinc activată cu argint sau alte ori cu wolfram de calciu. O caracteristică importantă a ecranului este persistența — perioada în care ecranul continuă să lumineze deși fasciculul electronic nu-l mai bombardează. Pentru observarea fenomenelor lente sau care nu se repetă este utilă o persistență mare. Ecranele cu fluorură de magneziu dau o lumină portocalie și asigură o persistență de câteva secunde.

Un alt mijloc pentru obținerea unei persistențe ridicate este folosirea unui ecran cu două straturi. Suprafața sticlei este acoperită cu un strat de sulfură de cadmiu și zinc activat cu cupru care dă o lumină portocalie și apoi cu un al doilea strat din sulfură de zinc activat cu argint. Ecranele au de obicei formă circulară cu un diametru reprezentînd  $1/25$ — $1/4$  din lungimea tubului catodic. În ultimul timp se fabrică și tuburi cu ecran dreptunghiular. Practic, suprafața ecranului are formă dreptunghiulară cu dimensiuni de  $8 \times 10$  sau  $3 \times 5$  cm etc. Peste suprafața ecranului, în exterior, se aplică un disc transparent

prevăzut cu o rețea de linii trasate la 1 cm distanță sau mai des și care pot fi independent luminate. Acest caroi aj lumnat permite aprecieri cantitative mult mai precise.

## 2.2. CIRCUITUL DE INTRARE

Circuitul de intrare se realizează sub forma unui divizor de tensiune cu diferite rapoarte de divizare: 1 : 1, 1 : 10 și 1 : 100 sau 1 : 1, 1 : 2, 1 : 5, 1 : 10, 1 : 50, 1 : 100 etc. Divizorul cuprinde rezistențe și capacități. El trebuie să îndeplinească trei condiții principale: să aibă impedanța de intrare mare, să permită micșorarea semnalului de intrare pînă la valori la care amplificatorul nu limitează și, în sfîrșit, să nu modifice caracteristica generală de frecvență a osciloscopului. În plus, osciloscopul trebuie să fie prevăzut cu un reglaj fin al amplificării. Pentru satisfacerea acestor deziderate circuitul de intrare se construiește sub forma unui divizor rezistiv compensat cu capacități, ca în fig. 2.2.

În domeniul frecvențelor joase rolul preponderent îl au rezistențele și divizarea tensiunii de la intrare în raportul dorit se face prin intermediul elementelor  $R_2$  și  $R_3$ .

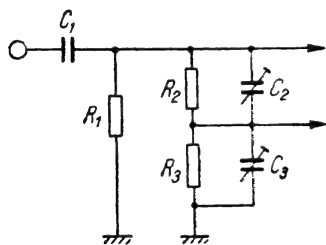


Fig. 2.2. Atenuator de intrare.

În domeniul frecvențelor înalte capacitățile au un rol important, divizarea realizîndu-se cu ajutorul elementelor semivariabile  $C_2$  și  $C_3$ . Folosirea condensatoarelor semivariabile este justificată de nevoia de a compensa influența capacităților parazite care apar. Evident, raportul de divizare la frecvențe înalte trebuie să fie același cu raportul de la frecvențele joase. Folosind un astfel de di-

vizor, se poate obține pe ecranul osciloscopului o imagine potrivită, indiferent de valoarea tensiunii investigate. Sînt însă cazuri în care imaginea obținută este prea mică la unul dintre rapoartele de divizare și depășește cadrul ecranului la raportul de divizare imediat apropiat. Din

acest motiv, osciloscopul este prevăzut cu un sistem de reglaj fin al amplificării. Soluția cea mai simplă ar fi folosirea unui potențiometru în circuitul de intrare. Se constată însă o înrăutățire a caracteristicii de frecvență a osciloscopului. Se recurge atunci la intercalarea între divizor și amplificator a unui etaj care să aibă o impedanță mare de intrare și o impedanță de ieșire mică. Etajul se realizează sub forma unui repetor catodic (fig. 2.3).

### 2.3. AMPLIFICATOARELE

Unul dintre blocurile fundamentale ale osciloscopului este amplificatorul de deflexie pe verticală. El se compune dintr-un preamplificator care de obicei se prezintă sub forma unui panou separat, și care poate fi scos din cutia osciloscopului pentru a fi înlocuit și din amplificatorul propriu-zis care este nedetașabil și de la a cărui ieșire semnalul se aplică la plăcile de deflexie pe verticală a spotului.

Amplificatorul de deflexie pe verticală lucrează în general într-o bandă largă de frecvențe, trebuie să realizeze o amplificare importantă și, în plus, să producă o întârziere a semnalului util de ordinul a 0,2—0,3  $\mu$ s. Aceste cerințe impun folosirea unor corecții pentru frecvențele joase și înalte de la extremitățile benzii, iar pentru obținerea întârzierii impun folosirea unor linii de întârziere sau a unor amplificatoare cu linii de întârziere cu constante distribuite. Pe lângă utilizarea corecțiilor, pentru eliminarea influențelor capacităților parazite care apar din cauza comutatoarelor și a altor componente, se folosesc foarte des scheme amplificatoare cu repetor catodic.

Schema amplificatorului de deflexie pe verticală din osciloscopul C1-1 (U.R.S.S.) este prezentată în fig. 2.4. Factorul de amplificare este 2 000, iar banda de frecvențe

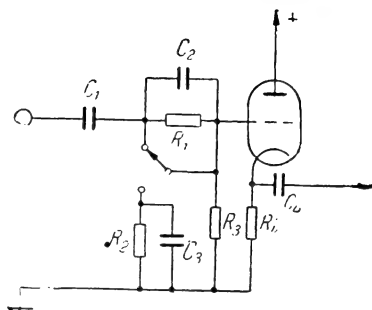


Fig. 2.3. Circuit de intrare cu repetor catodic.



1 Hz—250 kHz. Semnalul este inițial amplificat de trei triode  $T_1$ ,  $T_2$  și  $T_3$ , iar apoi de un montaj în contratimp echipat cu  $T_4$  și  $T_5$ . Se folosesc două triode în locul unei pentode pentru că astfel se poate asigura o mai bună stabilitate a amplificării. Rezistențele mici de sarcină din anozii dublei triode asigură o amplificare uniformă într-o bandă relativ largă de frecvențe. Condensatorul  $C_1$  are capacitatea mare (4  $\mu$ F) din cauza frecvențelor foarte joase care trebuie amplificate. Pentru corectarea caracteristicii de frecvență în domeniul frecvențelor înalte se folosesc bobinele  $L_1$ — $L_4$ , iar în domeniul frecvențelor joase rezistențele  $R_3$ ,  $R_4$ ,  $R_8$  și condensatoarele  $C_2$ ,  $C_3$ ,  $C_5$ . Negativarea tubului  $T_2$  se obține cu ajutorul unui divizor de tensiune. Etajul prefinal  $T_3$  este realizat sub forma unui repetor catodic. Avînd capacitatea de intrare mică, acest etaj permite lărgirea caracteristicii de frecvență în domeniul frecvențelor înalte. Etajul final funcționează în contratimp. El realizează în același timp și amplificarea și inversarea fazei. În catodul tubului  $T_4$  apare un semnal de aceeași formă și polaritate ca în grila lui  $T_4$ . Orice creștere a semnalului pe grila lui  $T_4$  implică creșterea potențialului catodului lui  $T_5$  și, întrucît grila lui  $T_5$  este legată cu rezistența  $R_{13}$ , ea va fi negativată față de catod. Astfel, pe grilele tuburilor  $T_4$  și  $T_5$  tensiunile vor fi în antifază. În acest mod s-a putut renunța la folosirea unui etaj special de inversare a fazei.

Osciloscopul Duoskop EO 2/130 (R. D. Germană) funcționează cu două canale, folosind un tub catodic dublu cu plăci de deflexie complet separate. Cele două canale sînt prevăzute cu amplificatoare de deflexie pe verticală identice. Schema unui astfel de amplificator este prezentată în fig. 2.5.

Semnalul de intrare poate fi aplicat direct sau prin intermediul condensatorului  $C_1$  la intrarea circuitului de intrare (atenuatorul  $At$ ) și apoi pe grila tubului  $T_1$  cu ajutorul comutatorului  $K_1$ . Tubul  $T_1$  funcționează ca repetor catodic. Cu ajutorul comutatorului  $K_2$  sarcina repetorului poate fi rezistența  $R_6$  sau linia de întârziere  $LA$  de 0,5  $\mu$  s. De pe sarcina repetorului semnalul este aplicat amplificatorului în contratimp echipat cu  $T_2$  și  $T_3$ , care realizează și inversarea fazei. Atît tensiunea de negativare

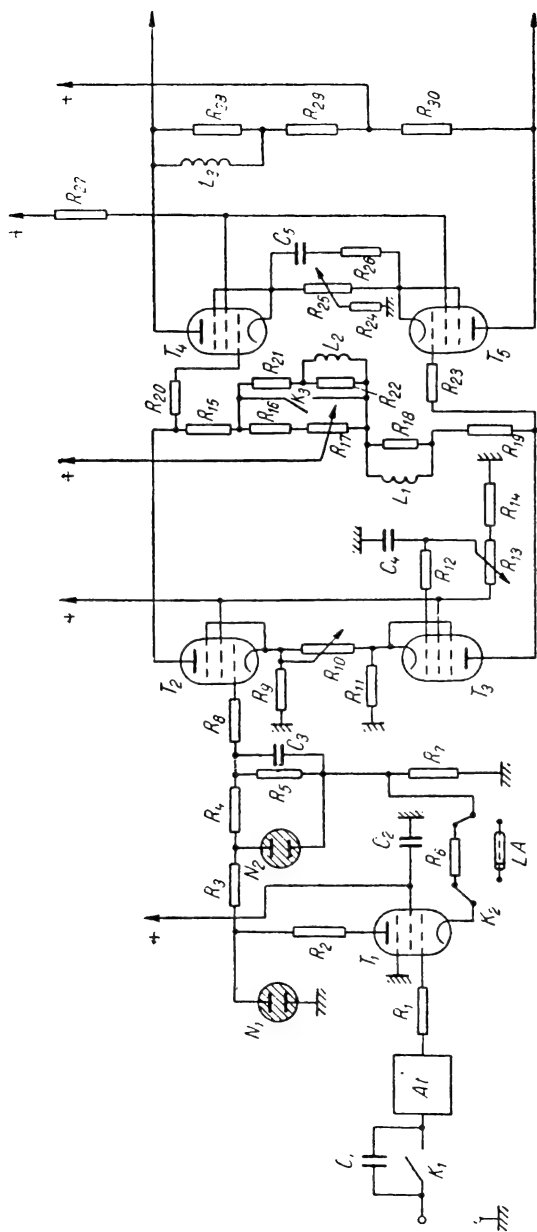


Fig. 2.5. Amplificator de deflexie pe verticală (Duoskop, R.D.G.).



a tubului  $T_2$  cît și tensiunea de polarizare a ecranului tubului  $T_1$ , sînt stabilizate cu ajutorul a două tuburi stabilizatoare  $N_1$  și  $N_2$ . Potențiometrul  $R_{10}$  dintre catodii tuburilor  $T_2$  și  $T_3$  servește la reglajul fin al amplificării. Din anozii inversorului de fază, semnalul este aplicat la grilele tuburilor  $T_4$  și  $T_5$ , care formează un amplificator de ieșire în contratimp. Negativarea tuburilor  $T_4$  și  $T_5$  se obține cu ajutorul unor divizoare de tensiune  $R_{15}$ — $R_{22}$ . Comutatorul  $K_3$  modifică raportul de divizare și, în acest fel, negativarea tuburilor, obținîndu-se două sensibilități diferite pentru amplificator. Banda de frecvențe acoperă 0—3 MHz în cazul sensibilității de 25 mV/cm și 0—10 MHz în cazul sensibilității de 125 mV/cm. Potențiometrul  $R_{13}$  reglează tensiunea de ecran a tuburilor  $T_2$  și  $T_3$ , putînd corecta poziția de zero a spotului pe ecranul tubului catodic. Potențiometrul  $R_{25}$  modifică tensiunile catodilor față de masă, servind la deplasarea spotului pe verticala ecranului. Corectarea caracteristicii de frecvență în domeniul frecvențelor înalte se face cu ajutorul bobinelor  $L_1$ — $L_3$ , condensatoarelor  $C_3$ ,  $C_5$  și rezistențelor  $R_{20}$ ,  $R_{28}$  etc.

Preamplificatorul și amplificatorul nedetașabil pentru funcționarea cu un singur canal din osciloscopul ORION TR 4401 (R.P.U.) sînt descrise în fig. 2.6 și fig. 2.7.

Semnalul de intrare poate fi aplicat pe grila tubului  $T_1$  fie direct, fie prin condensatorul  $C_1$  cu ajutorul comutatorului  $K_1$ . Circuitul de intrare ( $At$ ) are funcționarea asemănătoare cu cea descrisă la §. 2.2. Tubul  $T_1$  funcționează ca repetor catodic asigurînd o impedanță de intrare mare. Semnalul cules de pe rezistența de sarcină  $R_3$  este aplicat unui inversor de fază cu cuplaj catodic echipat cu tuburile  $T_2$  și  $T_3$ . Potențiometrul  $R_8$  realizează egalizarea tensiunilor pe catodii celor două tuburi, permițînd ajustarea factorului de amplificare. Potențiometrul  $R_{13}$  corectează tensiunea de ecran a tuburilor  $T_2$  și  $T_3$  permițînd deplasarea pe verticală a spotului. Etajul de ieșire conține repetorul catodic de comandă și repetorul de ieșire (tuburile  $T_4$  și  $T_5$ , respectiv  $T_6$  și  $T_7$ ). Repetoarele catodice  $T_4$  și  $T_5$  formează sarcini cu capacitate mică în anozii tuburilor inversoare de fază. În același timp ele se prezintă ca surse de semnal cu impedanță mică pentru repe-

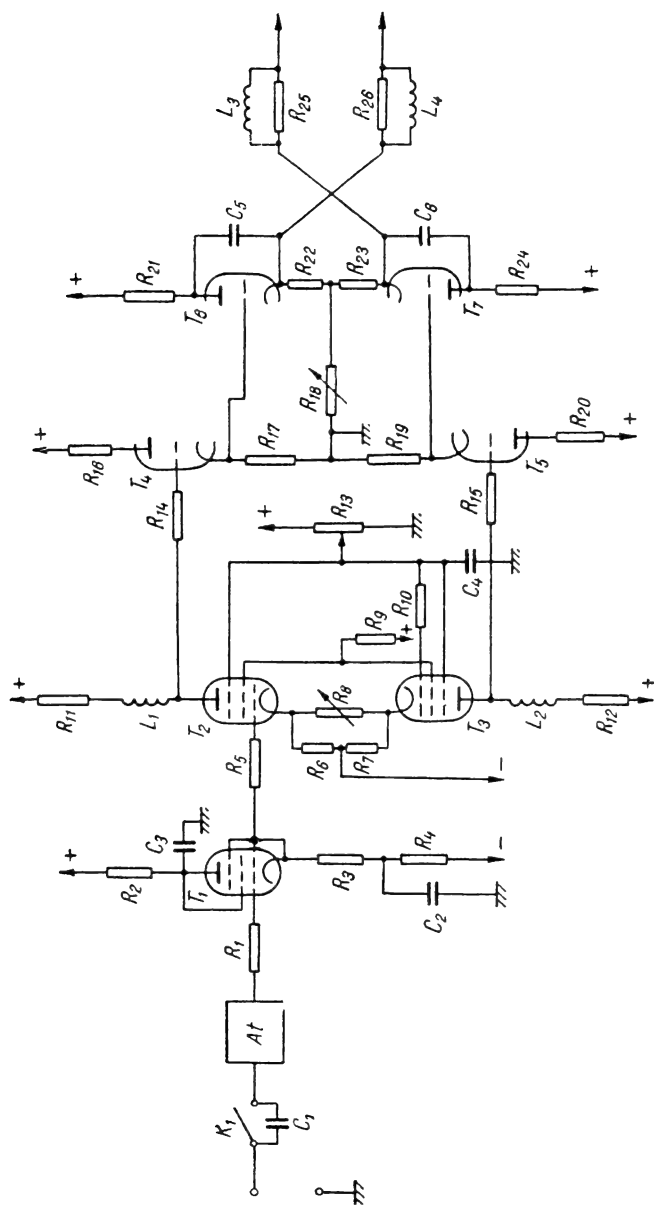


Fig. 2.6. Preamplificator (ORION TR 4401, R.P. Ungară).

toarele catodice de ieșire  $T_6$  și  $T_7$ . Bobinele  $L_1$ — $L_4$  se folosesc pentru corecția frecvențelor înalte.

Amplificatorul nedetașabil (fig. 2.7) cuprinde o parte clasică și o schemă de amplificare cu linii de întârziere cu constante distribuite. Semnalul de la preamplificator este aplicat unui amplificator de curent continuu în contratimp  $T_1$  și  $T_2$ , de la ieșirea căruia semnalul se aplică pe grilele repetoarelor catodice  $T_3$  și  $T_4$  și apoi la grilele repetoarelor catodice  $T_5$  și  $T_6$ . Potențiometrul  $R_6$  asigură ajustarea factorului de amplificare. Inductanțele  $L_1$  și  $L_2$  din anozii tuburilor  $T_1$  și  $T_2$  servesc la corecția frecvențelor înalte. Etajul de ieșire cuprinde tuburile  $T_7$ — $T_{16}$  așezate în 5 secțiuni identice în schemă de amplificare cu constante distribuite (cu undă călătoare). Unul dintre inconvenientele importante în cazul legării în paralel a mai multor amplificatoare este creșterea capacităților parazite, ceea ce conduce la micșorarea benzii de frecvențe. Aceste capacități împreună cu inductanțe corespunzător alese pot forma însă linii artificiale de întârziere. În acest mod se obține o separare a capacităților tuburilor. În plus, fiecare etaj, contribuie aditiv la valoarea amplificării globale. Mai precis, amplificarea totală este proporțională cu numărul etajelor folosite. Astfel, se pot folosi mai multe etaje cu amplificare subunitară pentru a obține o amplificare supraunitară. Presupunând că pe grila lui  $T_7$  apare un impuls negativ de tensiune, în anodul lui  $T_7$  se va produce un impuls pozitiv de tensiune, care va ajunge la anodul lui  $T_9$  cu o întârziere fixă determinată de linia de întârziere dintre cei doi anodi. În același timp, impulsul negativ din grila  $T_7$  va ajunge în grila lui  $T_9$  cu o întârziere egală cu cea de mai sus și apoi va fi amplificat. Astfel, în anodul lui  $T_9$ , se vor suprapune două impulsuri de tensiune pozitive egale. Procesul se repetă și la ieșire se obține un impuls pozitiv de 5 ori mai mare decât cel din anodul lui  $T_7$ . Ieșirea din acest amplificator se face pe o linie de întârziere artificială mai lungă. Amplificatorul  $T_7$ — $T_{16}$  întârzie semnalul cu  $0,015 \mu s$ , iar linia lungă cu  $0,185 \mu s$ , realizându-se astfel o întârziere globală de  $0,2 \mu s$ . Linia de întârziere, incluzând lanțul de amplificare, trebuie să fie terminată pe impedanța sa caracteristică.

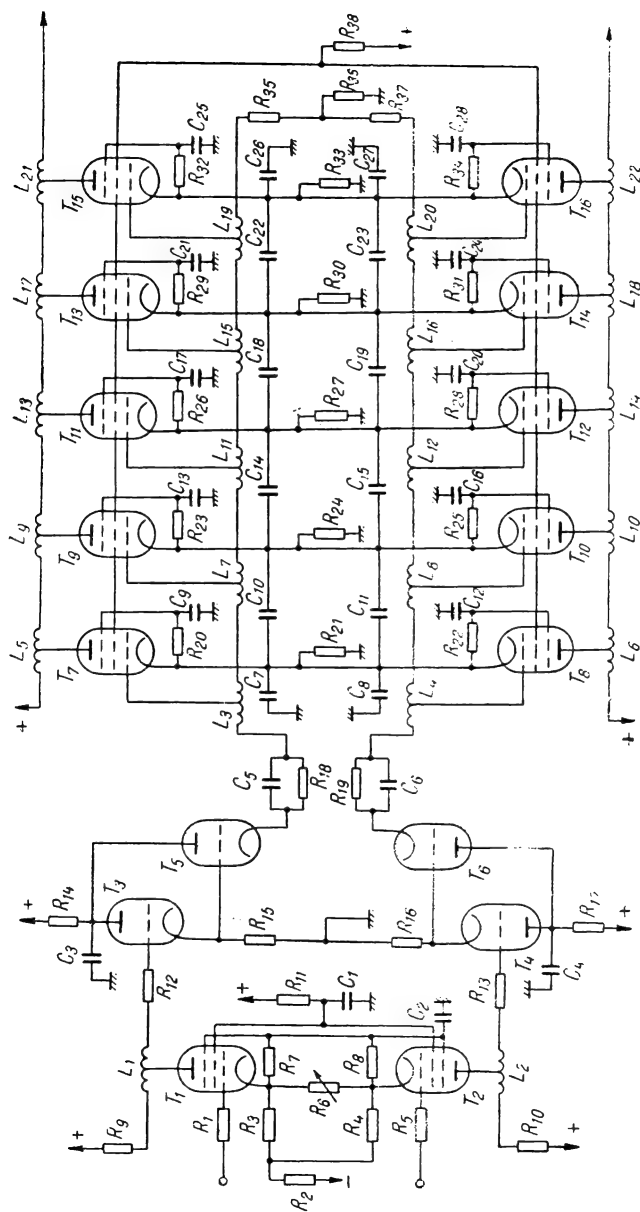


Fig. 2.7. Amplificator de deflexie pe verticală (ORION TR 4401).

În acest fel se evită reflectarea semnalului, ceea ce ar duce la distorsionarea lui.

În fig. 2.8 este prezentată schema preamplificatorului din osciloscopul SOLARTRON CD 1220 (Anglia) pentru cazul funcționării cu două canale.

Cele două canale sînt identice și din acest motiv canalul 2 nu a mai fost figurat. Semnalul de intrare se aplică la borna  $Y_1$ , putînd fi transmis la grila tubului  $T_1$  fie direct, fie prin condensatorul  $C_1$ . De pe sarcina repetorului catodic  $T_1$  semnalul este aplicat unui etaj diferențial cu cuplaj catodic, care funcționează și ca inversor de fază și care este format din tuburile  $T_2$  și  $T_3$ . Din anozii inversorului semnalul este aplicat pe grilele amplificatorului în contratimp echipat cu  $T_4$  și  $T_5$ . Remarcăm aici intervenția semnalului de comandă de la comutatorul electronic. Acest semnal aplicat în grilele tuburilor  $T_4$  și  $T_5$  produce închiderea sau deschiderea canalului 1 cu o frecvență de 100 kHz sau în alte moduri. În sfîrșit, în cazul funcționării canalului 1 semnalul investigat se aplică pe grilele repetoarelor catodice  $T_8$  și  $T_9$ , de unde ajunge la intrarea amplificatorului nedetașabil.

În fig. 2.9 este prezentată schema preamplificatorului și amplificatorului de deflexie pe verticală din osciloscopul portabil TR 4 351 (R.P. Ungară).

Semnalul de intrare ajunge la atenuatorul compensat prin intermediul comutatorului  $K$  direct sau prin condensatorul  $C_1$ . După atenuator semnalul ajunge prin circuitul  $R_1$ ,  $C_2$  la electrodul de comandă al unui tranzistor FET (cu efect de cîmp). Tranzistorul  $T_1$  funcționează ca repetor. Diodele  $D_1$  și  $D_2$  servesc la protejarea tranzistorului la suprasarcini. Tranzistorul  $T_2$  funcționează ca repetor pe emitor. Pentru deplasarea spotului pe verticală se folosește potențiometrul  $R_5$  care modifică polarizarea bazei lui  $T_2$ . De pe sarcina repetorului  $T_2$  semnalul este aplicat la intrarea amplificatorului cu circuite integrate DER-1. De la ieșirea acestuia semnalul se aplică în bazele unui etaj în contratimp format din tranzistoarele  $T_3$  și  $T_4$ . După amplificare semnalul util se aplică pe plăcile de deflexie pe verticală.

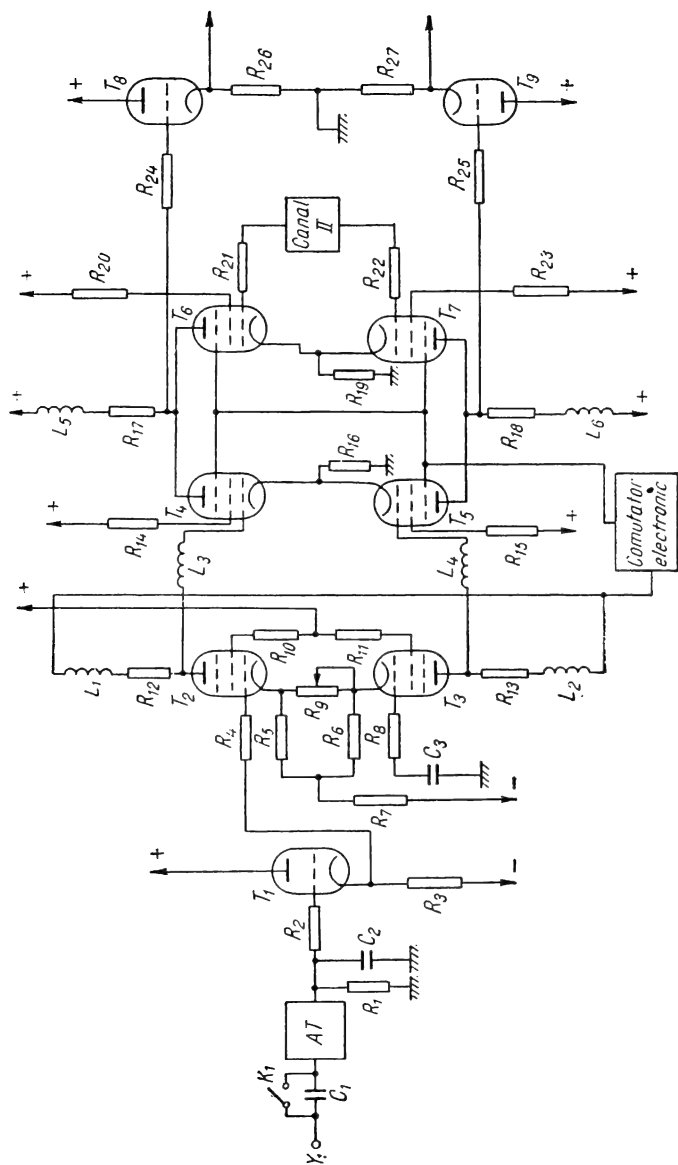


Fig. 2.8. Amplificator de deflexie pe verticală (SOLARTRON CD 1220, Anglia).

În fig. 2.10 este prezentată schema amplificatorului de deflexie pe verticală din osciloscopul OCT 587 A (CRC, Franța).

Semnalul de la preamplificator traversează linia de întârziere LA de 180 ns și apoi este aplicat la intrarea

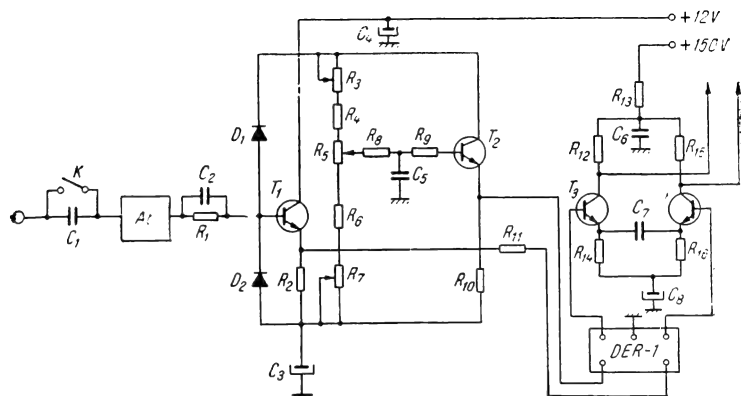


Fig. 2.9. Amplificator de deflexie pe verticală (TR 4351, R.P.U.).

amplificatorului în contratimp echipat cu tranzistoarele  $T_1$ — $T_4$ . Observăm că ramurile  $T_1$ ,  $T_3$  și  $T_2$ ,  $T_4$  sînt legate în scheme cascod. Circuitele  $R_3$ ,  $C_1$  și  $R_4$ ,  $C_2$  formează celule de corecție pentru adaptarea liniei de întârziere la amplificator. Potențiometrul  $R_{12}$  permite reglajul amplificării. Circuitul  $C_6$ ,  $C_7$ ,  $R_{10}$  asigură corecția caracteristicii amplificatorului în domeniul frecvențelor înalte. Inductanța  $L_1$  compensează capacitățile tranzistoarelor  $T_1$  și  $T_2$ . Circuitul  $R_9$ ,  $C_5$  compensează efectele de suprafață ale liniei de întârziere. Corecția caracteristicii de frecvență a amplificatorului în domeniul frecvențelor joase este asigurată de circuitul  $R_{14}$ ,  $C_8$ . Transformatorul  $Tr$  realizează simetria amplificatorului pentru frecvențele înalte. Etajul final este realizat cu tranzistoarele  $T_5$  și  $T_6$  legate în contratimp. Din punct de vedere constructiv aceste tranzistoare sînt montate pe radiatoare din oxid de beriliu, care este bun conducător de căldură și izolant electric.

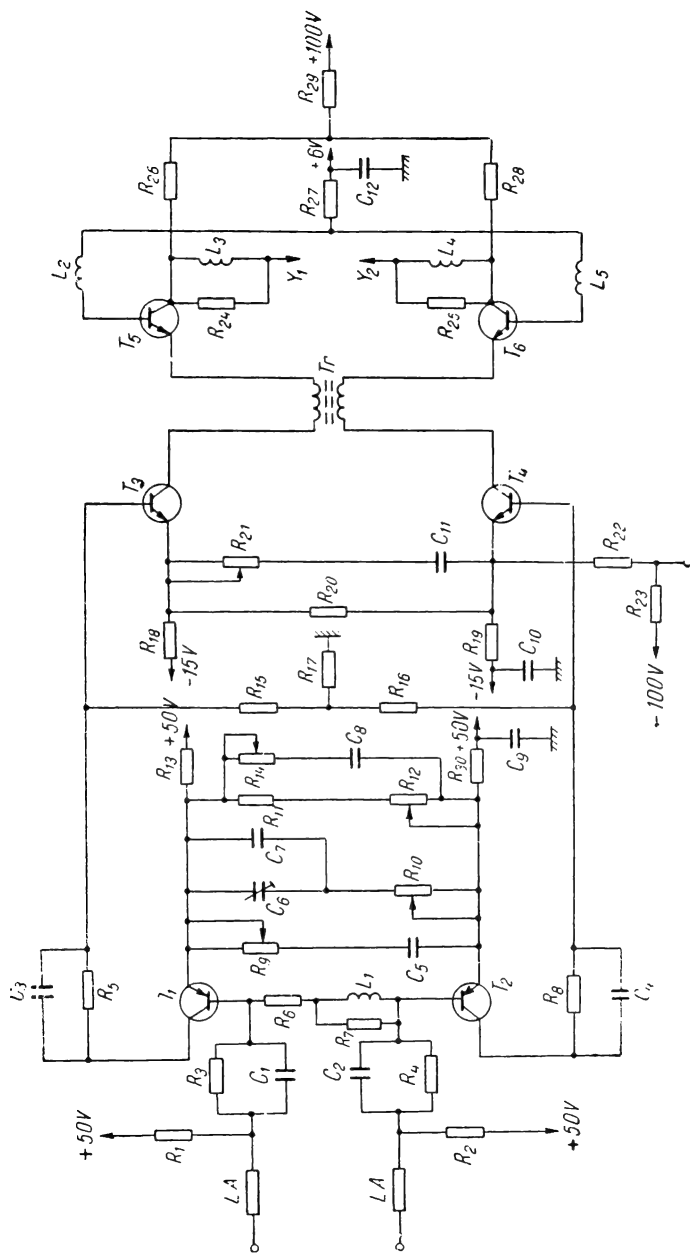


Fig. 2.10. Amplificator de deflexie pe verticală (OCT 587 A, CRC Franța).



În fig. 2.11 este prezentată schema amplificatorului de deflexie pe verticală din osciloscopul PM 3370 (Philips, Olanda).

Schema cuprinde un amplificator în contratimp format din tranzistoarele  $T_1$ ,  $T_2$ ,  $T_7$ ,  $T_8$ ,  $T_9$  și  $T_{10}$ . Se observă că

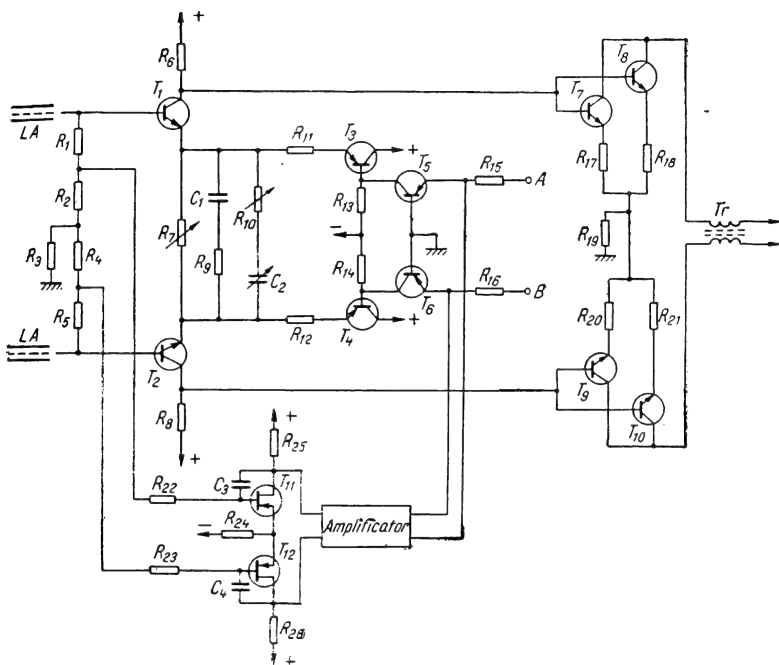


Fig. 2.11. Amplificator de deflexie pe verticală (PM 3370 Philips, Olanda).

fiecare ramură a montajului în contratimp este formată din cite o schemă cascod (ex.  $T_1$  și grupul  $T_7$ ,  $T_8$ ). Tranzistoarele  $T_7$  și  $T_8$  sînt montate în paralel avînd reacții negative serie individuale. Potentiometrul  $R_7$  permite reglajul amplificării. Circuitul  $C_1$ ,  $R_9$  compensează efectele de suprafață ale liniei LA în cazul frecvențelor înalte. Circuitul  $C_2$ ,  $R_{10}$  corectează caracteristica amplificatorului

la frecvențele înalte. La bornele  $A$ ,  $B$  se aplică o tensiune sub formă de impulsuri dreptunghiulare produsă de un circuit special de comutare. Aceste impulsuri comandă circuitul format din tranzistoarele  $T_3$ — $T_6$  și pot produce separarea celor două căi ale amplificatorului în contra-timp. Separarea căilor este necesară dacă se dorește extensia sau intensificarea unei porțiuni din imaginea semnalului investigat obținută pe ecranul tubului catodic. În cazul semnalelor de joasă frecvență și amplitudine mare pot apărea variații ale temperaturii tranzistoarelor și implicit variații ale tensiunii emitor-bază. Pentru compensarea acestui efect, o parte din semnalul de intrare este luată de pe divizorul  $R_1$ — $R_5$  și aplicată unor integroare Miller echipate cu tranzistoarele cu efect de câmp  $T_{11}$  și  $T_{12}$ . Semnalul integrat este amplificat și aplicat la emitoarele tranzistoarelor  $T_5$ ,  $T_6$ .

Tensiunea în dinți de ferăstrău produsă de generatorul de baleiaj este în general prea mică pentru a putea asigura deflexia pe orizontală. Din acest motiv osciloscopul este prevăzut și cu un amplificator de deflexie pe orizontală. Acest amplificator poate fi folosit și independent pentru amplificarea unor semnale de formă oarecare. În acest din urmă caz intrarea în amplificatorul de deflexie pe orizontală este accesibilă la o bornă exterioară situată pe panoul frontal al osciloscopului. Amplificatorul de deflexie pe orizontală are o schemă mai simplă și mai puțin pretențioasă decât cea a amplificatorului de deflexie pe verticală. El se construiește în variantă nedetașabilă și uneori este prevăzut cu un etaj preamplificator de asemenea nedetașabil. În fig. 2.12 este prezentată schema amplificatorului de deflexie pe orizontală din osciloscopul ORION TR 4401 (R. P. Ungară).

Tensiunea pozitivă în dinți de ferăstrău produsă de generatorul de baleiaj se aplică pe grila repetoarelor catodice  $T_1$  printr-un divizor compensat cu frecvența. Circuitul  $C_1$ ,  $R_1$  are o constantă de timp mică și îmbunătățește liniaritatea la extremitățile tensiunii în dinți de ferăstrău. Urmează apoi un repetor de comandă echipat cu tubul  $T_2$ . Între cele două tuburi poate fi introdusă, cu ajutorul unui comutator, o rețea de reacție negativă care reduce amplificarea de 5 ori. Repetorul  $T_2$  comandă un

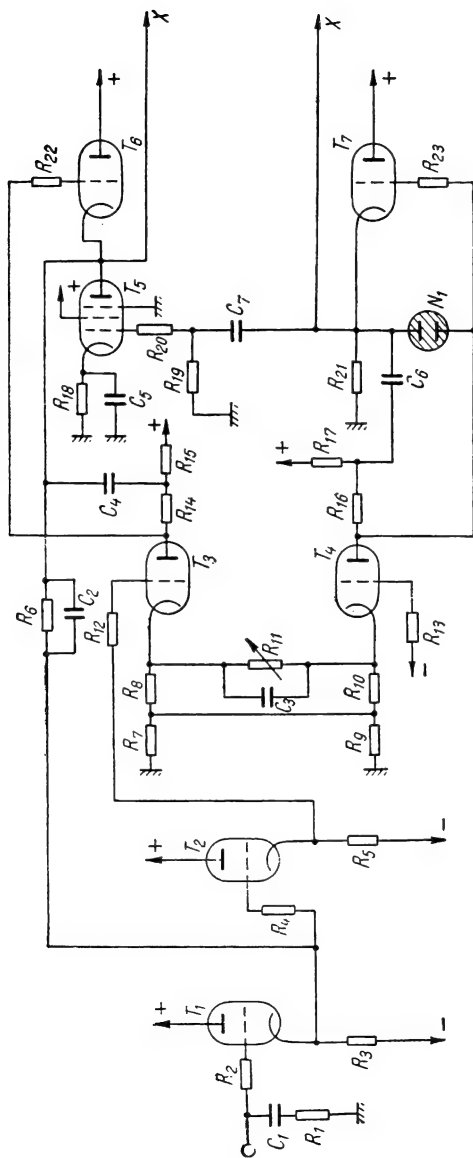


Fig. 2.12. Amplificator de deflexie pe orizontală (ORION TR 4401).

etaj amplificator în contratimp format din  $T_3$  și  $T_4$ . Potențiometrul  $R_{11}$  permite ajustarea amplificării. Sarcina amplificatorului în contratimp este formată din repetoarele catodice de ieșire  $T_6$  și  $T_7$ . Avînd o impedanță de intrare mare, repetoarele  $T_6$  și  $T_7$  permit menținerea constantă a factorului de amplificare pe întreg domeniul de frecvențe. Condensatoarele  $C_4$  și  $C_6$  îmbunătățesc transmiterea semnalului la frecvențe înalte ale bazei de timp. În cazul funcționării cu baze de timp foarte rapide curentul prin  $T_6$  și  $T_7$  este prea mic pentru a descărca plăcile de deflexie pe orizontală și capacitățile formate de cablaj asociat. Pentoda  $T_5$  furnizează curentul necesar acestui scop permițînd transmiterea cu mare fidelitate a perioadei negative a tensiunii în dinți de ferăstrău. O creștere similară de curent în circuitul catodic al repetorului  $T_6$  nu este necesară, deoarece tubul conduce în timpul perioadei pozitive a tensiunii în dinți de ferăstrău. Curentul adițional, necesar pentru baze de timp foarte rapide, este obținut prin aplicarea unui impuls pozitiv dreptunghiular pe grila lui  $T_5$ . Acest impuls este obținut prin diferențierea tensiunii în dinți de ferăstrău cu ajutorul circuitului  $C_7$ ,  $R_{10}$ . Amplitudinea lui este proporțională cu viteza de baleiaj. Amplificatorul de deflexie pe orizontală poate fi folosit și pentru amplificarea altor semnale. În acest caz semnalul se aplică la o bornă exterioră pe panou (HOR. INPUT) trece printr-un preamplificator simplu și apoi intră în amplificatorul descris mai sus.

În fig. 2.13 se prezintă schema amplificatorului de deflexie pe orizontală din osciloscopul SOLARTRON CD 1220 (Anglia).

Tubul  $T_1$  funcționează ca repetor catodic. De pe sarcina  $R_1$  a acestuia semnalul se aplică la grila tubului  $T_2$  prin intermediul potențiometrului  $R_2$  și al rezistenței  $R_4$ . Scurtcircuitînd cu ajutorul comutatorului  $K$  grupul  $R_2$ ,  $R_4$  se obține o creștere a amplificării de 5 ori. Potențiometrul  $R_7$  modifică polarizarea grilei tubului  $T_2$  și servește la centrarea spotului. De la ieșirea acestui al doilea repetor catodic, semnalul este aplicat pe grila tubului  $T_5$  care, împreună cu  $T_7$ , formează un amplificator în contratimp. În

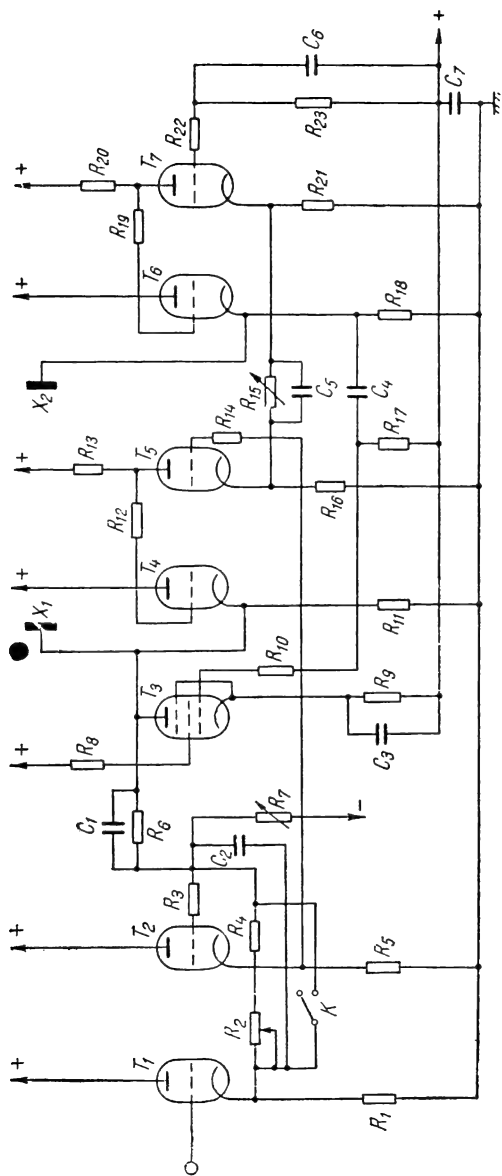


Fig. 2.13. Amplificator de deflexie pe orizontală (SOLARTRON CD 1220, Anglia).

sarcinile tuburilor  $T_5$  și  $T_7$  se află repetoarele catodice  $T_4$  și  $T_6$ . Potențiometrul  $R_{16}$  controlează amplificarea etajului. Pentoda  $T_3$  îmbunătățește funcționarea schemei în cazul bazei de timp foarte rapide. De la ieșirea repetoarelor  $T_4$  și  $T_6$  semnalul este aplicat pe plăcile de deflexie pe orizontală ale tubului catodic.

În fig. 2.14 este prezentată schema amplificatorului de deflexie pe orizontală din osciloscopul OCT 587 A (CRC Franța).

Semnalul de intrare se aplică în bazele tranzistoarelor  $T_1$  și  $T_2$  montate într-o schemă de contratimp. Potențiometrul  $R_{13}$  servește pentru reglajul amplificării. Diodele  $D_1$ — $D_4$  limitează tensiunile de colector care au amplitudine prea mare. De la ieșirea etajului  $T_1$ ,  $T_2$  semnalul se aplică repetoarelor  $T_4$ ,  $T_7$  și apoi la bazele tranzistoarelor  $T_5$ ,  $T_6$ . Se observă că tranzistorul  $T_3$  asigură alimentarea cu curent constant a tranzistoarelor  $T_5$  și  $T_6$ . După ce traversează transformatorul de simetrizare  $Tr$ , semnalul se aplică la emitoarele tranzistoarelor  $T_8$  și  $T_9$  al căror potențial mediu de colector este menținut constant în jurul a 30 V cu ajutorul diodelor Zener  $D_6$  și  $D_7$ .

## 2.4. GENERATORUL DE BALEIAJ

Observarea pe ecran a semnalelor în adevărata lor desfășurare în timp cere aplicarea simultană a două forțe pentru deflexia fasciculului. Deflexia pe direcție verticală corespunde semnalului investigat, iar deflexia pe direcția orizontală trebuie să fie liniară în raport cu timpul.

Deplasarea liniară a spotului se obține prin aplicarea pe plăcile de deflexie orizontală a unei tensiuni uniform crescătoare. După ce această tensiune atinge valoarea maximă, ea descrește liniar și rapid pînă la valoarea inițială. Corespunzător, spotul descrie cursa directă și apoi cursa de întoarcere. Pe ecran apare în acest caz o linie care, în mod obișnuit, se numește bază de timp. Tensiunea liniară sau în dinți de ferăstrău este produsă de generatorul de baleiaj.

Vom analiza la început funcționarea pe scheme simplificate a două dintre cele mai folosite montaje de genera-



tor de tensiune în dinți de ferăstrău. În fig. 2.15 este prezentată schema integratorului Miller.

Pe grila supresoare se aplică o negativare puternică. În această situație tubul este blocat, iar curentul catodic circulă prin grila ecran. Prin grila de comandă, ușor po-

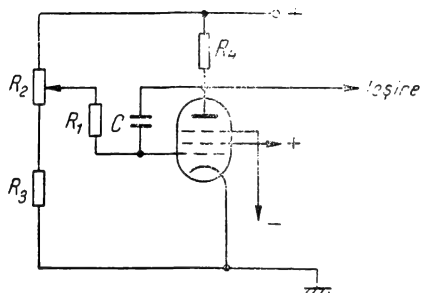


Fig. 2.15. Integrator Miller.

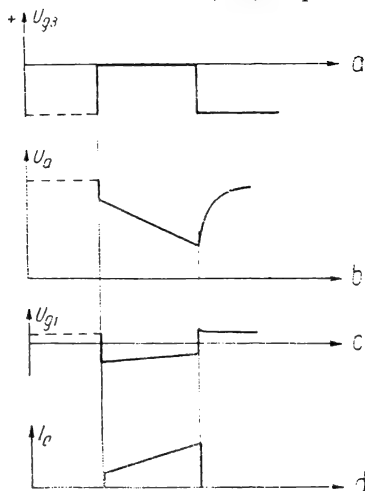


Fig. 2.16. Forme de undă la funcționarea integratorului Miller.

zitivată, circulă un curent și astfel condensatorul  $C$  se încarcă la o tensiune egală cu diferența între potențialul anodului și potențialul grilei de comandă. Pe grila supresoare se aplică un impuls pozitiv (fig. 2.16, a).

În momentul în care tensiunea pe supresor se anulează, curentul anodic începe să circule prin tub, iar tensiunea anodică suferă o ușoară scădere (treapta Miller, fig. 2.16, b). Variația tensiunii anodice este transmisă prin condensatorul  $C$  grilei de comandă (fig. 2.16, c). Condensatorul  $C$  începe să se descarce prin rezistența  $R_1$  și prin tub. Curentul de descărcare este aproximativ constant și tensiunea anodică descrește liniar în timp. Cursa directă continuă pînă în momentul încetării impulsului pozitiv de comandă. Dacă supresorul este readus în starea de ne-



gativare puternică, tensiunea anodică începe să revină la valoarea inițială după o lege exponențială (fig. 2.16, b).

Pentru comanda integratorului Miller poate fi folosit chiar tubul respectiv într-un montaj tranzitron (fig. 2.17).

Cu montajul integrator Miller se pot obține tensiuni în dinți de ferăstrău cu amplitudinea pînă la 80% din tensiunea sursei de alimentare. Dezavantajul principal al schemei este durata prea mare a cursei de întoarcere.

În fig. 2.18 este prezentată schema circuitului cu catod urmăritor (bootstrap).

Tuburile  $T_1$ ,  $T_2$  și dioda  $D_1$  conduc și tensiunea pe condensatorul  $C_1$  este determinată de curentul care trece prin ele. Tensiunea pe condensatorul  $C_1$  comandă curentul prin repetorul catodic  $T_2$ . Funcționarea lui  $T_2$  ca repetor este asigurată prin aplicarea unei tensiuni negative la capătul de jos al rezistenței  $R_3$ . Condensatorul  $C_2$  se alege de valoare mare. Impulsul de comandă se aplică pe prima grilă a tubului  $T_1$  și determină blocarea acestuia. Tensiunea pe anodul lui  $T_1$  începe să crească și  $C_1$  se încarcă. Creșterea tensiunii anodului lui  $T_1$  produce creșterea tensiunii catodului, lui  $T_2$ , care se transmite prin intermediul lui  $C_2$  producînd creșterea după aceeași lege a tensiunii

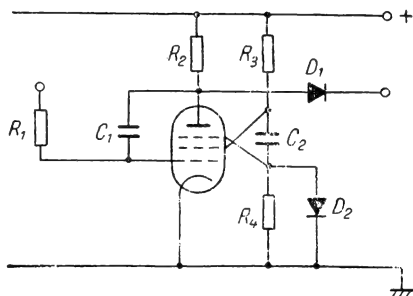


Fig. 2.17. Montaj tranzitron.

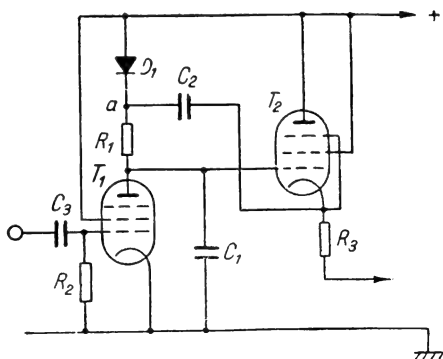


Fig. 2.18. Circuit cu catod urmăritor (bootstrap).

nii în punctul  $\alpha$ . La capetele rezistenței  $R_1$  tensiunile variază în același mod, menținându-se un curent constant de încărcare a lui  $C_1$ , și, în acest fel, se obține o foarte bună liniaritate a tensiunii în dinți de ferăstrău. Creșterea tensiunii catodului  $T_2$  transmisă prin  $C_2$  diodei  $D_1$  produce blocarea ei. Ciclul se încheie la încetarea impulsului de blocare, când  $C$  începe să se descarce prin tubul  $T_1$ .

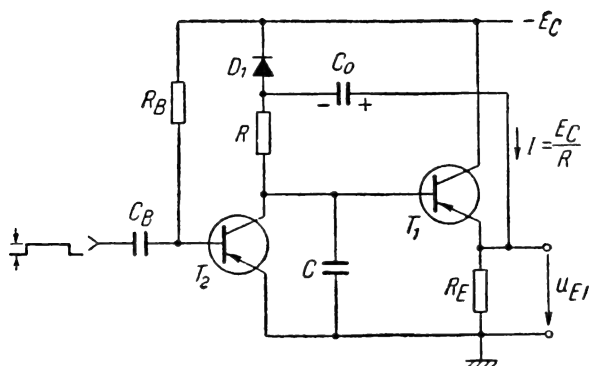


Fig. 2.19.  
Schemă  
tranzistori-  
zată de  
circuit  
cu catod  
urmăritor.

Circuitul cu catod urmăritor asigură o pornire mai rapidă a bazei de timp și nu are acea scădere de tensiune denumită treapta Miller. Impedanța de ieșire este foarte mică. În fig. 2.19 este prezentată o variantă tranzistorizată a unui circuit de acest fel.

Schema simplă a unui generator de baleiaj cu tiratron (osciloscopul C1-1, U.R.S.S.) este prezentată în fig. 2.20.

Domeniul frecvențelor este cuprins între 2 Hz și 50 kHz. După aplicarea tensiunii de alimentare, condensatorul  $C_3$  începe să se încarce pînă cînd tensiunea lui atinge valoarea la care se produce aprinderea tiratronului  $T_1$ . Urmează descărcarea condensatorului  $C_3$  prin tubul  $T_1$  pînă la valoarea tensiunii de stingere. Procesul se repetă apoi. Tensiunea în dinți de ferăstrău obținută are o frecvență care depinde de valorile elementelor  $R_3$ — $R_6$  și  $C_3$ . Potențiometrul  $R_6$  servește la reglajul fin al frecvenței. Prin  $C_1$  se poate aplica pe grila tiratronului o tensiune de sincronizare a cărei amplitudine poate fi reglată cu ajutorul potențiometrului  $R_1$ . Tensiunea minimă de

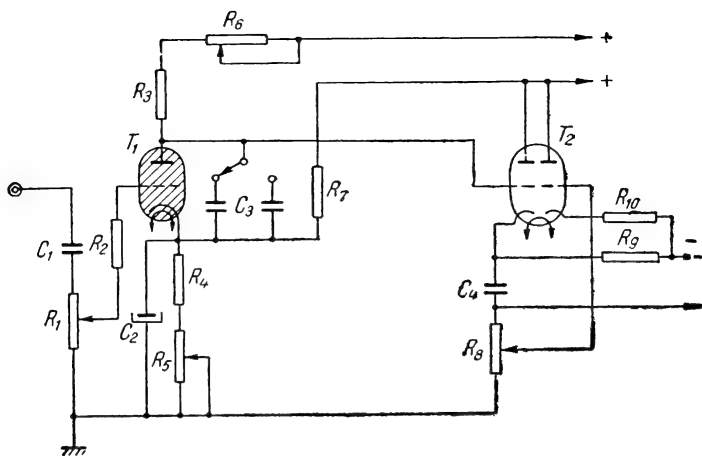


Fig. 2.20. Generator de baleiaj (C1-1, U.R.S.S.).

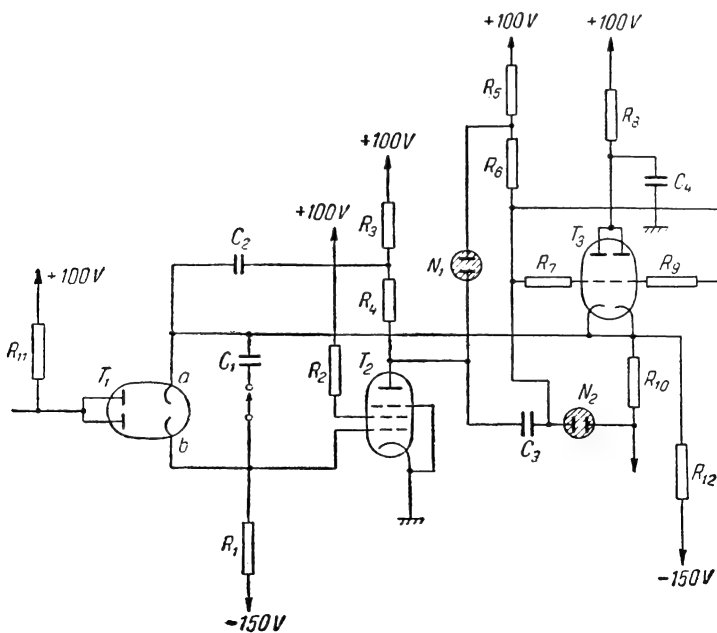


Fig. 2.21. Generator de baleiaj (Tektronix 585, S.U.A.).

sincronizare este de 0,05—0,1 V. Amplitudinea tensiunii în dinți de ferăstrău poate fi reglată cu ajutorul potențiometrului  $R_8$  plasat la catodul tubului  $T_2$ .

În fig. 2.21 este prezentat generatorul de baleiaj din osciloscopul Tektronix 585 (S.U.A.).

Tubul  $T_2$  funcționează ca integrator Miller cu condensatorul  $C_1$ . Inițial anozii diodelor se află la o tensiune de  $-3$  V. Prin dioda  $T_{1b}$  circulă un curent mic, astfel că pe grila de comandă a tubului  $T_2$  se stabilește o tensiune de  $-3,3$  V. Catodul diodei  $T_{1a}$  este ținut la o tensiune de  $-5$  V, ceea ce provoacă trecerea prin diodă a unui curent mare. Condensatorul  $C_1$  dintre catodii diodelor se va încărca la o tensiune de 1,7 V, menținându-se astfel un nivel constant al tensiunii inițiale și micșorându-se instabilitatea inițială. Tubul  $T_3$  funcționează ca repetor catodic. Între grila lui  $T_3$  și anodul lui  $T_2$  este plasat un tub cu neon  $N_1$ . Variațiile tensiunii anodice ale tubului  $T_2$  vor fi urmărite de grila lui  $T_3$  și, în plus, între ele va fi menținută o diferență de potențial constantă și egală cu 55 V. Aplicarea unui impuls negativ de comandă (de la multivibratorul de formare) blochează diodele și generatorul de baleiaj începe să funcționeze. Negativarea grilei de comandă și tensiunea anodică a lui  $T_2$  cresc. Prin repetor și prin condensatorul  $C_1$  această variație este transmisă grilei de comandă a lui  $T_2$  micșorând negativarea. Curentul prin  $R_1$  se menține constant permițând o încărcare constantă și astfel o creștere liniară a tensiunii lui  $C_1$ . Tensiunea în dinți de ferăstrău de la ieșirea repetorului este folosită ca tensiune de baleiaj, dar poate fi adusă printr-un alt repetor catodic și la panoul frontal al osciloscopului pentru utilizări externe.

În fig. 2.22 este prezentată schema generatorului de baleiaj din osciloscopul SOLARTRON CD 1220 (Anglia). El generează o tensiune liniară prin încărcarea condensatorului  $C_3$  cu un curent constant, utilizând pentru aceasta un circuit cu catod urmăritor. Catodul tubului  $T_2$  este cuplat cu grila tubului  $T_1$  prin tubul cu neon  $N_1$  care realizează acțiunea de urmărire. Catodul lui  $T_1$  urmărește variațiile tensiunii grilei lui  $T_2$  menținându-se astfel un curent constant de încărcare. Tensiunea în dinți de fe-

răstrău apare pe sarcina  $R_7$  a repetorului și poate fi folosită exterior prin intermediul condensatorului  $C_2$ .

Cu ajutorul unui comutator se poate alege una dintre cele 24 de trepte de timp din intervalul 100 ns/ și 1 s/cm. Potențiometrul  $R_6$  permite acoperirea continuă a fiecărei trepte.

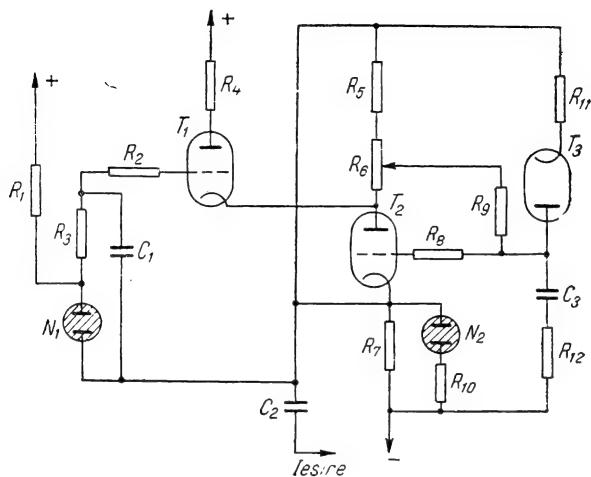


Fig. 2.22. Generator de baleiaj (SOLARTRON CD 1220, Anglia).

În fig. 2.23 este prezentată schema generatorului de baleiaj rapid din osciloscopul cu eșantionare OSA 601 (X 12) (R. P. Polonă).

Circuitul cu catod urmăritor folosit asigură o bună liniaritate și stabilitate, iar repetorul catodic o impedanță de ieșire mică. Un generator autoblocat, produce impulsul negativ de comandă care aplicat pe prima grilă a tubului  $T_1$ , determină blocarea acestuia. Creșterea tensiunii anodice implică încărcarea condensatorului  $C_4$  și creșterea tensiunii catodului lui  $T_2$ , care se transmite prin  $C_3$  punctului  $a$ . Se realizează astfel un curent constant prin  $R_4$  și prin condensatorul de încărcare  $C_4$ . Ciclul se încheie odată cu încetarea impulsului de comandă când condensatorul  $C_4$  se descarcă prin tubul  $T_1$ . Condensatorul  $C_4$  se

compune dintr-un condensator fix de 16 pF și unul semi-variabil de 8—30 pF, permițind variația pantei tensiunii în dinți de ferăstrău. Circuitul generează tensiuni cu amplitudinea de 80 V și cu o pantă de 25 V/100 ns.

În fig. 2.24 este prezentată schema generatorului de baleiaj din osciloscopul PM 3370 (Philips, Olanda).

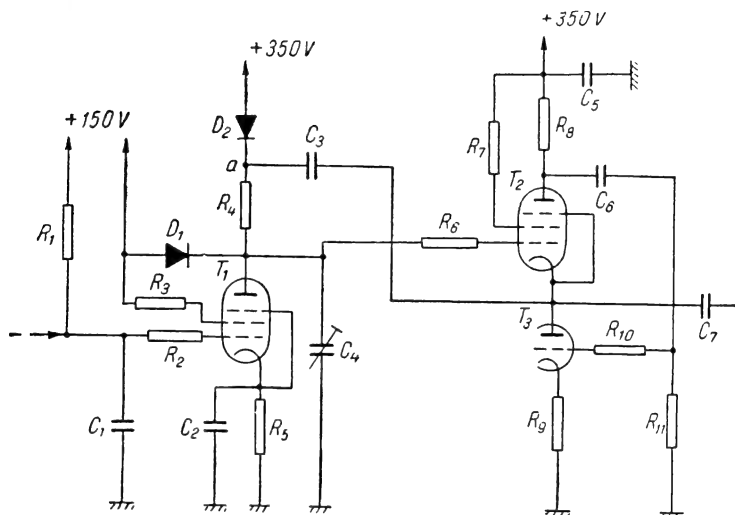


Fig. 2.23. Generator de baleiaj (OSA 601-X12, R. P. Polonă).

Tensiunea în dinți de ferăstrău se obține prin încărcarea condensatorului  $C_1$  cu un curent constant și apoi prin descărcarea rapidă a acestuia. Tranzistorul  $T_2$ , care are în emitor o rezistență  $R_1$  de valoare mare, asigură menținerea curentului constant de încărcare. Tensiunea la bornele lui  $R_1$  este determinată de tensiunea sursei de alimentare și de tensiunile emitor-bază ale tranzistoarelor  $T_2$  și  $T_3$ . Tensiunea pe condensatorul  $C_1$  va crește liniar în timp. Viteza de creștere a acestei tensiuni depinde de valoarea lui  $C_1$ , care poate fi schimbată în trepte cu ajutorul unui comutator timp/cm de pe panoul frontal (nu apare în schemă). Tranzistorul  $T_3$  lucrează ca repetor pe emitor. Impulsurile dreptunghiulare produse de circui-

tul de formare se aplică la baza tranzistorului  $T_1$ , determinînd blocarea sau conducția acestuia. În timpul în care  $T_1$  este blocat se produce încărcarea condensatorului  $C_1$  și astfel se obține rampa crescătoare a tensiunii în dinți de ferăstrău. Cînd  $T_1$  conduce, condensatorul  $C_1$  se descarcă rapid și se obține rampa descrescătoare. Tensiuni-

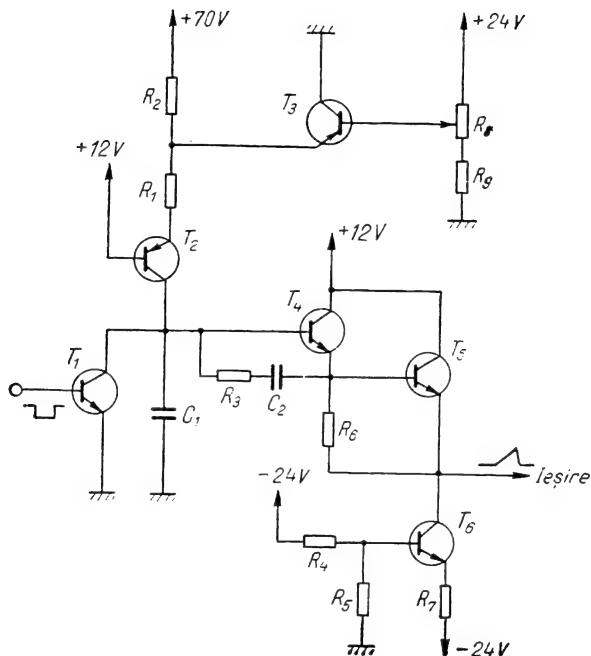


Fig. 2.24. Generator de baleiaj (PM3370 Philips, Olanda).

nea în dinți de ferăstrău rezultată se aplică unui repetor pe emitor dublu (pereche Darlington) format de tranzistoarele  $T_4$  și  $T_5$ . Pentru obținerea unei bune liniarități curentul bazei lui  $T_4$  trebuie menținut constant. Acest lucru se asigură cu ajutorul tranzistorului  $T_6$  care formează o sursă de curent. Circuitul  $C_2$ ,  $R_3$  compensează neliniaritățile care apar în cazul vitezelor de baleiaj mari.

În fig. 2.25 este prezentată schema generatorului de baleiaj din osciloscopul TR 4351 (Orion, R. P. Ungară).

În momentul inițial tensiunea la bornele condensatorului  $C_1$  este zero. Circuitul integrat  $M_1$  (tip FG-1) conține

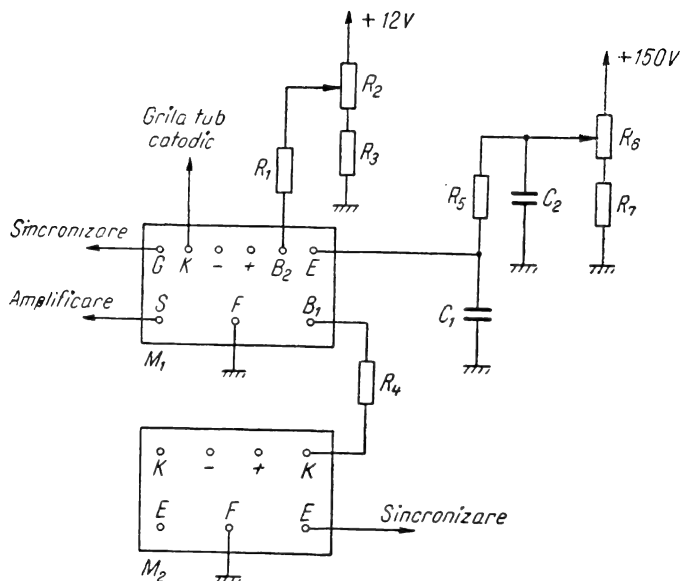


Fig. 2.25. Generator de baleiaj (TR 4351, R. P. Ungară).

un tranzistor unijonțiune (un dispozitiv semiconductor construit dintr-o bară de siliciu de tip  $n$  avînd două contacte ohmice la capete și o jonțiune  $pn$  la mijloc; dependența curentului emitorului de tensiunea între emitor și o bază prezintă o porțiune de rezistență negativă). Emitorul acestuia (accesibil la borna  $E$ ) este polarizat în sensul de blocare a jonțiunii. Condensatorul  $C_1$  începe să se încarce prin intermediul rezistenței  $R_5$ . În momentul în care tensiunea la bornele condensatorului  $C_1$ , deci tensiunea de emitor a tranzistorului unijonțiune, atinge valoarea caracteristică  $nU_{B_1B_2}$  (de obicei jumătate din valoarea tensiunii între cele două baze  $B_1$  și  $B_2$  ale tranzistorului uni-



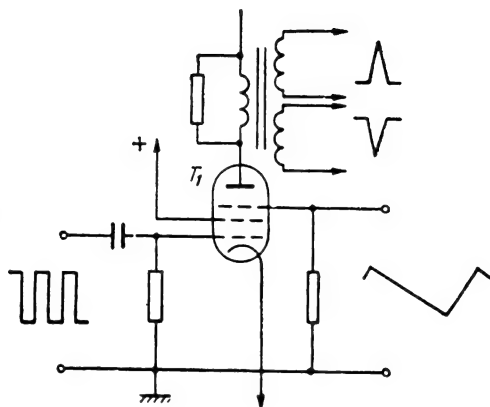
joncțiune) curentul prin circuitul de emitor începe să circule. Astfel, condensatorul  $C_1$  se descarcă pînă în momentul anulării curentului de emitor. Procesul se repetă și astfel se obține la borna  $S$  a circuitului integrat  $M_1$  tensiunea în dinți de ferăstrău necesară bazei de timp. Panta tensiunii în dinți de ferăstrău depinde de valorile elementelor  $C_1$  și  $R_5$  și de amplitudinea tensiunii sursei de alimentare. Potențiometrul  $R_6$  servește la modificarea valorii acestei tensiuni. Amplitudinea tensiunii în dinți de ferăstrău se poate regla cu ajutorul potențiometru-lui  $R_1$  care modifică tensiunea  $U_{B_1 B_2}$ . Sincronizarea generatorului de baleiaj se face prin intermediul circuitului integrat  $M_2$  (tip FEK-1) care conține un repetor catodic construit cu un tranzistor cu efect de câmp (FET). Impulsurile de sincronizare se aplică la borna  $B_1$  a circuitului integrat  $M_1$ . Pentru modularea intensității spotului, impulsurile de polaritate negativă obținute la borna  $K$  a circuitului  $M_1$  se aplică pe grila tubului catodic.

Imaginea pe ecranul tubului catodic trebuie să fie nemîșcată. Pentru aceasta, declanșarea bazei de timp trebuie să se producă întotdeauna în același punct al semnalului investigat. Este necesară menținerea unui raport constant între frecvența tensiunii bazei de timp și frecvența semnalului investigat. Un generator de baleiaj care să poată asigura o stabilitate mare a frecvenței este destul de greu de realizat. Se preferă metoda sincronizării bazei de timp, adică folosirea unui semnal special pentru declanșarea generatorului de baleiaj. Sincronizarea bazei de timp se poate face cu ajutorul semnalului investigat, cu tensiunea rețelei sau cu o tensiune exterioară. Semnalul investigat poate fi luat pentru sincronizare chiar de la ieșirea amplificatorului de deflexie pe verticală. În acest mod nu mai este necesar un amplificator special al sincronizării, iar semnalul de sincronizare poate fi ales cu polaritatea dorită de la unul sau celălalt tub din etajele în contratimp. Pentru obținerea unei bune sincronizări se folosesc scheme de coincidență ca în fig. 2.26.

Tensiunea bazei de timp se aplică pe grila supresoare a tubului  $T_1$ , menținîndu-l blocat pe toată durata cursei directe. Tensiunea de sincronizare se aplică pe grila de

comandă. Tubul se deschide cînd pe grila de comandă se aplică impulsuri pozitive. În secundarele transformatorului de impulsuri din anodul tubului apar două impulsuri diferențiate și cu polarități opuse care pot fi folosite pentru sincronizare. Tensiunile exterioare utilizate pentru sincronizarea bazei de timp pot avea frecvențe cuprinse

Fig. 2.26. Schemă de coincidență.



între frecvența zero (c.c.) și cîțiva megaherți. În fig. 2.27 este prezentată schema de declanșare a bazei de timp din osciloscopul ORION TR 4401 (R. P. Ungară).

Comutatorul  $K$  are 5 poziții și servește la schimbarea modurilor de declanșare a bazei de timp. Tensiunea de comandă se aplică la borna  $I$  de unde ajunge la amplificatorul diferențial format din tuburile  $T_1$  și  $T_2$ . De aici tensiunea de comandă este aplicată unui circuit de formare, triggerul Schmitt  $T_3$  și  $T_4$ . În poziția  $DC$  a comutatorului impulsul de la intrare este aplicat direct pe grila tubului  $T_1$  și apoi tot prin cuplaj de curent continuu, circuitului de formare. În poziția  $AC$  condensatorul  $C_1$  elimină componenta continuă a impulsului de comandă. Se menține însă cuplajul de curent continuu între amplificatorul diferențial și triggerul Schmitt. În poziția  $AC\ LF\ REJECT$  impulsul de comandă trece prin filtrul trece-sus format din  $C_2$ ,  $R_2$ . Filtrul reține frecvențele joase. În poziția  $AUTO$ , circuitul de formare este transformat în-

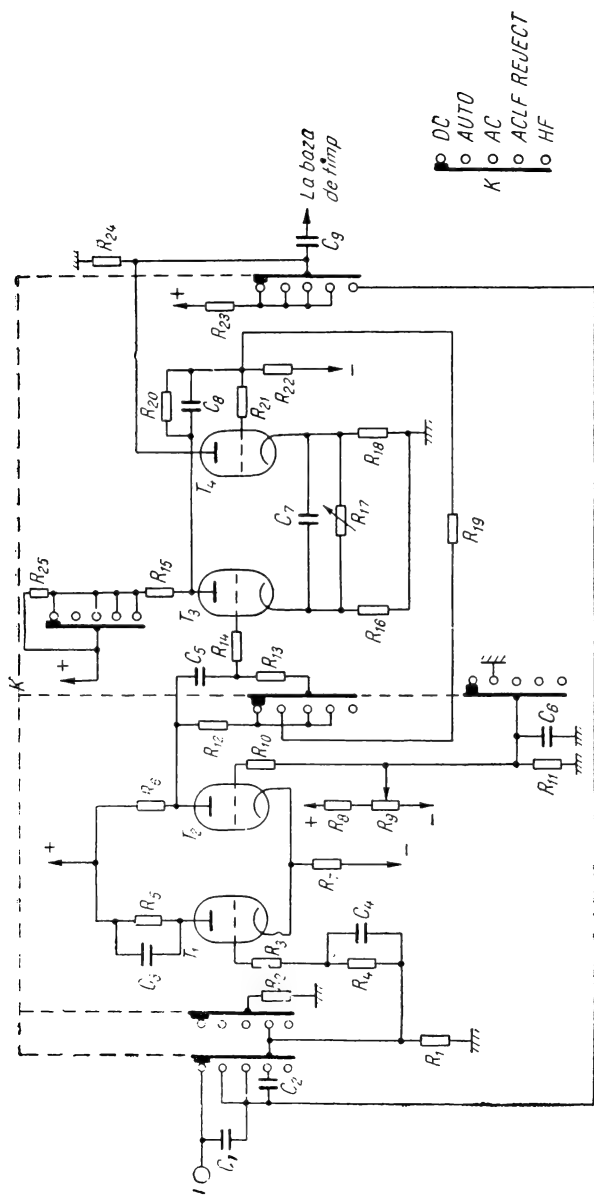


Fig. 2.27. Schemă de declanșare a bazei de timp (ORION TR 4401).

tr-un circuit astabil prin conectarea grilei tubului  $T_4$  cu grila tubului  $T_3$  prin  $R_{19}$ . Această rezistență face ca circuitul astabil să oscileze singur, fără comanda exterioară. În plus, pe grila tubului lui  $T_3$  se poate aplica un semnal de comandă prin intermediul lui  $C_5$ . Este nevoie însă ca acest semnal să aibă amplitudine mare. În poziția  $HF$  semnalul de la intrare este aplicat direct bazei de timp. Armonicile superioare ale acestui semnal vor sincroniza generatorul de baleiaj. Din acest motiv folosirea acestui mod de sincronizare se face în domeniul 5—30 MHz. Se menționează că semnalul de declanșare obținut în aceste circuite trece în prealabil printr-un multivibrator al bazei de timp și, de la ieșirea acestuia, comandă generatorul de baleiaj (v. și fig. 2.21).

Osciloscopul Tektronix 545 și 585 dispun de două generatoare ( $A$  și  $B$ ) în blocul de baleiaj. Aceste generatoare pot funcționa împreună sau separat, lărgindu-se astfel domeniul de folosire a osciloscopului. Anumite porțiuni de semnal pot fi amplificate în mod special sau pot fi lărgite în timp („lupă de timp“). Se pot observa mai bine nestabilitățile fronturilor impulsurilor și, în general, se mărește precizia măsurărilor intervalelor de timp. În poziția „intensificare“ a comutatorului modului de lucru imaginea este desfășurată pe ecran cu ajutorul generatorului de baleiaj  $B$ . Dacă viteza de baleiaj a generatorului  $A$  este mai mare decât a generatorului  $B$ , atunci o anumită porțiune din semnal apare mai intens pe ecran. Trecând în poziția „baza  $A$  întârziată de baza  $B$ “ porțiunea de semnal care prezintă interes deosebit poate fi „dilatată“ așa ca să ocupe toată suprafața utilă a ecranului.

## 2.5. BLOCUL DE ALIMENTARE

Blocul pentru alimentarea osciloscopului se compune din mai multe redresoare. Unul dintre ele produce tensiunea înaltă necesară tubului catodic, iar celelalte sînt destinate alimentării diverselor scheme electronice ale osciloscopului. Înstabilitatea tensiunii rețelei produce modificarea sensibilității osciloscopului, deplasări nedorite ale spotului pe ecran, defocalizare etc. Din acest motiv,

în majoritatea osciloscoapelor se folosește stabilizarea electronică a redresoarelor. În unele scheme de amplificatoare alimentarea filamentelor tuburilor electronice se face de la un redresor stabilizat de tensiune mică (12,6 V). Redresorul de tensiune foarte înaltă trebuie să furnizeze un curent mic (de ordinul a câțiva mA) la o tensiune cuprinsă între 7—800 V și 12—15 kV. Schema lucrează în regim de redresare monoalternanță cu dublare sau triplare de tensiune. Tensiunea alternativă care urmează a fi redresată se obține cu ajutorul unui transformator ridicător de tensiune și care lucrează pe frecvența rețelei sau cu ajutorul unui oscilator care lucrează în radiofrecvență. Oscilatorul prezintă unele avantaje printre care filtrajul simplu, dimensiunile mici și pericol redus de electrocutare.

În fig. 2.28 este prezentată schema simplă a redresorului de foarte înaltă tensiune din osciloscopul C1-6 (U.R.S.S.).

Tubul catodic este alimentat de la două redresoare monoalternanță cu seleniu de tip ABC-1000. Potențiometrul  $R_1$  reglează tensiunea redresată. Trebuie precizat că tensiunea rețelei electrice folosite are o frecvență de 400 Hz.

În fig. 2.29 este prezentată schema redresorului de foarte înaltă tensiune din osciloscopul SOLARTRON CD 1220 (Anglia).

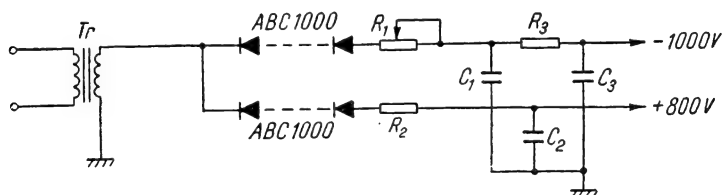


Fig. 2.28. Redresor de foarte înaltă tensiune (C1-6, U.R.S.S.).

Pentoda  $T_1$  lucrează ca oscilator Hartley producând o tensiune cu frecvența de 60 kHz. Inductanța circuitului acordat este formată de primarul transformatorului  $Tr$ . Secundarul transformatorului are o înfășurare de foarte înaltă tensiune cu priză și patru înfășurări de încălzire a

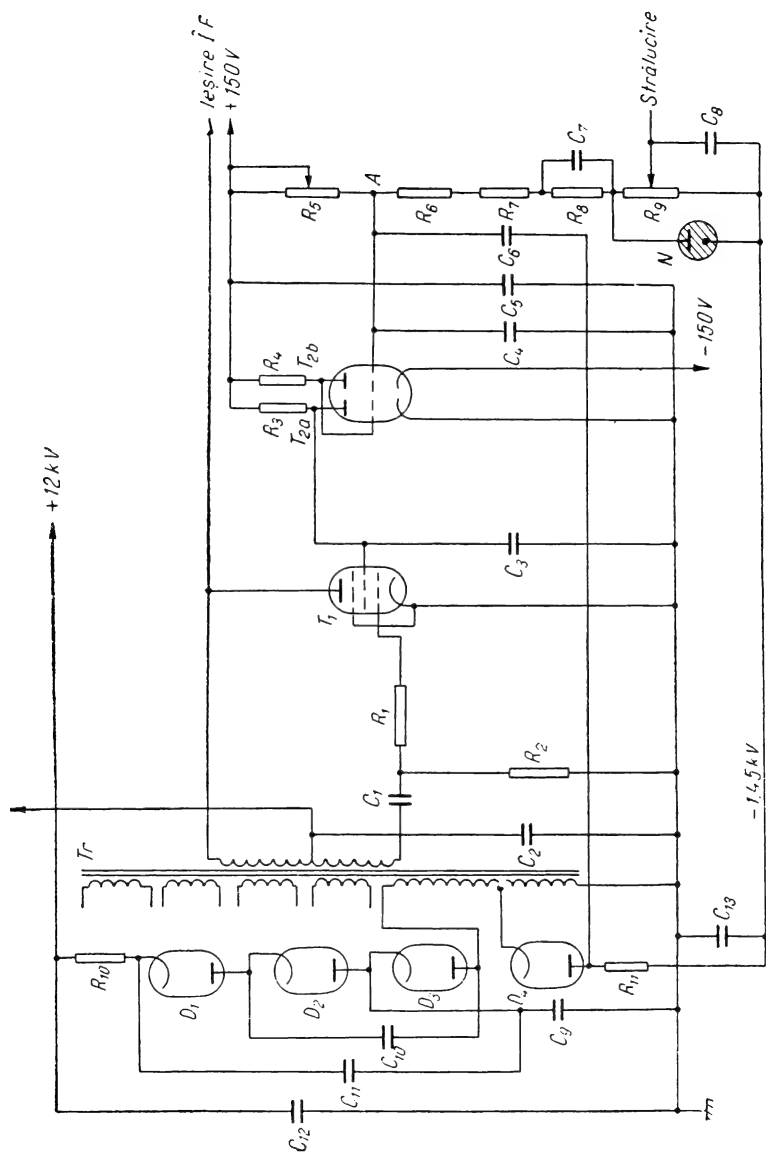


Fig. 2.29. Redresor de foarte înaltă tensiune (SOLARTRON CD 1220).

filamentelor diodelor redresoare. Întreaga tensiune înaltă este aplicată unui redresor cu triplare de tensiune format din diodele  $D_1$ ,  $D_2$  și  $D_3$  și condensatoarele  $C_{10}$ ,  $C_{11}$ . Tensiunea continuă de 12 kV obținută este filtrată cu ajutorul condensatorului  $C_{12}$  și apoi aplicată electrozilor de postaccelerare  $a_4$  și  $a_5$  din tubul catodic. O secțiune a secundarului de foarte înaltă tensiune este folosită pentru obținerea unei tensiuni de  $-1,45$  kV necesară circuitelor de reglare a spotului. Redresarea se face cu ajutorul diodei  $D_4$ , iar filtrarea prin  $C_{13}$ . Divizorul  $R_5-R_9$  servește, pe de o parte, pentru obținerea diverselor tensiuni necesare la reglarea spotului, iar pe de altă parte, la obținerea în punctul  $A$  a unei tensiuni puțin sub  $-150$  V când tensiunea sursei de  $-1,45$  kV are valoarea nominală. Orice variație a tensiunii de  $-1,45$  kV atrage după sine apariția pe grila tubului  $T_{2b}$  a unui semnal care este amplificat de tubul  $T_2$  și apoi aplicat pe ecranul oscilatorului (tubul  $T_1$ ). În acest mod amplitudinea oscilației este modificată în sensul revenirii tensiunii continue înalte la valoarea nominală.

În fig. 2.30 este prezentată schema redresorului de foarte înaltă tensiune din osciloscopul OCT 587 A (CRC Franța).

Tranzistorul  $T_4$  lucrează ca oscilator în clasa C pe o frecvență de 20 kHz. Transformatorul  $Tr$  ridică tensiunea produsă de oscilator pînă la 600—700 V. La ieșirile transformatorului se află două redresoare cu multiplicare de tensiune care asigură  $+8\,000$  V și  $-1\,500$  V respectiv. Redresorul de  $-1\,500$  V este prevăzut cu o schemă de stabilizare a tensiunii realizată cu tranzistoarele  $T_1$ ,  $T_2$  și  $T_3$ . Variațiile tensiunii redresate sînt transmise prin condensatorul  $C_1$  la intrarea amplificatorului format cu  $T_1$ ,  $T_2$  și  $T_3$ . Dioda  $D_3$  protejează joncțiunea bază-emitor a tranzistorului  $T_4$ .

Redresoarele de tensiune înaltă produc tensiuni cuprinse între 75 și 400 V. Se folosesc scheme de redresare dublă alternanță sau în punte și majoritatea sînt stabilizate electronic.

În fig. 2.31 este prezentată schema din osciloscopul C1-6 (U.R.S.S.).

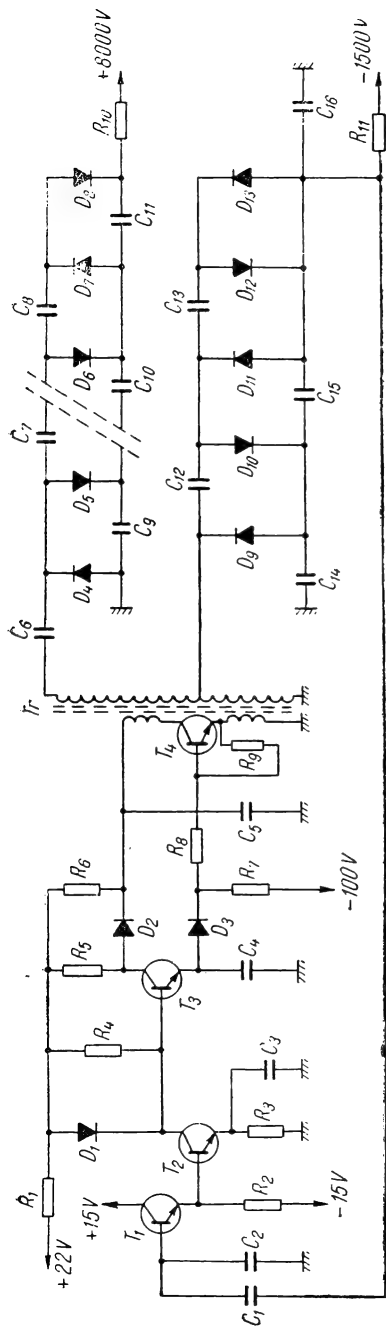


Fig. 2.30. Redresor de foarte înaltă tensiune (OCT 587 A, CRC).

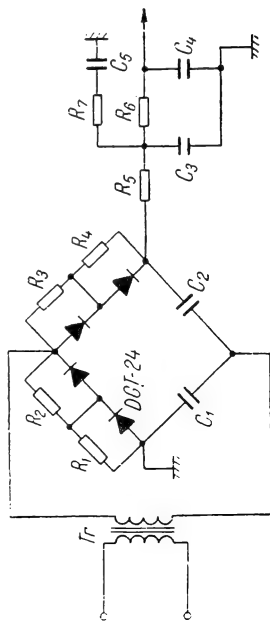


Fig. 2.31. Redresor de înaltă tensiune (C1-6, U.R.S.S.).



Se folosesc diode tip DGȚ-24 legate în serie două câte două, cu rezistențe de egalizare, într-un montaj cu dublare de tensiune. Filtrul este de tip II și este format din rezistențele  $R_6$  și condensatoarele  $C_3$  și  $C_4$ .

În fig. 2.32 este prezentată schema redresorului care produce tensiunea de  $-150$  V din osciloscopul SOLARTRON (Anglia).

Tensiunea alternativă din secundarul transformatorului este aplicată unei punți redresoare formată din diodele  $D_1-D_4$  de tip 40AS. Condensatorul  $C_1$  și rezistența  $R_1$  servesc la protejarea punții în cazul supratensiunilor. Tensiunea redresată este aplicată unui stabilizator electronic format din tuburile  $T_1-T_3$ . Lanțul divizor  $R_{14}-R_{16}$  legat în paralel cu ieșirea produce în punctul A un semnal de eroare care se aplică pe grila tubului  $T_{3a}$ , care împreună cu tubul  $T_{3b}$  formează un amplificator diferențial. Semnalul de eroare amplificat este apoi aplicat direct pe grila de comandă a tubului  $T_2$  care, la rândul său, comandă grila tubului stabilizator serie  $T_1$ . Potentiometrul  $R_{15}$  servește la reglajul precis al tensiunii de  $-150$  V. Tiratronul  $S_1$  asigură o tensiune cât mai fixă pentru polarizarea grilei tubului  $T_{3b}$ . Osciloscopul SOLARTRON este prevăzut cu încă două redresoare asemănătoare pentru obținerea tensiunilor de  $+75$ ,  $+150$ ,  $+250$  și  $+320$  V.

Redresorul de joasă tensiune produce tensiunea necesară alimentării filamentelor tuburilor din unele amplificatoare.

În fig. 2.33 este prezentată schema redresorului din osciloscopul SOLARTRON CD 1 220 care produce o tensiune de  $12,6$  V la un curent de  $3,5$  A.

Tensiunea alternativă din secundarul transformatorului este aplicată unei punți redresoare formată din diodele  $D_1-D_4$  de tip 1S420. Tensiunea continuă obținută este aplicată unui stabilizator electronic format din tranzistoarele  $T_1-T_4$ . Stabilizatorul serie este format din  $T_1$  și  $T_2$ . Pentru reducerea puterii disipate în tranzistorul  $T_1$  se folosește șuntul  $R_1$ . Lanțul divizor  $R_8-R_{10}$ , legat în paralel cu ieșirea, produce în punctul A un semnal de eroare care se aplică la baza lui  $T_4$ . Semnalul de corecție este luat de la colectorul lui  $T_4$  și aplicat la baza lui  $T_2$ .

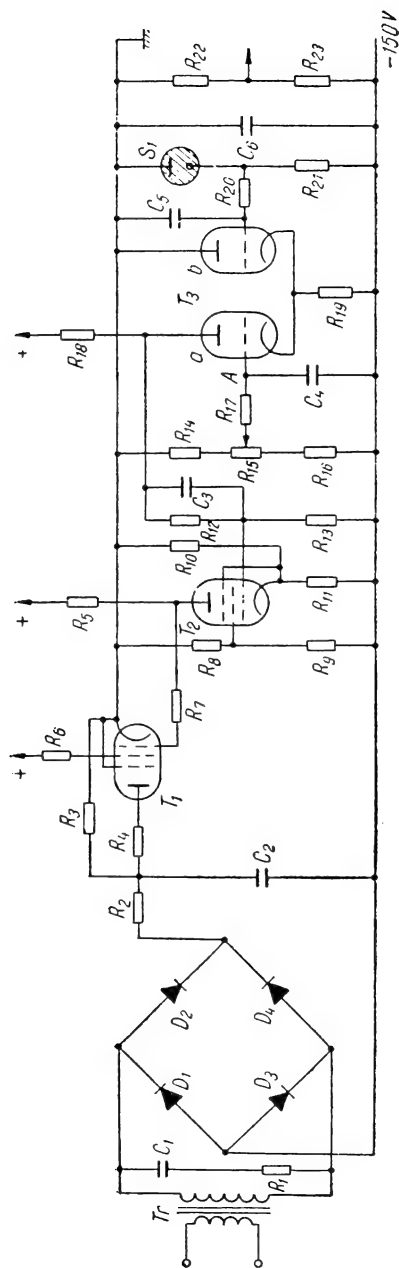


Fig. 2.32. Redresor de  $-150\text{ V}$  (SOLARTRON CD 1220, Anglia).

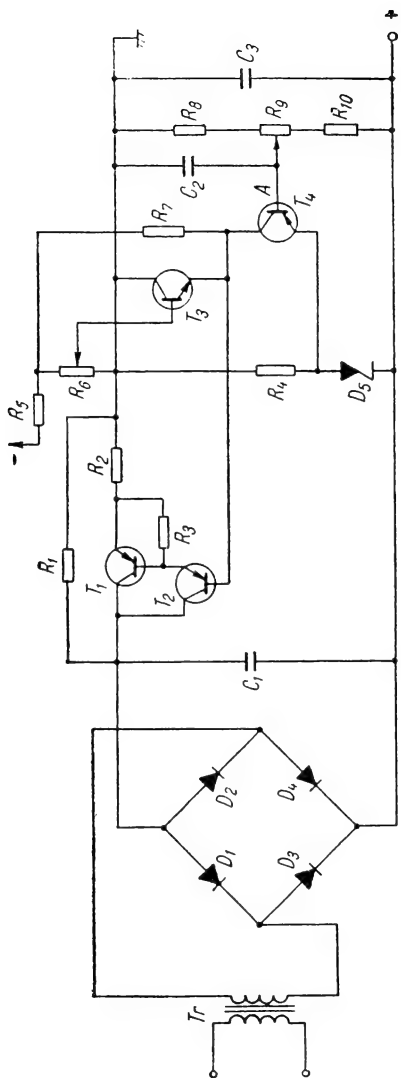


Fig. 2.33. Redresor de 12,6 V (SOLARTRON CD 1220, Anglia).

legat ca repetor și cuplat direct cu  $T_1$ . Dioda Zener  $D_5$  produce o tensiune de referință pentru emitorul lui  $T_4$ . Tranzistorul  $T_3$  de tip  $n-p-n$  lucrează ca limitator de curent. El este normal blocat prin polarizarea dată de  $R_5$  și  $R_6$ . Când curentul de sarcină depășește valoarea nominală limită, potențialul din baza tranzistorului  $T_2$  și din emitorul lui  $T_3$  devine suficient pentru a produce conducția lui  $T_3$ . Tranzistorul  $T_1$  se blochează și curentul de suprasarcină trece numai prin șuntul  $R_1$ .

## 2.6. CIRCUITUL DE CALIBRARE A AMPLITUDINII

Utilizarea osciloscopului pentru măsurări cantitative impune calibrarea diviziunilor ecranului. Aceasta se realizează prin aplicarea la bornele de intrare pe verticală a unei tensiuni cunoscute, cu amplitudinea cât mai constantă. Tensiunea de calibrare este produsă de un circuit special din interiorul osciloscopului și este accesibilă la o bornă de pe panoul frontal notată *IEȘIRE CALIBRATĂ (CAL. OUT)*. De obicei, tensiunea de calibrare are forma unor impulsuri dreptunghiulare cu o frecvență de 1 kHz. Amplitudinea tensiunii de calibrare este menținută cu o precizie de  $\pm 3\%$  putînd atinge în cazuri speciale  $0,1\%$ . Schema este prevăzută cu un divizor rezistiv care permite obținerea unor tensiuni de la fracțiuni de milivolt pînă la zeci de volți.

Există și osciloscops cu atenuatorul calibrat direct în mV/cm.

În fig. 2.34 este arătată schema circuitului de calibrare a amplitudinii din osciloscopul ORION 1546, care apare și în unele osciloscops Tektronix.

Tuburile  $T_1$  și  $T_2$  formează un multivibrator cu frecvența de 1 kHz. Se observă că din  $T_2$  se folosește numai partea catod — grila de comandă — grila ecran. Curentul anodic al tubului  $T_2$  are forma unor impulsuri dreptunghiulare. Salturile curentului se produc în momentele în care se face trecerea din starea de conducție în starea de blocare a lui  $T_2$  și invers. Tubul  $T_3$  reprezintă un repetor catodic. În momentul cînd  $T_2$  este blocat, tensiunea

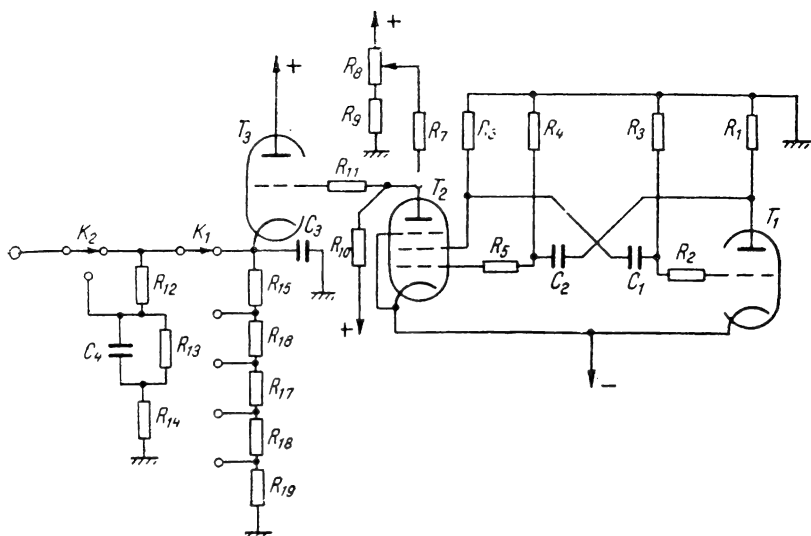


Fig. 2.34. Circuit de calibrare a amplitudinii  
(Tektronix 585 S.U.A.).

pe grila lui  $T_3$  este determinată de divizorul  $R_7$ — $R_{10}$  și poate fi reglată cu ajutorul potențimetrului  $R_8$  (CAL. ADJ.). Când  $T_2$  conduce,  $T_3$  se blochează, iar tensiunea de ieșire a repetorului revine nulă. Se obține astfel o tensiune cu forma din fig. 2.35.

Comutatorul  $K_1$  servește la schimbarea treptelor tensiunii de calibrare, iar comutatorul  $K_2$  permite trecerea de la tensiuni de ordinul volților la tensiuni de ordinul

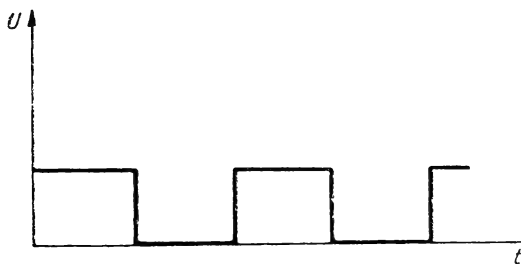


Fig. 2.35.  
Forma de undă a  
tensiunii de ca-  
librare.

milivolților. Se menționează că este indicată efectuarea calibrării imediat înaintea citirii tensiunii necunoscute pe ecranul osciloscopului.

## 2.7. CIRCUITUL DE CALIBRARE A DURATEI

În mod obișnuit, în oscilosoapele moderne calibrarea duratei se face cu ajutorul unor repere luminoase. Imaginea semnalului de studiat va apărea astfel compusă din porțiuni luminoase alternate cu porțiuni întunecate. Calibrarea duratei se face cu un generator special care produce o succesiune de impulsuri cu o frecvență de repetiție cunoscută. Aceste impulsuri de tensiune sînt aplicate pe catodul tubului catodic. Funcționarea generatorului de impulsuri este sincronizată cu baza de timp și astfel distribuția punctelor luminoase va fi mereu constantă, depinzînd de scara de timp în care lucrează baza de timp. Cunoscînd numărul de puncte luminoase ale imaginii și frecvența de repetiție a impulsurilor se poate determina durata semnalului de studiat. În fig. 2.36 este prezentată schema de calibrare a duratei din osciloscopul CI-1 (U.R.S.S.). Această schemă permite obținerea unor impul-

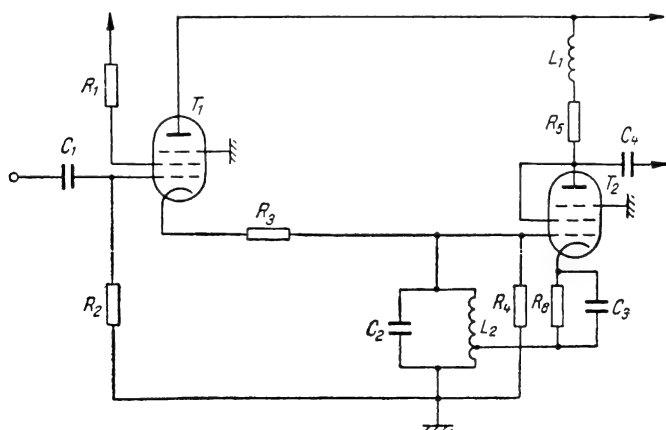


Fig. 2.36. Schemă de calibrare a duratei (CI-1, U.R.S.S.).

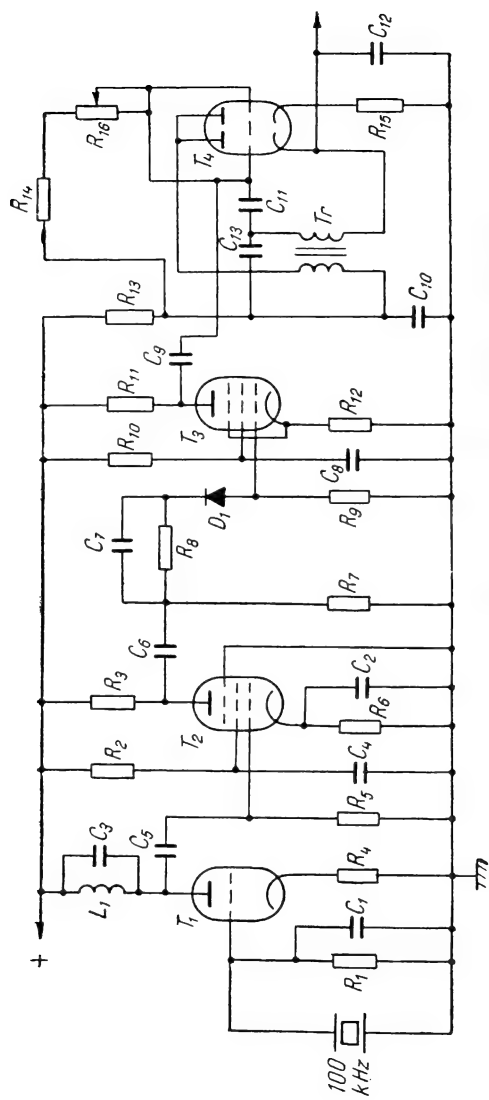


Fig. 2.37. Schemă de calibrare a duratei (OK-25, U.R.S.S.).

suri cu durată între 0,05 și 100  $\mu$ s. Un impuls negativ luat de la generatorul de baleiaj produce blocarea repetorului catodic  $T_1$ . În acest mod se poate sincroniza tensiunea de calibrare a duratei cu tensiunea generatorului de baleiaj. Durata impulsului este egală cu durata cursei directe a bazei de timp. După aplicarea impulsului de comandă circuitul  $L_2, C_2$  intră în oscilație. Tubul  $T_2$  întreține aceste oscilații. Rezistența  $R_4$  servește la uniformizarea amplitudinilor oscilațiilor. Schema, care este destul de simplă, trebuie să fie destul de des verificată cu ajutorul unui generator cu cuarț.

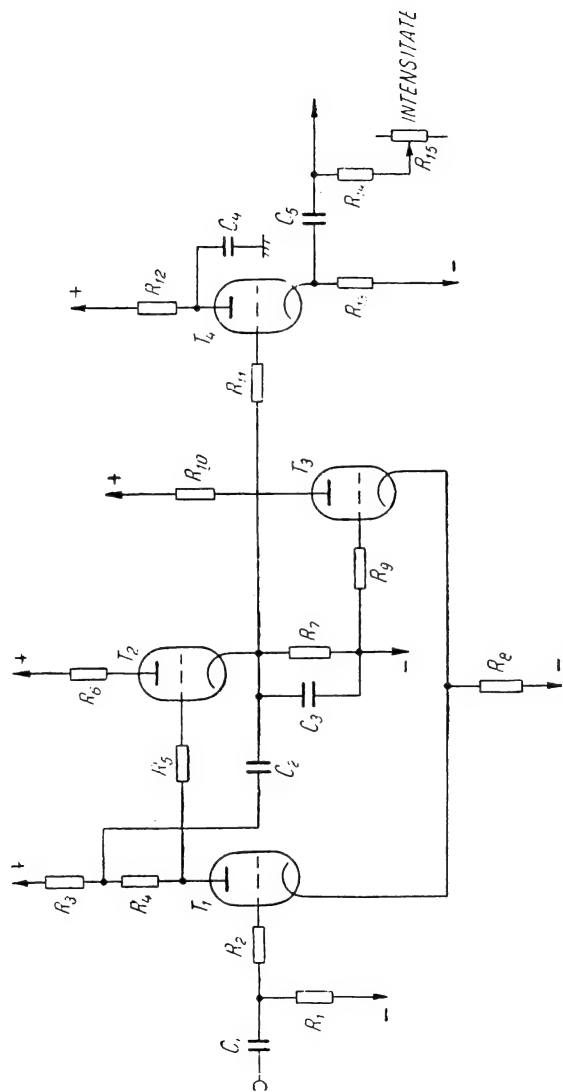
În fig. 2.37 este prezentată schema de calibrare a duratei din osciloscopul OK 25 (U.R.S.S.) care produce impulsuri cu o frecvență de repetiție cuprinsă între 50 și 100 kHz.

Tubul  $T_1$  funcționează ca generator de tensiune sinusoidală. Între grila și catodul tubului este legat un cuarț cu frecvența proprie de 100 kHz. Circuitul  $L_1, C_3$  din anodul lui  $T_1$  este acordat pe o frecvență mult mai mare decât a cuarțului, fapt care asigură o stabilitate bună a frecvenței. Din anodul lui  $T_1$  tensiunea sinusoidală este aplicată pe grila unui amplificator — limitator format din tubul  $T_2$ . Impulsurile care rezultă la ieșirea lui  $T_2$  sînt diferențiate de circuitul  $C_7, R_8$ . Dioda  $D_1$  blochează impulsurile pozitive. Pe grila lui  $T_3$  ajung astfel numai impulsuri negative. Impulsurile pozitive amplificate din anodul lui  $T_3$  sincronizează generatorul autoblocat format de tubul  $T_4$ , din catodul căruia impulsurile de marcă sînt aplicate sistemului de deflexie pe orizontală.

## 2.8. CIRCUITUL DE MODULARE A INTENSITĂȚII SPOTULUI

În imaginile obișnuite obținute pe ecranul osciloscopului axa timpului este reprezentată pe orizontală. Pe ecran sînt desfășurate astfel două mărimi variabile: pe verticală — tensiunea investigată, iar pe orizontală — timpul. Este posibilă desfășurarea pe ecran a trei mărimi variabile. Aceasta se realizează prin aplicarea celei de-a treia mărimi simultan pe axele  $X$  și  $Y$ . Ca rezultat se produce





o mișcare a fasciculului datorită compunerii a două forțe. Rezultanta acționează în lungul axei  $Z$  și se crează astfel senzația de relief.

Un alt mijloc pentru observarea simultană a trei mărimi variabile este modularea intensității fasciculului (ca de exemplu în receptoarele de televiziune). În osciloscopul obișnuit, modularea spotului se realizează prin stingerea lui în timpul cursei inverse a bazei de timp sau prin intensificarea strălucirii spotului pentru înregistrări fotografice.

În fig. 2.38 este prezentată schema circuitului de modulare (blancare) din osciloscopul ORION TR 4401 (R.P. Ungară).

Impulsurile pozitive, dreptunghiulare, produse de multivibratorul bazei de timp, sînt aplicate pe grila tubului catodic prin intermediul repetorului catodic format de tubul  $T_4$ . Aceste impulsuri coincid ca moment inițial și durată cu începutul și durata cursei directe a bazei de timp. Ele produc creșterea potențialului grilei tubului catodic. În acest mod, în timpul cursei directe a bazei de timp spotul apare luminat. În cealaltă stare a multivibratorului, care durează tot timpul cursei inverse a bazei de timp, pe grila tubului catodic se aplică un impuls negativ care produce stingerea spotului. Această schemă nu este recomandabilă în cazul impulsurilor cu durată lungă din cauza constantei de timp a circuitului  $C_5$ ,  $R_{14}$ . Efectul acestei constante de timp poate fi eliminat folosind un semnal de înaltă frecvență modulat cu impulsurile de stingere și care se detectează apoi ca în fig. 2.39.

Semnalul de înaltă frecvență care formează unda purtătoare este luat de la oscilatorul blocului de alimentare și este aplicat pe grila repetorului catodic  $T_3$ . Diodele de blocare  $T_2$  legate la grila lui  $T_3$  iau tensiunea de blocare din catodul lui  $T_1$  și de la potențiometrul  $R_8$ . Cînd baza de timp începe cursa directă, pe grila lui  $T_1$  se aplică un impuls pozitiv. Saltul pozitiv de tensiune se regăsește în catodii tuburilor  $T_1$  și  $T_2$ . Astfel, semiperioadele negative ale purtătoarei de înaltă frecvență sînt blocate, iar cele pozitive pot crește pînă la o tensiune de aproximativ 75 V. La grila lui  $T_3$  apare o tensiune modulată care se regă-

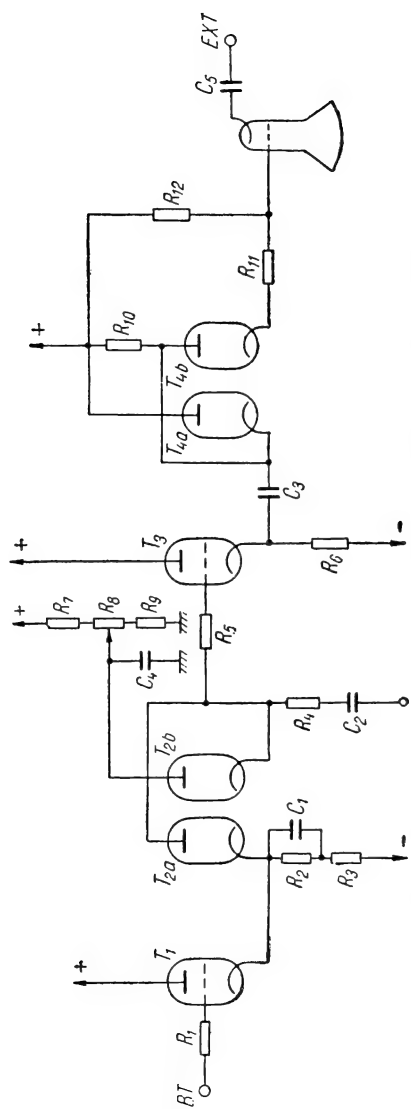


Fig. 2.39. Circuit de blancare (SOLARTRON CD 1220, Anglia).

sește pe sarcina  $R_6$ . Dioda  $T_{4b}$  servește la detecția semnalului modulat. Impulsurile detectate sînt aplicate prin  $R_{11}$  pe grila tubului catodic. Modularea fascicului se poate face și cu semnal exterior prin condensatorul  $C_5$ .

## 2.9. CIRCUITE DE REGLARE A SPOTULUI

Pentru a permite o mare ușurință în folosire, osciloscopul este prevăzut cu o serie de circuite care dau posibilitatea reglării dimensiunilor spotului, precum și deplasarea acestuia în cele două direcții — verticală și orizontală. Reglajele sînt foarte simple și constau în modificarea tensiunii continue a diferiților electrozi ai tubului catodic.

În fig. 2.40 este prezentată schema reglajelor spotului din osciloscopul CI-1 (U.R.S.S.).

Tensiunea continuă de  $+300\text{ V}$  este aplicată pe cele două perechi de plăci de deflexie prin grupul  $R_1—R_{10}$ . Deplasarea în cele două direcții, verticală și orizontală, a spotului se realizează cu ajutorul potențiometrelor  $R_3$

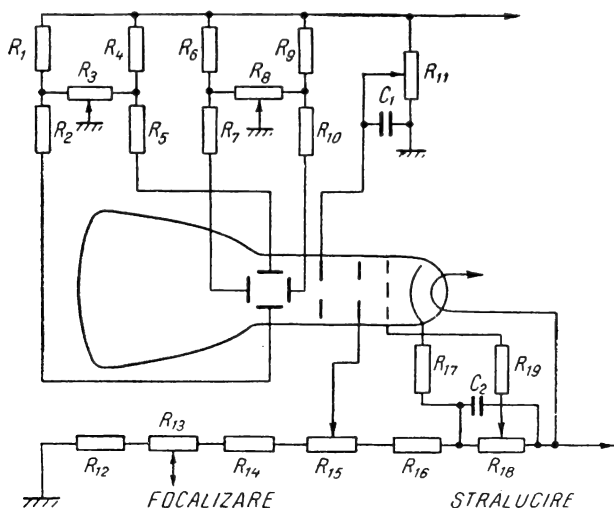


Fig. 2.40. Circuit de reglare a spotului (CI-1, U.R.S.S.).

și  $R_8$ . Focalizarea fascicului electronic se reglează cu potențiometrul  $R_{15}$ . Potențiometrul  $R_{18}$  poate modifica polarizarea grilei tubului catodic și astfel reglează intensitatea strălucirii spotului.

În fig. 2.41 este prezentată schema circuitelor de reglare a spotului din osciloscopul ORION TR 4401 (R.P. Ungară).

Circuitele pentru deplasarea spotului în direcție verticală și orizontală sînt încorporate în amplificatoarele respective (v. § 2.3). Reglarea intensității fascicului se face cu ajutorul lui  $R_6$ . Prin  $C_3$  se aplică pe grila tubului catodic impulsul de stingere a spotului în timpul cursei inverse a bazei de timp. Focalizarea se reglează cu ajutorul potențiometrului  $R_2$ . Corectarea astigmatismului fascicului se face cu ajutorul potențiometrului  $R_9$ .

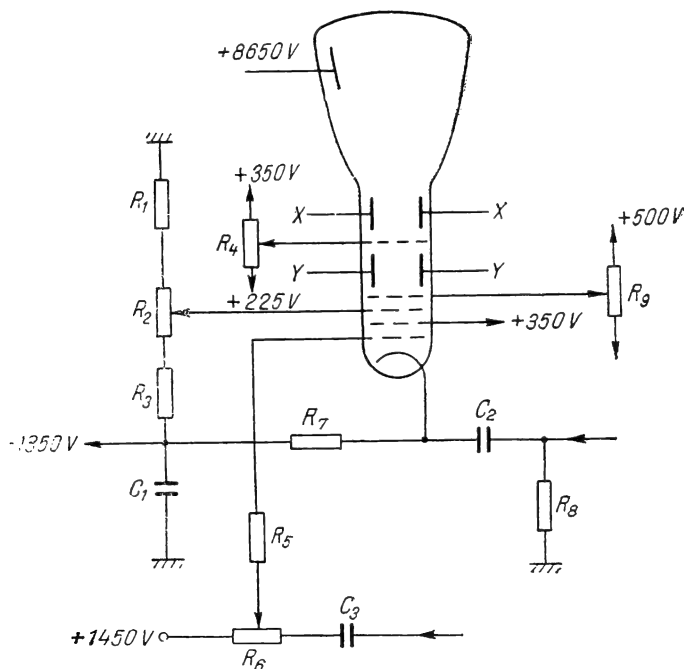


Fig. 2.41. Circuit de reglare a spotului (TR 4401, R. P. Ungară).

## OSCILOSCOAPE SPECIALE

## 3.1. COMUTATORUL ELECTRONIC

Osciloscoapele moderne permit observarea simultană a două sau mai multe semnale. În acest scop se construiesc tuburi catodice care în același balon conțin mai multe tunuri electronice (cel mai des avînd cîte două sisteme de deflexie pentru  $X$  și  $Y$ ) sau tuburi catodice cu două tunuri electronice, dar cu sistem comun de deflexie după  $X$ . De asemenea, există tuburi catodice care permit despicarea fascicului și apoi deflexia fiecărei părți din fascicul.

O metodă mai simplă și mai elegantă este folosirea unui comutator electronic pentru un tub catodic obișnuit. Cel mai răspîdit este sistemul de comutare succesivă a două canale de amplificare la o singură pereche de plăci de deflexie pe verticală (fig. 3.1, *a*). Pe ecranul tubului catodic vor apărea două imagini distincte, ca în fig. 3.1.

Blocul amplificator-comutator electronic se compune din două amplificatoare identice care pot fi comutate cu frecvența de baleiaj a osciloscopului (fig. 3.1, *b*) sau, independent, cu o frecvență constantă de aproximativ 100 kHz (fig. 3.1, *c*). Fiecare canal amplificator poate fi folosit și fără comutator ca amplificator independent. Există și posibilitatea utilizării celor două amplificatoare pentru însumarea algebrică a semnalelor de la intrare.

În fig. 3.2 este prezentată schema blocului amplificator-comutator electronic din osciloscopul Tektronix 585.

Semnalul investigat se aplică la intrarea repetorului catodic  $T_1$ . De pe sarcina repetorului semnalul se aplică etajului inversor de fază format din tuburile  $T_2$  și  $T_3$ .

Potențiometrul  $R_{12}$  servește la reglajul fin al amplificării. Comutatorul electronic propriu-zis cuprinde tuburile  $T_4$ — $T_{10}$ . Tuburile  $T_4$  și  $T_5$  formează un multivibrator cu două poziții stabile. Când comutatorul modului de lucru este așezat în una dintre pozițiile „canalul 1” sau „canalul 2” multivibratorul trece în una dintre stările stabile prin aplicarea unei tensiuni pozitive pe o grilă și a unei tensiuni negative pe cealaltă grilă. În poziția „comutator”, pe ambele grile ale multivibratorului se aplică tensiuni pozitive. Multivibratorul intră în regim de oscilație cu o frecvență de 100 kHz. Când tubul  $T_5$  conduce, tensiunea pe catod este apropiată de cea a masei. Această tensiune provoacă deschiderea tubului  $T_7$ . Tensiunea grilei tubului  $T_9$  scade, micșorând astfel tensiunea pe anozii tuburilor  $T_2$  și  $T_3$ . Scăderea tensiunii anodice determină blocarea etajului care urmează inversorului de fază, deci închiderea canalului 1. În mod asemănător tubul  $T_4$  este blocat, curentul prin tubul  $T_8$  scade și grila lui  $T_{10}$

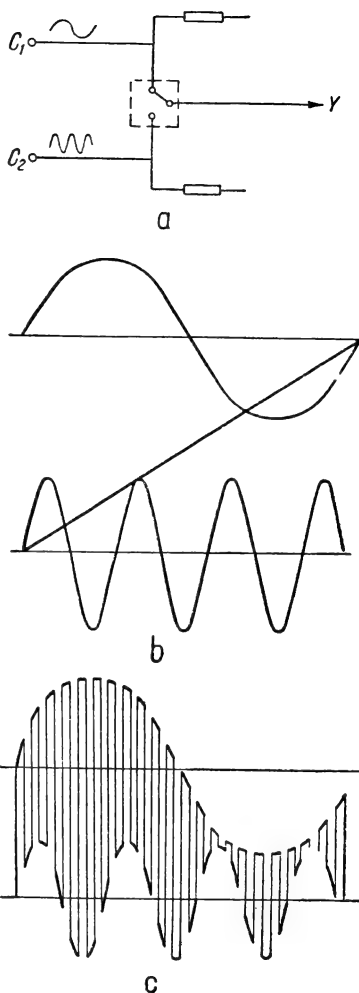


Fig. 3.1. Schemă de comutator electronic și forme de undă.





devine mai pozitivă. Canalul 2 începe să funcționeze. Se obține astfel o comutare succesivă a canalelor 1 și 2 cu o frecvență de 100 kHz. În poziția „variabil“ a comutatorului modului de lucru, pe ambele grile ale multivibratorului se aplică tensiuni negative. Cele două stări ale multivibratorului sînt stabile. La sfîrșitul fiecărei curse directe a generatorului de baleiaj se generează cîte un impuls negativ care se aplică multivibratorului prin diodă  $T_6$ . Multivibratorul trece dintr-o stare stabilă în cealaltă. Se obține astfel comutarea succesivă a canalelor determinată de baza de timp. În poziția „suma algebrică“ se aplică pe grilele multivibratorului o tensiune de  $-150$  V. Tuburile  $T_7$  și  $T_8$  se blochează, iar tensiunile din catodii tuburilor  $T_9$  și  $T_{10}$  cresc. Ambele canale amplificatoare funcționează. Semnalele aplicate la intrări vor fi amplificate simultan, permițînd adunarea semnalelor în fază și scăderea celor în antifază.

În fig. 3.3 este prezentată schema comutatorului electronic din osciloscopul Hewlett-Packard 140 A.

Comutatorul electronic cuprinde un generator autoblocat, un amplificator al impulsurilor de blancare și un multivibrator. Prin intermediul unor diode de comutare, comutatorul electronic aplică tensiuni negative sau pozitive la fiecare canal de amplificare, determinînd starea de conducție sau de blocare a acestora. Cu ajutorul comutatorului  $K$  al modului de lucru, circuitul format cu tranzistorul  $T_1$  poate lucra în regim astabil, monostabil sau blocat. Cînd emitorul lui  $T_1$  este adus prin  $R_{18}$  la tensiunea de  $+100$  V, circuitul poate oscila liber cu o frecvență de 200 kHz. Tensiunea pozitivă care apare în colector este aplicată prin intermediul condensatorului  $C_4$  circuitului multivibrator format cu tranzistoarele  $T_3$  și  $T_4$  (care oscilează cu o frecvență de 100 kHz). Cînd emitorul lui  $T_1$  este pus la masă, circuitul este pus în condiții de monostabil și va produce cîte un impuls pentru fiecare impuls negativ care se aplică în baza lui  $T_1$  prin intermediul condensatorului  $C_1$  și diodei  $D_1$ . În această poziție, multivibratorul comută o dată pentru fiecare cursă a bazei de timp.

Partea pozitivă a fiecărui impuls produs de circuitul autoblocat  $T_1$  nu are efect asupra amplificatorului format

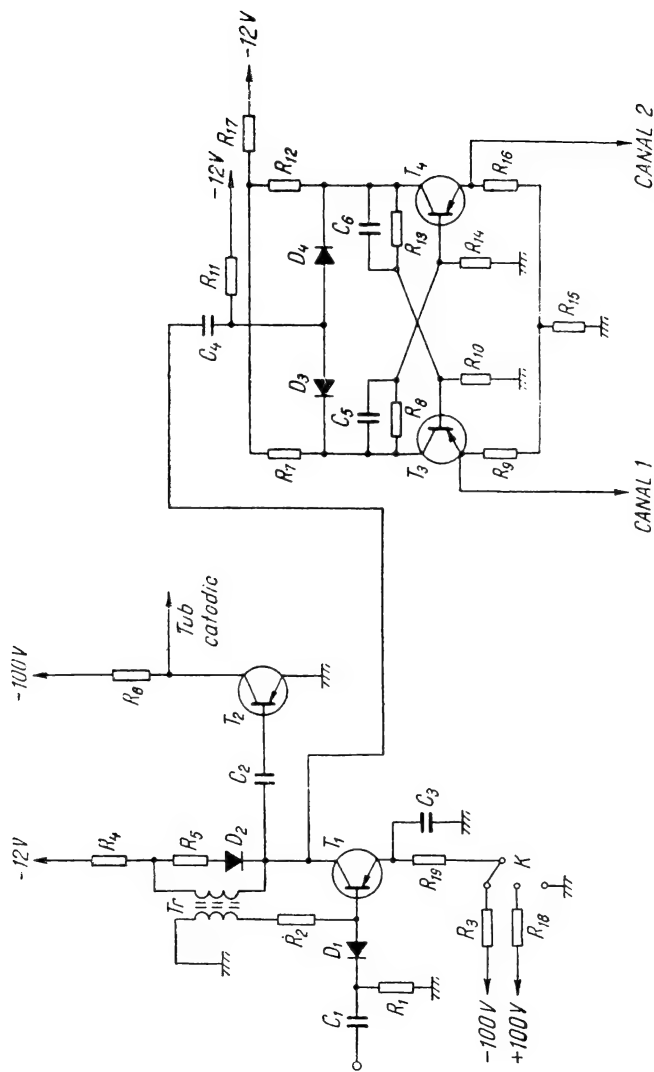


Fig. 3.3. Schema comutatorului electronic din osciloscopul Hewlett-Packard 140 A.

cu tranzistorul  $T_2$ . Partea negativă însă produce apariția în colectorul lui  $T_2$  a unui impuls pozitiv de blankare, care se aplică tubului catodic. Perioada între momentul pornirii generatorului autoblocat și producerea părții negative a impulsului acestuia este de 200 ns și corespunde întârzierii introduse de amplificatorul final de deflexie pe verticală.

Tranzistoarele  $T_3$  și  $T_4$  sînt legate într-o schemă de multivibrator bistabil. El poate fi declanșat cu ajutorul unui impuls pozitiv de la generatorul autoblocat și astfel asigură funcționarea unui singur canal (1 sau 2) sau poate fi blocat și asigură funcționarea simultană a ambelor canale. Dacă tranzistorul  $T_3$  conduce și  $T_4$  este blocat, curentul tranzistoarelor etajului final al amplificatorului de deflexie pe verticală din canalul 1 se închide la masă prin  $T_3$  și astfel se deconectează amplificatorul de la plăcile tubului catodic.

### 3.2. OSCILOSCOPUL CU EȘANTIONARE

Dezvoltarea deosebită pe care a căpătat-o în ultimii ani tehnica impulsurilor a condus la utilizarea unor impulsuri cu durate foarte scurte. În prezent se produc tranzistoare cu frecvența de tăiere peste 1 000 MHz, care se folosesc în circuite de comutație ultrarapide și în sisteme de telecomunicații (lucrînd, de exemplu, în banda de 470 MHz). În fizica nucleară, în aparatura rapidă de prelucrare a datelor, apar impulsuri cu fronturi de ordinul zecilor de picosecunde. Toate acestea au determinat punerea la punct a unor osciloscopia de bandă largă, atingînd frecvențe de 1—12 GHz. Construirea unor osciloscopia obișnuite, dar cu o bandă atît de largă de frecvențe, este foarte costisitoare și nu poate asigura decît o sensibilitate scăzută (cîtiva V/cm) și dimensiuni reduse ale imaginii pe ecran ( $2 \times 10$  cm). Toate aceste inconveniente nu mai apar la osciloscopul cu eșantionare (sampling-scope). Principiul de funcționare al acestui gen de osciloscop diferă de cel al osciloscopului obișnuit. În esență, principiul constă în reducerea frecvenței semnalului investigat înainte de intrarea amplificatorului. Aceasta se realizează prin extragerea din semnal (fig. 3.4, a) a unor

fișii (sample) (fig. 3.4, c) cu ajutorul unor impulsuri deca- late în timp (fig. 3.4, b). După amplificare fișiiile recon- stituie semnalul inițial.

Practic, semnalul este tăiat în fișii care se amplifică fiecare în parte. Reconstituirea semnalului se face prin afișarea succesivă a acestor fișii.

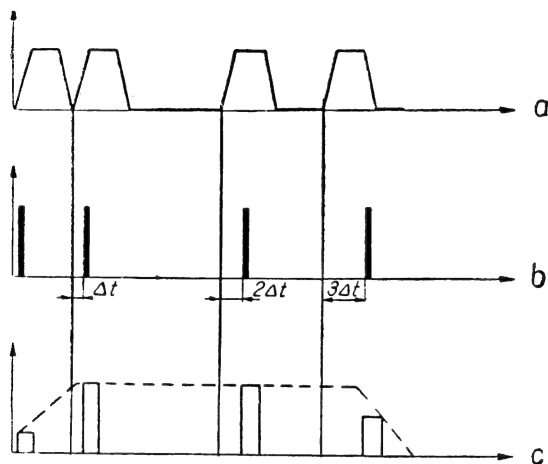


Fig. 3.4. Forme de undă la eșantionarea sem- nalelor.

În figura 3.5 este prezentată schema-bloc a unui astfel de osciloscop.

Semnalul investigat trebuie neapărat să se repete în timp sau să fie periodic. El este aplicat la intrarea unui circuit de intrare *CI* care permite unei părți din semnal să fie condusă la un circuit de pornire, triggerul *T*. Trigge- rul *T* poate fi comandat și din exterior, selecția modurilor de comandă fiind făcută cu ajutorul comutatorului *K*. Tensiunea de la ieșirea triggerului *T* declanșează baza de timp ultrarapidă *BT*, a cărei tensiune este aplicată apoi unui circuit de comparare *C*. Se observă că tensiunea în dinți de ferăstrău a bazei de timp nu se aplică direct sis- temului de deflexie pe orizontală.

Un bloc specific osciloscopului cu eșantionare este generatorul de tensiune în trepte *GT*. Circuitul de comparare *C* compară tensiunea în dinți de ferăstrău produsă de baza de timp *BT* cu tensiunea în trepte produsă de generatorul *GT*. În momentul când cele două tensiuni devin egale, circuitul *C* produce un impuls care se aplică cir-

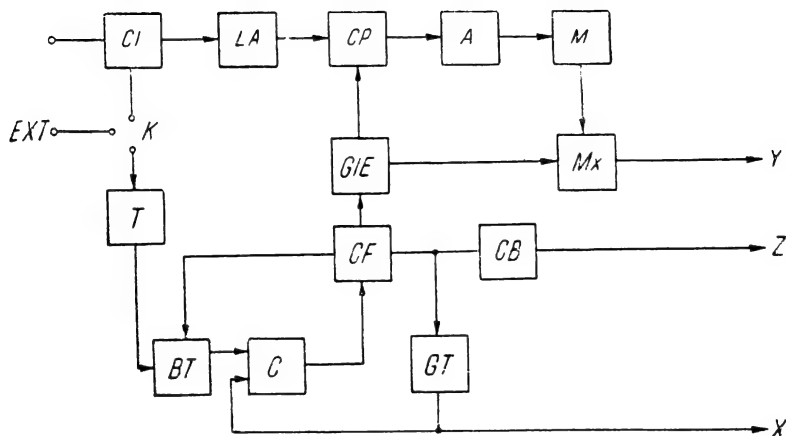


Fig. 3.5. Schema-bloc a osciloscopului de eșantionare.

cuitului de formare *CF*. Acest impuls are un rol esențial. El se aplică în patru blocuri ale osciloscopului și îl vom numi impuls principal. Aplicat bazei de timp, impulsul principal comandă revenirea acesteia la starea inițială — nedeclanșată. Impulsul principal se aplică la intrarea generatorului de tensiune în trepte, producând trecerea de la o treaptă la o alta cu tensiune mai mare. Dacă se aplică circuitului de blankare, acest impuls determină apariția unui alt impuls mai lat, care se aplică sistemului de modulație a spotului (axa *Z*) și care produce iluminarea spotului în timpul cursei utile. Impulsul principal se mai aplică blocului *GIE* (generatorul impulsurilor de eșantionare). Acest bloc produce la ieșire o serie de impulsuri care se deplasează în timp față de impulsul care comandă baza de timp și care se aplică unui circuit poartă *CP*, având rolul de a extrage din semnalul investigat fișile care contribuie la reconstituirea lui ulterioară. Semnalul

investigat ajunge la circuitul poartă după ce traversează o linie de întârziere necesară pentru a permite declanșarea corespunzătoare a bazei de timp. Fișile de semnal de la ieșirea circuitului poartă sînt amplificate în blocul *A*, care este un amplificator obișnuit cu banda de cîteva sute de kiloherți, și apoi stocate în memoria *M*, de unde, printr-un mixer *Mx*, se aplică sistemului de deflexie pe verticală. Se menționează că singurul bloc care lucrează efectiv în domeniul frecvențelor foarte înalte este generatorul impulsurilor de eșantionare.

În fig. 3.6 este prezentată schema circuitului poartă.

Dioda *D* este blocată cu ajutorul unei tensiuni de polarizare  $U_{pol}$ . Impulsurile de eșantionare se suprapun peste semnalul investigat. Dioda conduce numai în intervalul de timp cît durează impulsul de eșantionare încărcînd

condensatorul *C* pînă la o tensiune egală cu cea a semnalului investigat. La ieșirea circuitului poartă se obține astfel o succesiune de impulsuri a căror amplitudine este egală cu amplitudinea semnalului de intrare și a căror durată este egală cu durata impulsului de eșantionare. Întrucît impulsurile de eșantionare se succed cu o întârziere constantă unul față de celălalt, ele realizează o explorare a semnalului investigat.

În fig. 3.7 este prezentată schema comparatorului din osciloscopul OSA 601 (R.P. Polonă).

Comparatorul este un generator autoblocat

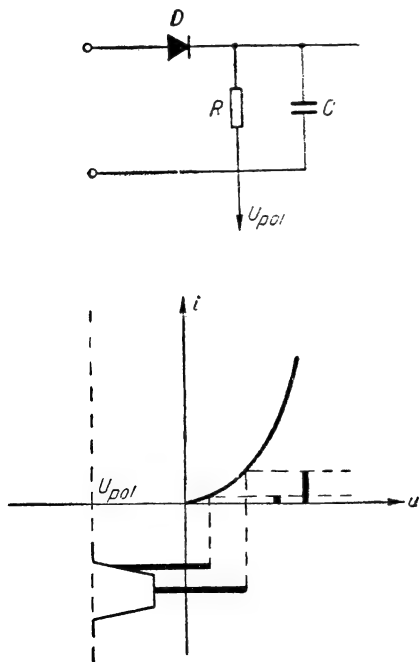


Fig. 3.6. Circuit poartă.

la intrarea căruia se aplică tensiunea  $U_1$  în dinți de ferăstrău, produsă de baza de timp, și tensiunea  $U_2$  în trepte, produsă de generatorul de tensiune în trepte. În momentul în care valoarea tensiunii  $U_1$  depășește valoarea tensiunii  $U_2$  generatorul autoblocat produce un im-

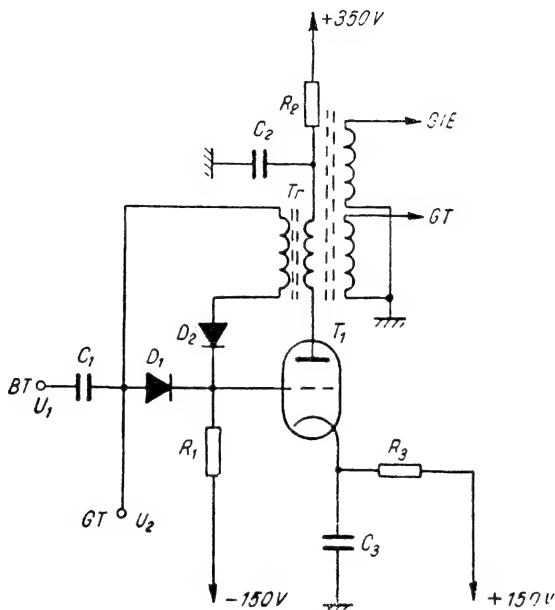


Fig. 3.7. Circuit comparator (OSA 601, R. P. Polonă).

puls foarte scurt. Dacă tensiunea  $U_2$  crește cu o treaptă, momentul declanșării generatorului  $T_1$  se decalează în timp cu  $t$ . Impulsurile pozitive din circuitul comparator sînt folosite apoi pentru comanda generatorului impulsurilor de eșantionare  $GIE$  și a generatorului de trepte  $GT$ . Se menționează că impulsurile luate din secundarele transformatorului  $Tr$  sînt trecute în prealabil prin cîte un multivibrator de formare.

Diagrama tensiunilor care apar în punctele principale ale schemei osciloscopului cu eșantionare este prezentată

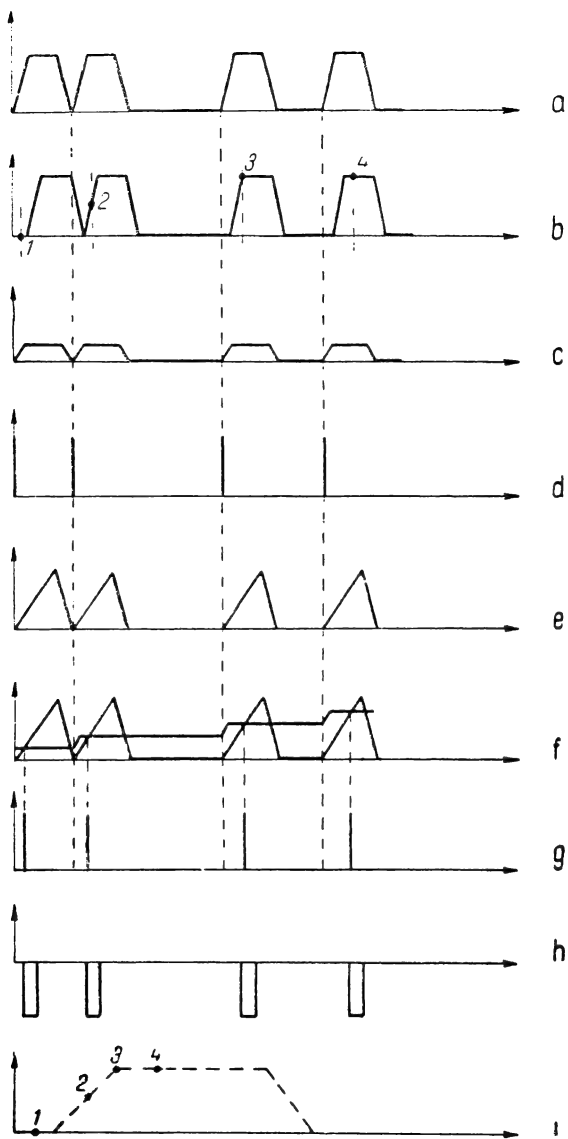


Fig. 3.8. Forme de undă în osciloscopul cu eșantionare.



în fig. 3.8. Semnalul de intrare (fig. 3.8, *a*) este întârziat cu 30—40 ns (fig. 3.8, *b*) pentru a permite declanșarea bazei de timp. Circuitul de intrare folosește o parte din semnal (fig. 3.8, *c*) pentru a produce la ieșirea circuitului trigger *T* impulsurile de declanșare a bazei de timp (fig. 3.8, *d*). Tensiunea în dinți de ferăstrău produsă de baza de timp (fig. 3.8, *e*) este comparată cu tensiunea în trepte (fig. 3.8, *f*). Impulsurile produse de comparator și circuitele de formare (fig. 3.8, *g*) declanșează circuitul de blankare (fig. 3.8, *h*). Forma impulsului amplificat și dilatat care apare pe ecranul osciloscopului este cea din fig. 3.8, *i*.

În rezumat, funcționarea osciloscopului cu eșantionare este următoarea: pe ecranul osciloscopului spotul stă nemășcat pînă la apariția primului impuls de la trigger care declanșează baza de timp. În momentul egalării tensiunii bazei de timp cu tensiunea generatorului de trepte, comparatorul generează impulsul care devine impuls de eșantionare. Impulsul de eșantionare deschide circuitul poartă și permite încărcarea condensatorului la valoarea instantanee a semnalului util. Eșantionul astfel obținut este amplificat și dilatat, iar apoi aplicat sistemului de deflexie pe verticală, provocînd deplasarea verticală a spotului și apariția primului punct care va reconstrui imaginea inițială. După revenirea spotului la starea inițială procesul se reia, dar decalat în timp de către treapta de tensiune

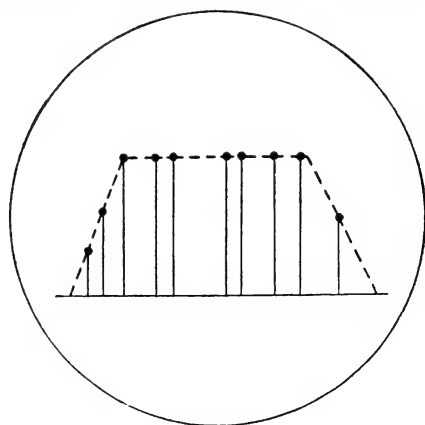


Fig. 3.9. Imaginea pe ecranul osciloscopului cu eșantionare.

a generatorului de tensiune în trepte. Pe ecran, noua deplasare pe verticală se va face pe o linie paralelă cu prima linie și pînă la o înălțime depinzînd de a doua valoare instantanee a semnalului util. Se obține astfel al doilea punct luminos (fig. 3.9).

Numărul punctelor luminoase din care se compune imaginea poate fi modificat, după dorință, între 10 și 1 000 pe centimetru. Folosirea unor tuburi catodice cu ecrane cu persistență mare permite observarea unor fenomene a căror frecvență de repetiție se poate micșora pînă la aproximativ 10 Hz.

#### 4.1. CALIBRAREA OSCILOSCOPULUI

Măsurarea cantitativă a tensiunilor impune calibrarea osciloscopului. Prin această calibrare se înțelege stabilirea cu precizie a numărului de volți pe care îi va reprezenta o diviziune a ecranului osciloscopului (de obicei 1 cm). Tensiunea de calibrare poate fi luată din exterior de la un generator de tensiune sau din interior, de la blocul de calibrare a amplitudinii (v. § 2.6). Tensiunea de calibrare se măsoară cu un alt instrument de precizie și se aplică apoi la bornele de intrare ale amplificatorului de deflexie pe verticală. Cu ajutorul atenuatorului din circuitul de intrare se stabilesc dimensiunile imaginii astfel încât să se permită o citire cât mai precisă. De menționat că, suprafața în care imaginea este nedeformată este mai mică decât întreaga suprafață a ecranului. La marginile ecranului pot apărea distorsionări ale imaginii. Din acest motiv este indicat să se citească în prospectul osciloscopului dimensiunile suprafeței utile a ecranului. În cazul folosirii tensiunii interne de calibrare, potențiometrul pentru reglajul fin al amplificării trebuie rotit în poziția extremă corespunzătoare indicației CALIBRARE. De la borna IESIRE CAL. impulsurile de calibrare sînt aplicate la intrarea amplificatorului de deflexie pe verticală cu ajutorul unui cablu exterior.

## 4.2. MĂSURAREA TENSIUNILOR SINUSOIDALE

Tensiunea investigată se aplică la borna de intrare a amplificatorului de deflexie pe verticală cu ajutorul unui cablu ecranat. Comutatorul tensiuni alternative-tensiuni continue se pune în poziția tensiuni alternative. Atenuatorul de intrare se comută în poziția în care imaginea ocupă cel mai bine suprafața utilă a ecranului. Comutatorul bazei de timp se așază într-o poziție care permite observarea a citorva cicluri ale sinusoidei, după preferință. În poziția *CALIBRAT* a potențiometrului reglajului fin al amplificării pe orizontală se poate aprecia frecvența semnalului cercetat. În funcție de frecvența tensiunii investigate se alege cel mai convenabil mod de sincronizare (v. § 2.4).

## 4.3. MĂSURAREA IMPULSURILOR DE TENSIUNE

Studiul proceselor sub formă de impulsuri formează cel mai larg domeniu de utilizare a osciloscopului. Se consideră cele două impulsuri din fig. 4.1. Un voltmetru electronic va indica în ambele cazuri aceeași tensiune medie.

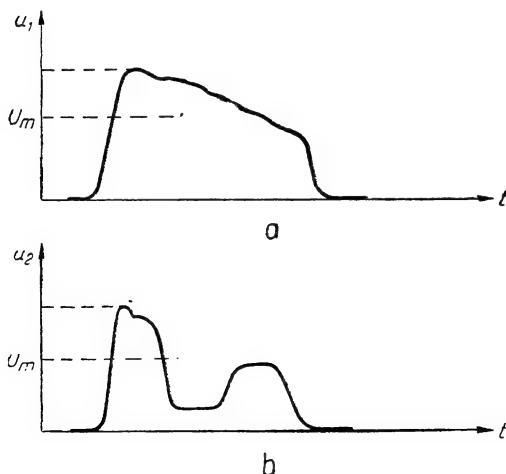
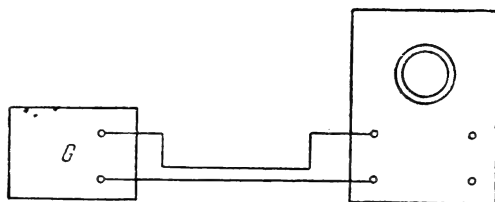


Fig. 4.1.  
Forme  
de impulsuri.

Osciloscopul însă pune în evidență deosebirile esențiale care există între cele două cazuri. Se pot observa amplitudinile frontului anterior și ale frontului posterior pentru monoimpulsul din fig. 4.1, *a* și pentru cele două impulsuri din fig. 4.1, *b*. Deși eroarea este mai mare în

Fig. 4.2. Schemă pentru măsurarea impulsurilor de tensiune.



cazul măsurării cu osciloscopul, informațiile căpătate despre forma impulsurilor au uneori importanță determinantă. Schema de măsurare este arătată în fig. 4.2.

Pentru impulsurile cu durate mai mari de aproximativ  $100 \mu s$  și care se repetă periodic, baza de timp poate fi folosită în regim de funcționare continuă. Pentru aceasta comutatorul modului de lucru se pune de exemplu în poziția *AUTO*. Impulsurile care apar o singură dată pot fi observate pe osciloscop care posedă bază de timp cu o singură cursă (ex. OK 17 M, U.R.S.S.) și, de obicei, imaginile trebuie fotografiate. În cazul impulsurilor mai scurte și în special al fronturilor anterioare abrupte, baza de timp este sincronizată cu semnalul investigat. Pentru a da posibilitatea declanșării bazei de timp, înainte de a ajunge pe plăcile de deflexie pe verticală, impulsurile

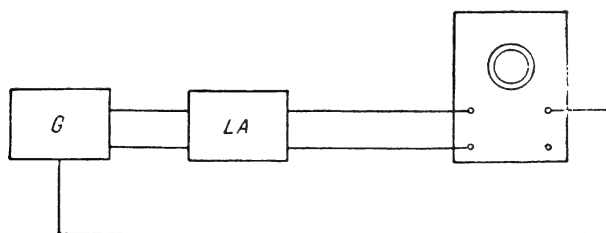


Fig. 4.3. Schemă pentru măsurarea impulsurilor de tensiune.

sînt întîrziate cu ajutorul unei linii de întîrziere interne sau ca în fig. 4.3, cu ajutorul unei linii de întîrziere externe. Ca și în cazul măsurării tensiunilor sinusoidale se face o calibrare prealabilă a osciloscopului.

#### 4.4. MĂSURAREA DURATEI IMPULSURILOR

Pentru măsurarea duratei impulsurilor de folosește blocul de calibrare a duratei (v. § 2.7). Dacă însă osciloscopul are două canale, pe unul dintre ele se poate aplica o tensiune cu frecvența cunoscută, iar pe celălalt impulsul investigat. Din compararea celor două imagini se poate determina lungimea în timp a impulsului (fig. 4.4).

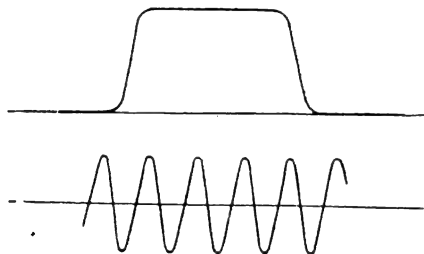


Fig. 4.4. Schemă pentru măsurarea duratei impulsurilor.

Blocul de calibrare a duratei produce o modulare a impulsului investigat. Imaginea lui apare astfel formată din linii întrerupte, ca în fig. 4.5.

Numărul de fragmente determină durata impulsului. În poziția CAL a potențiometrului reglajului amplificării pe orizontală baza de timp este calibrată. Cunoscîndu-se numărul de submultipli ai secunde pe centimetru (ex.  $\mu\text{s}/\text{cm}$ ) se poate determina durata impulsului după nu-



Fig. 4.5. Imaginea impulsului modulat.

mărul de diviziuni ale ecranului pe direcția orizontală (fig. 4.6).

Prin această metodă se poate determina și frecvența de repetiție a impulsurilor. Se alege o poziție convenabilă

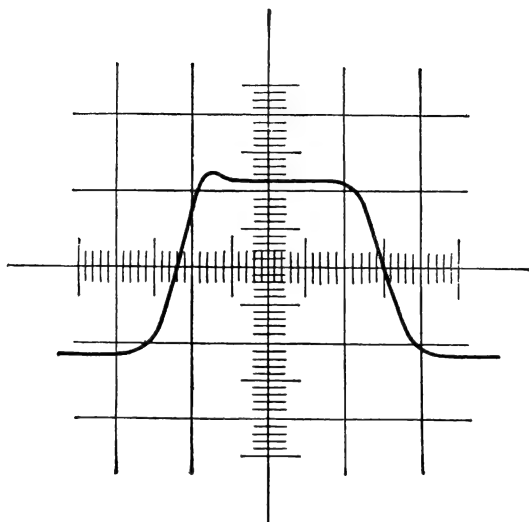


Fig. 4.6. Impuls de tensiune.

a comutatorului timp/cm, astfel ca pe ecran să apară cel puțin două impulsuri (fig. 4.7).

Măsurînd distanța dintre impulsuri se determină frecvența de repetiție.

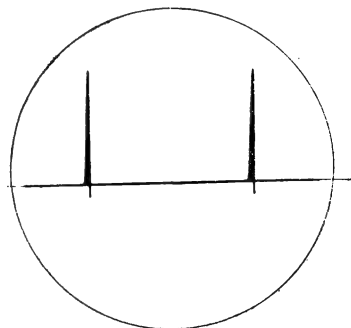


Fig. 4.7. Forme de undă la măsurarea frecvenței de repetiție.

#### 4.5. MĂSURAREA PUTERII ELECTRICE

O metodă simplă pentru măsurarea puterii electrice se bazează pe aplicarea simultană a tensiunii la intrarea amplificatorului de deflexie pe orizontală și a curentului la intrarea amplificatorului de deflexie pe verticală, așa

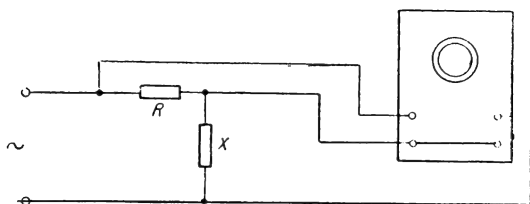


Fig. 4.8. Schemă pentru măsurarea puterii electrice.

cum se arată în fig. 4.8. Se observă că tensiunea de la bornele consumatorului de putere se aplică direct sistemului de deflexie pe orizontală, iar curentul este trecut printr-o rezistență cunoscută, calibrată și neinductivă. Tensiunea la bornele acestei rezistențe este proporțională cu curentul consumat și se aplică sistemului de deflexie pe verticală. Dacă cele două tensiuni sînt sinusoidale se obține o linie înclinată ca în fig. 4.9. Aria celor două triunghiuri  $ABC + CDE$  este proporțională cu puterea consumată. Osciloscopul trebuie să dispună de un sistem de

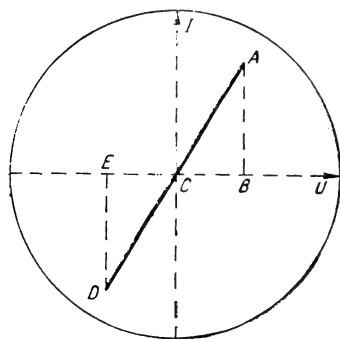


Fig. 4.9. Imagine în cazul măsurării puterii electrice.



calibrare a amplitudinii și de o rețea gradată de linii pe suprafața ecranului. Cunoșcînd numărul de volți pe centimetru corespunzător celor două direcții, se poate determina cu ușurință valoarea puterii consumate. Dacă tensiunea și curentul nu sînt în fază, pe ecran apare o elipsă, iar puterea se calculează făcînd produsul celor două deviații maxime în direcția orizontală și verticală.

#### 4.6. MĂSURAREA DEFAZAJELOR

Cînd între cele două tensiuni de măsurat apar defazaje, folosind montajul din fig. 3.8, se obține pe ecran o elipsă. Punctul de pe ecran în care elipsa intersectează axa orizontală determină valoarea defazajului cu ajutorul relației  $\sin \varphi = AB/AC$  (fig. 4.10).

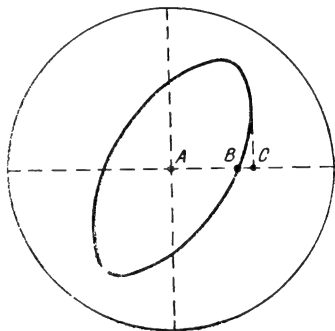


Fig. 4.10. Imagine în cazul măsurării puterii electrice (tensiuni defazate).

Pentru anumite valori ale unghiului de defazaj se obțin imagini caracteristice (fig. 4.11). Este important sensul de parcurgere de către spot a imaginilor respective (două imagini identice însă parcurse în sensuri contrare conduc la unghiuri de defazaj diferite).

#### 4.7. MĂSURAREA FRECVENȚEI

Una dintre cele mai cunoscute metode de măsurare a frecvențelor este aceea a figurilor Lissajoux. Schema de măsurare este arătată în fig. 4.12.

Cînd între frecvența necunoscută  $f_v$  și frecvența de referință  $f_h$  există un raport apropiat de unitate, pe ecran se obțin imagini ca în fig. 4.13. Se observă că numărul de bucle determină raportul căutat. Dacă raportul celor

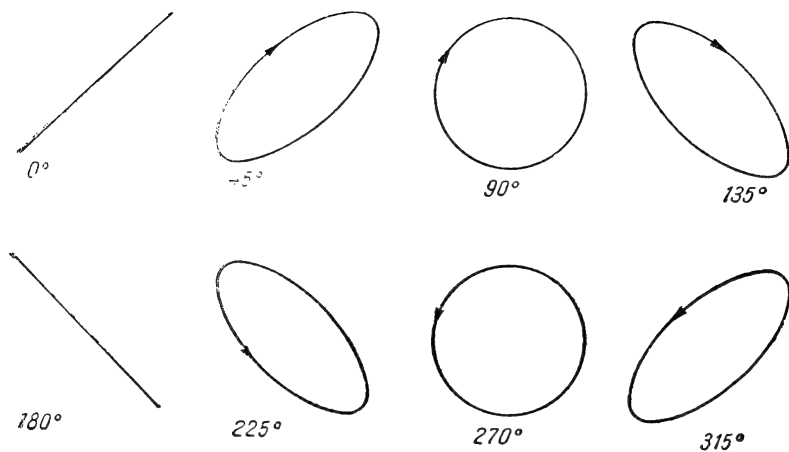


Fig. 4.11. Imagine în cazul unghiurilor diferite de defazaj.

două frecvențe nu este un număr rațional spotul descrie o mișcare aperiodică.

Practic, frecvența de referință se ia de la un generator de tensiune cu frecvența variabilă și cunoscută. Se variază frecvența de referință pînă cînd pe ecran se obține una dintre imaginile din fig. 4.13. Cînd raportul

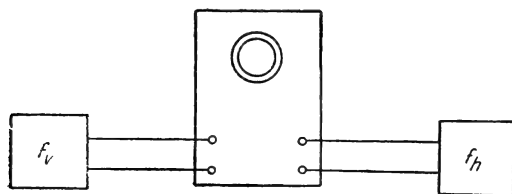


Fig. 4.12. Măsurarea frecvenței cu ajutorul figurilor Lissajoux.

celor două frecvențe este mult diferit de unitate se folosește metoda ilustrată în fig. 4.14. Între generatorul de tensiune cu frecvența cunoscută și intrarea amplificatorului de deflexie pe verticală s-a intercalat un circuit  $RC$ . Acest circuit introduce un defazaj care poate fi reglat la

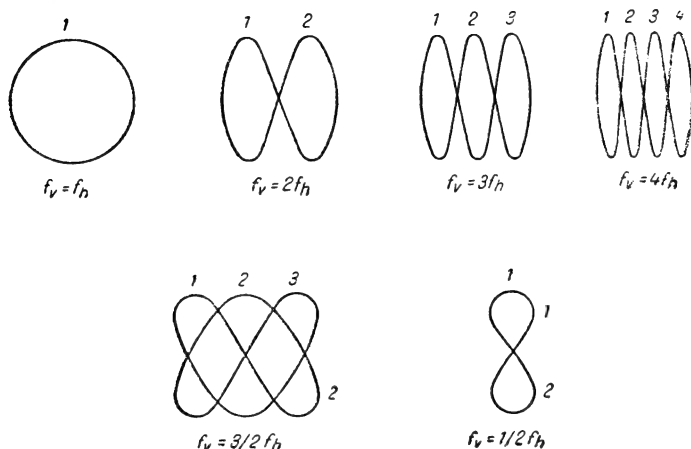


Fig. 4.13. Figuri Lissajoux.

valoarea de  $90^\circ$  și care produce apariția unui cerc pe ecran. Tensiunea cu frecvență necunoscută se aplică la intrarea amplificatorului de deflexie pe orizontală și produce modularea cercului. Se obține o imagine ca în

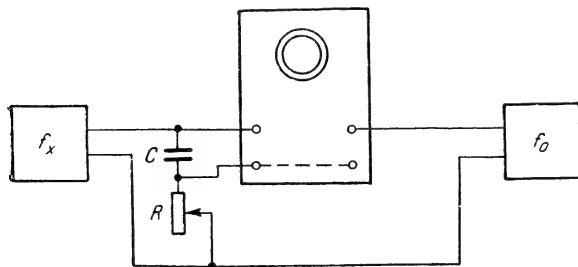


Fig. 4.14. Schemă pentru măsurarea frecvenței.

fig. 4.15, unde numărul de ondulații indică raportul celor două frecvențe.

În fig. 4.16 este prezentată o schemă de măsurare a frecvenței care folosește o bază circulară și modularea spotului.

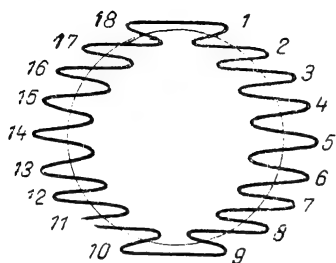


Fig. 4.15. Imagine în cazul măsurării frecvenței.

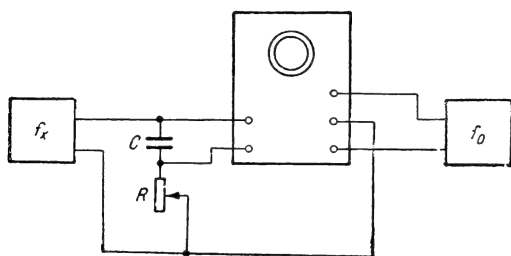


Fig. 4.16. Schemă pentru măsurarea frecvenței.

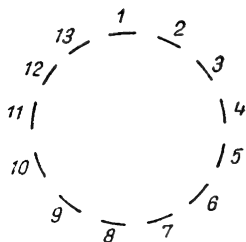


Fig. 4.17. Imagine în cazul măsurării frecvenței.

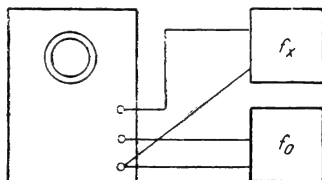


Fig. 4.18. Schemă pentru măsurarea frecvenței.

Semnalul cu frecvența cunoscută determină cu ajutorul circuitului defazor apariția pe ecran a unui cerc. Tensiunea cu frecvența necunoscută aplicată sistemului de modulare a spotului (v. § 2.8) determină apariția pe ecran a unei imagini ca în fig. 4.17.

Numărul de porțiuni luminoase indică raportul frecvențelor. O variantă a acestei metode este prezentată în fig. 4.18.

#### 4.8. OSCILOSCOPUL CA INDICATOR DE NUL

Punțile pentru măsurarea rezistențelor, inductanțelor și condensatoarelor lucrează de obicei în curent alternativ. Acordarea punților este determinată de valoarea minimă a acestui curent. Curentul de echilibru se numește curent de zero, iar aparatul pentru determinarea lui se numește indicator de nul. Osciloscopul permite observarea mai clară a momentului în care se realizează echilibrul punții. Pentru folosirea osciloscopului ca indicator de nul se leagă intrarea acestuia la bornele punții. Frecvența generatorului de baleiaj se stabilește la o valoare reprezentând  $1/5$ — $1/10$  din valoarea frecvenței punții. Se poate lucra și fără baleiaj dacă se consideră suficientă observarea deviației pe verticală a osciloscopului. Se conectează apoi la punte elementul de măsurat și se aplică tensiunea de alimentare. Atenuatorul de intrare și potențiometrul de reglaj fin al amplificării se pun în poziții corespunzătoare, care să permită obținerea pe ecran a unei imagini ocupînd cît mai bine suprafața acestuia. Operația de reglare a punții în vederea obținerii echilibrului se face simultan cu creșterea sensibilității osciloscopului (prin trecerea atenuatorului de intrare pe poziții de sensibilitate din ce în ce mai mare). Echilibrul este atins în momentul în care imaginea pe ecran este minimă.

Dacă la intrarea amplificatorului de deflexie pe orizontală se aplică tensiunea care alimentează puntea, iar la intrarea amplificatorului de deflexie pe verticală se aplică tensiunea de dezechilibru a punții, atunci pe ecran va apărea o elipsă (fig. 4.19, *a*). Dacă tensiunea de dezechili-

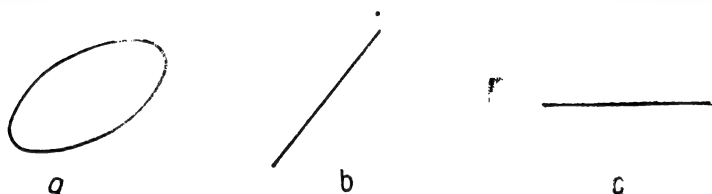


Fig. 4.19. Imagine în cazul măsurărilor cu puntea.

libru este în fază cu tensiunea de alimentare se obține imaginea din fig. 4.19, *b*. La atingerea curentului de zero pe ecran se obține imaginea din fig. 4.19, *c*.

#### 4.9. VERIFICAREA AMPLIFICATOARELOR DE JOASĂ FRECVENȚĂ

În fig. 4.20 este prezentată schema amplificatorului de joasă frecvență din aparatul de radio ROSSINI 5801 (R.D.G.).

Verificarea schemei se poate face cu ajutorul unui generator de audiofrecvență și a unui osciloscop. Se realizează un montaj ca în fig. 4.21. Tensiunea generatorului se aplică la intrarea amplificatorului. Valoarea acestei tensiuni nu trebuie să depășească aproximativ 1 V în poziția *PICK-UP* și aproximativ 0,1 V în poziția *MICROFON*. Comutatorul *K* permite observarea succesivă a tensiunii aplicate la intrare și a tensiunii de ieșire. Potentiometrul *P* servește la micșorarea tensiunii de ieșire pînă la valoarea tensiunii de intrare. În acest mod, pe ecran cele două imagini au dimensiuni comparabile. În locul lui *K* poate fi folosit un comutator electronic separat. Folosirea unui osciloscop cu două canale permite de asemenea observarea simultană a semnalului de intrare și a celui de ieșire. Din comparația celor două semnale se pot face aprecieri asu-

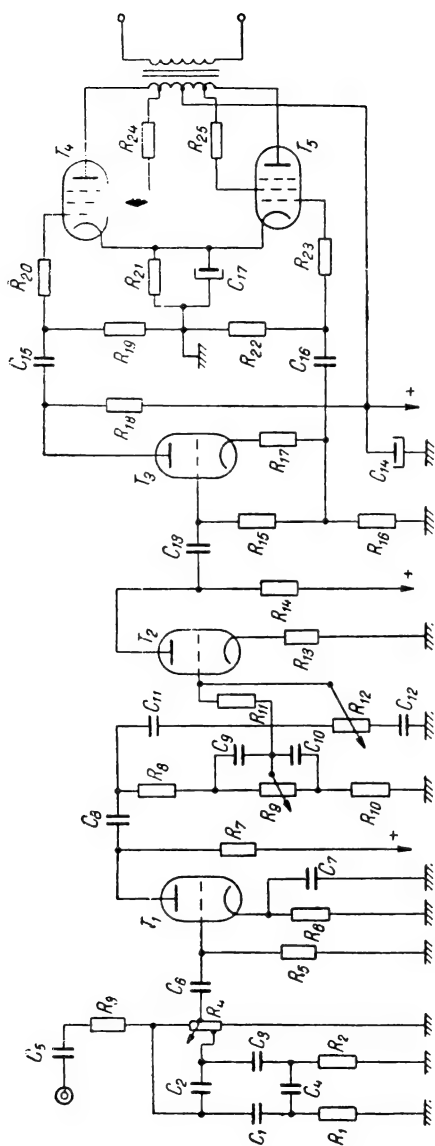


Fig. 4.20. Amplificator de joasă frecvență (Rossini 5801, R.D.G.).

pra amplificatorului. În general, ochiul nu poate distinge abateri de la forma inițială de ordinul a 7—10%.

Dacă semnalul folosit la intrare este sinusoidal (fig. 4.22, *a*) la ieșire pot apărea forme de undă ca în fig. 4.22, *b*, *c*, *d*. Deformarea semiperioadelor negative

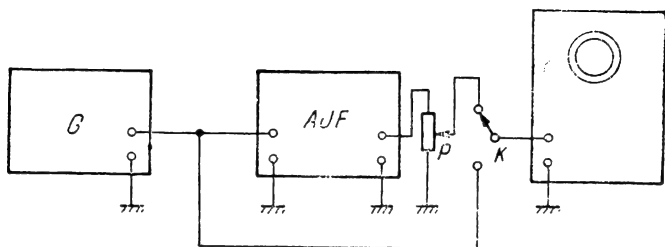


Fig. 4.21. Schemă pentru verificarea etajelor de joasă frecvență.

(fig. 4.22, *b*) poate apărea datorită unei negativări prea puternice a primelor tuburi sau din cauza unor tensiuni anodice și de ecran prea mici. Limitarea semnalului în ambele părți (fig. 4.22, *c*) poate fi provocată de supraîncărcarea primului tub. Distorsiunile (fig. 4.22, *d*) pot apărea în etajul final în contratimp din cauza unei negativări

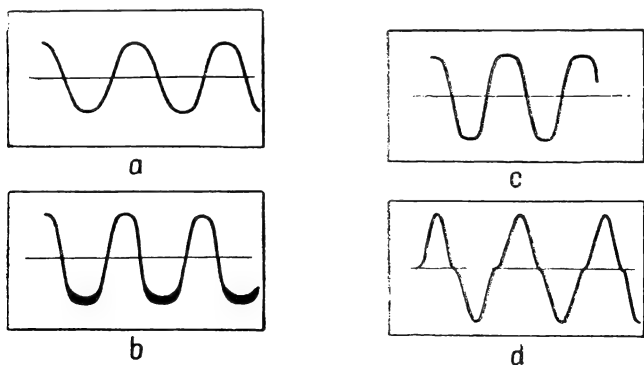


Fig. 4.22. Forme de undă în cazul aplicării de semnale sinusoidale în scheme de joasă frecvență.



necorespunzătoare. Pentru studierea comportării amplificatorului în toată banda de frecvențe este nevoie ca frecvența generatorului de semnal să fie variată în mod continuu.

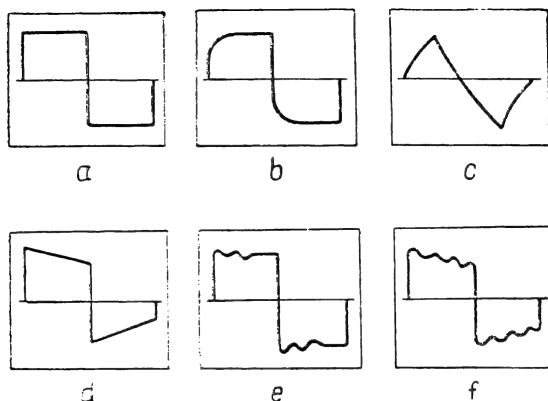


Fig. 4.23. Forme de undă în cazul aplicării de semnale dreptunghiulare în scheme de joasă frecvență.

Dacă la intrare se aplică o tensiune sub formă de impulsuri dreptunghiulare (fig. 4.23, *a*) la ieșire pot apărea forme de undă ca în fig. 4.23, *b*, *c*, *d*, *e*, *f*.

Folosirea impulsurilor dreptunghiulare are avantajul că întreaga bandă de frecvențe a amplificatorului poate fi explorată doar cu două tensiuni dreptunghiulare cu frecvențe fixe diferite (ex. 50 Hz și 2 kHz). Metoda este mai rapidă, dar nu dă decât informații de natură calitativă. Deformarea semnalului ca în fig. 4.23, *b*, *c* arată o scădere a amplificării în domeniul frecvențelor înalte și o creștere a defazajelor (fig. 4.23, *d*) indică o scădere a amplificării în domeniul frecvențelor joase. Formele de undă din fig. 4.23, *e*, *f* indică prezența unor circuite care oscilează. De menționat că toate aceste măsurări se fac cu potențiometrele  $R_9$  și  $R_{12}$ , care controlează tonul în pozițiile corespunzătoare domeniului cel mai larg de frecvențe.

Un alt mijloc pentru observarea distorsiunilor este folosirea montajului din fig. 4.24. Pe ecran pot apărea ca în fig. 4.25. Imaginea din fig. 4.25, *a* indică absența distorsiunilor, imaginea din fig. 4.25, *b* — o suprasarcină,

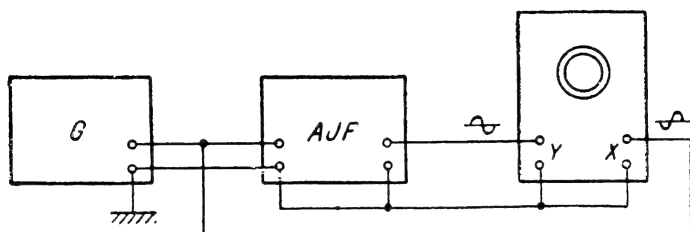


Fig. 4.24. Montaj pentru măsurarea distorsiunilor.

iar cea din fig. 4.25, *c* prezența unor defazaje și a unei neliniarități în amplitudine.

Măsurarea zgomotului propriu al amplificatorului se poate face cu un montaj ca în fig. 4.26.

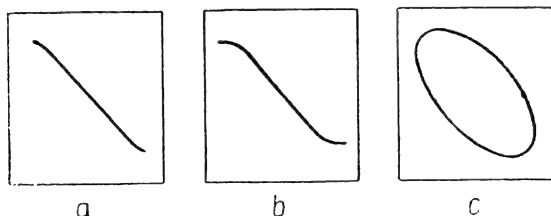


Fig. 4.25. Imagini indicînd distorsiuni ale semnalului.

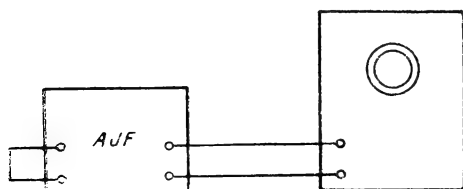


Fig. 4.26. Montaj pentru măsurarea zgomotului propriu al amplificatoarelor.

#### 4.10. ALINIAREA RADIORECEPTOARELOR. SELECTOGRAFUL

Pentru obținerea unei caracteristici de frecvență prescrise, toate receptoarele au circuite acordate reglabile. Procesul de ajustare a circuitelor acordate se numește aliniere. În cazul receptoarelor cu modulație de amplitu-

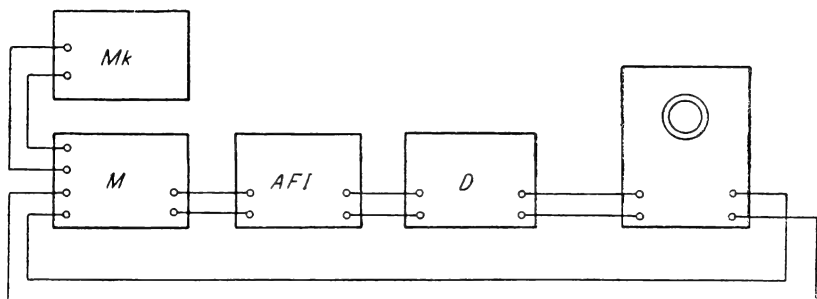


Fig. 4.27. Montaj pentru alinierea amplificatoarelor de frecvență intermediară.

dine alinierea se începe cu acordarea filtrului ultimului etaj amplificator de frecvență intermediară.

În fig. 4.27 este prezentată schema unui montaj pentru acordarea etajelor de frecvență intermediară. Modulatorul de frecvență  $M$  este un generator de tensiune cu amplitudine constantă, dar a cărei frecvență variază în jurul unei frecvențe centrale după o lege cunoscută. Atât frecvența centrală, cât și deviația de frecvență, pot fi reglate. Frecvența centrală se fixează la valoarea cunoscută a frecvenței intermediare a receptorului. Se reglează o deviație de frecvență de aproximativ 30 kHz, care să acopere toată curba de rezonanță. Tensiunea modulatorului de frecvență se aplică pe grila ultimului etaj amplificator de frecvență intermediară. Intrarea amplificatorului de deflexie pe verticală se leagă la ieșirea detectorului  $D$ . Pe ecranul osciloscopului se obține curba de răspuns a etajului, ca în fig. 4.28.

Circuitul de marcare  $Mk$  are rolul de a preciza pe curba de răspuns locul frecvenței centrale. Pentru acordarea celorlalte circuite este nevoie de o sondă detectoare (fig. 4.29).

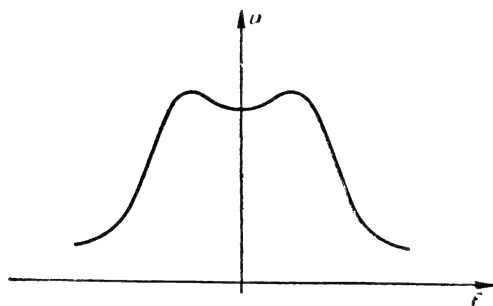


Fig. 4.28. Curbă de răspuns amplitudine-frecvență.

În cazul receptoarelor cu modulație de frecvență detecția se face cu ajutorul unui discriminator. Caracteristica de frecvență a discriminatorului este prezentată în fig. 4.30.

Montajul pentru alinierea discriminatorului este prezentat în fig. 4.31.

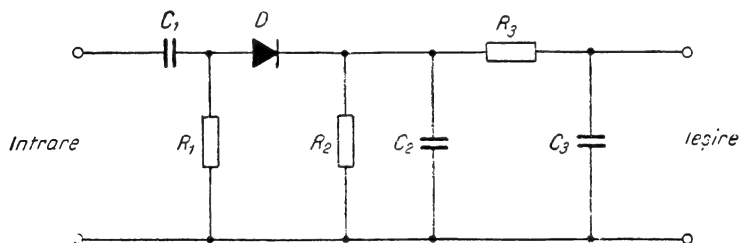
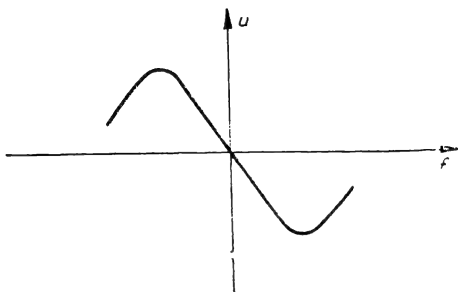


Fig. 4.29. Schemă de sondă detectoare.

Circuitele discriminatorului se acordează pe frecvența intermediară, care, de obicei, are valoarea de 10,7 MHz. Tensiunea modulatorului de frecvență se aplică tubului limitator, iar deviația de frecvență se reglează în jurul a 200 kHz. Celelalte etaje se aliniază de la receptorul cu modulație în amplitudine.

Un aparat special destinat observării caracteristicilor de frecvență ale cuadripolilor și, în particular, pentru alinierea receptoarelor este selectrograful. El cuprinde un modulator de frecvență, un detector și un osciloscop (fig. 4.32).

Fig. 4.30. Caracteristica discriminatorului.



Tensiunea în dinți de ferăstrău creată de baza de timp  $BT$  a osciloscopului este utilizată și pentru modularea în frecvență a oscilatorului de înaltă frecvență  $O$ . Tensiunea astfel modulată este aplicată circuitului investigat  $Rec$ , de la ieșirea căruia semnalul obținut se aplică unui de-

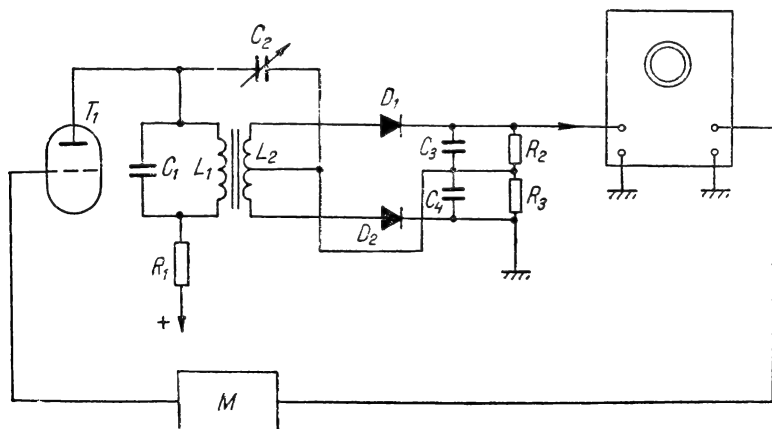


Fig. 4.31. Schemă pentru alinierea discriminatorului.

lector  $D$  și apoi unui amplificator  $A$ . Cu ajutorul unui comutator se poate obține modificarea frecvenței centrale. Benzile de frecvență rezultate sînt cuprinse, de exemplu, între 100 kHz și 100 MHz.

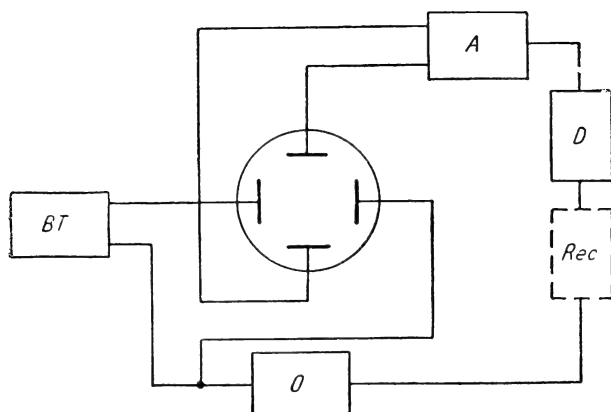


Fig. 4.32. Schema-bloc a selectografului.

#### 4.11. VERIFICAREA TELEVIZOARELOR

Marea varietate de televizoare existente nu dă posibilitatea indicării precise a formelor de undă caracteristice diferitelor blocuri. Aproape fiecare descriere a schemei electrice conține însă un tabel cu formele de undă caracteristice în cele mai importante puncte ale televizorului. În general, majoritatea acestor forme de undă au aspectul unor impulsuri nesinusoidale, a căror frecvență de repetiție este cuprinsă între 50 Hz și aproximativ 20 kHz. Din acest motiv este indicată folosirea unui osciloscop cu banda mai largă de 1 MHz și cu o sensibilitate de ordinul a 100 mV/cm. Conectarea osciloscopului cu circuitele testate se face cu ajutorul unui cablu coaxial sau ecranat.

Verificarea amplificatorului de videofrecvență se poate face cu un generator de impulsuri dreptunghiulare sau folosind semnalele postului de televiziune. Impulsurile

generatorului cu o amplitudine de 1—2 V și cu o frecvență de repetiție de 50 Hz se aplică pe grila primului tub al amplificatorului de videofrecvență, ca în fig. 4.33.

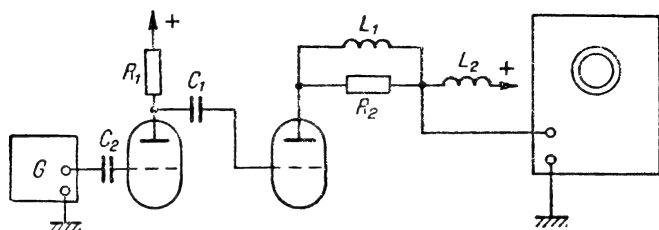


Fig. 4.33. Schemă pentru verificarea amplificatorului de video-frecvență.

Amplificatorul de videofrecvență poate produce deformarea tensiunii inițiale (fig. 4.34, a). O tensiune de forma celei din fig. 4.34, b obținută la ieșire indică prezența unor defazaje și scăderea amplificării în domeniul frecvențelor joase. Supracompensarea frecvențelor joase are ca efect distorsiunea de forma celei din fig. 4.34, c. O deformare nesimetrică (fig. 4.34, d) sugerează prezența unor distorsiuni de neliniaritate ale amplitudinii. Acestea pot fi produse de o plasare necorespunzătoare a punctului de

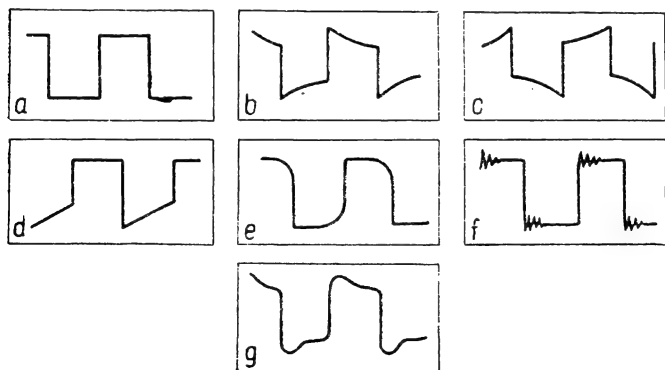


Fig. 4.34. Forme de undă la amplificatorul de videofrecvență.

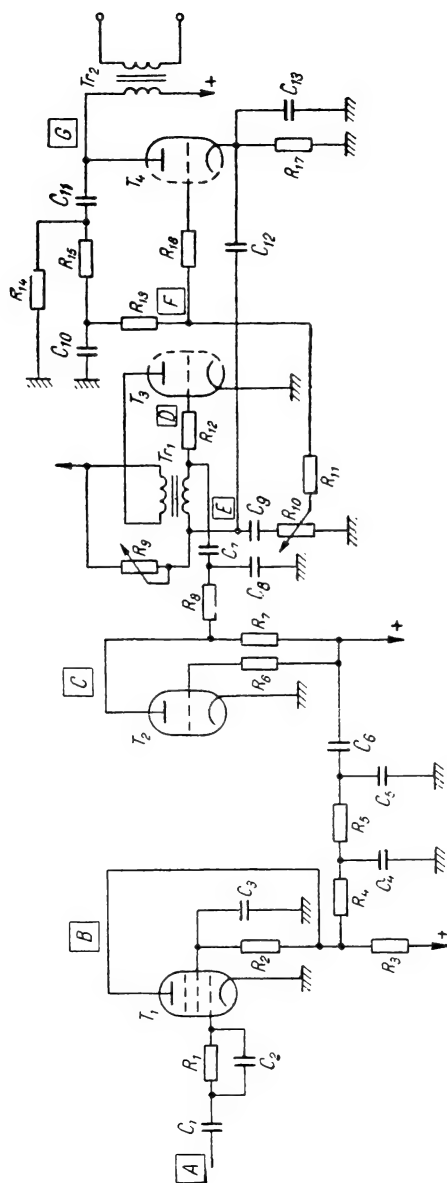


Fig. 4.35. Schema generatorului de baleiaj pe verticală (televizorul Azur VS 43-621, R.S.R.).



funcționare a tubului sau de micșorarea tensiunii anodice sau de ecran.

Pentru verificarea funcționării în domeniul frecvențelor înalte se folosește un semnal cu frecvența de repetiție de 25 kHz, de la același generator. Distorsiunea din fig. 4.24, *e* se datorește atenuării frecvențelor înalte. Supracompensarea frecvențelor înalte are ca efect apariția tensiunii de forma celei din fig. 4.24, *f*, care produce pe ecranul televizorului linii verticale subțiri. Deformările de forma celor din fig. 4.24, *g* sînt specifice căderii caracteristicii amplificatorului în domeniul frecvențelor mijlocii și are ca efect apariția unor umbre albe la trecerile de la alb la negru ale imaginii.

Verificarea generatoarelor de baleiaj impune folosirea unor divizoare rezistive din cauza tensiunilor mari care apar. Se verifică forma tensiunilor pe grilele generatorului autoblocat sau ale multivibratorului (în funcție de schemă), pe grilele de comandă ale tuburilor de ieșire și, în sfîrșit, pe bobinele de deflexie. În fig. 4.35 este prezentată, spre exemplificare, schema generatorului de baleiaj pe verticală împreună cu separatorul de impulsuri de sincronizare din televizorul Azur VS 43-621.

De la ieșirea amplificatorului de videofrecvență semnalul (*A* în fig. 4.36) se aplică în punctul *A*, la intrarea separatorului de sincroimpulsuri. Tubul  $T_1$  asigură extragerea sincroimpulsurilor din semnalul video, astfel că în

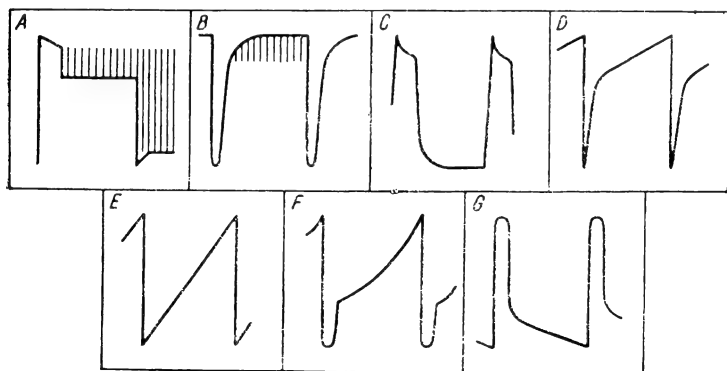


Fig. 4.36. Forme de undă în televizorul Azur VS 43-621.

anodul lui tensiunea este de forma *B*. Semnalele de sincronizare pe verticală sînt separate după durată printr-un proces de dublă integrare cu ajutorul celulelor  $R_4$ ,  $C_4$  și  $R_5$ ,  $C_5$ . Trioda  $T_2$  asigură o amplificare și o limitare. În anodul lui  $T_2$  se obține o tensiune de forma *C*. Generatorul de baleiaj funcționează cu tuburile  $T_3$  și  $T_4$ . Tubul  $T_3$  funcționează în schemă de generator autoblocat comandat cu impulsurile de sincronizare. Transformatorul  $Tr_1$  asigură reacția, iar frecvența oscilațiilor este dată de  $R_9$ ,  $C_8$ ,  $C_{11}$ . În grila lui  $T_3$  tensiunea are forma *D*. Pe condensatorul de încărcare  $C_{11}$  se obține tensiunea în dinți de ferăstrău (*E*). În grila amplificatorului format din tubul  $T_4$  se obține tensiunea de forma *F*, iar în anodul lui  $T_4$  de forma *G*. Componenta pozitivă parabolică a tensiunii din punctul *G* este necesară pentru obținerea unei variații liniare a curentului în bobina de deflexie.

În fig. 4.37 este prezentată schema generatorului de baleiaj pe orizontală din televizorul MIRAJ.

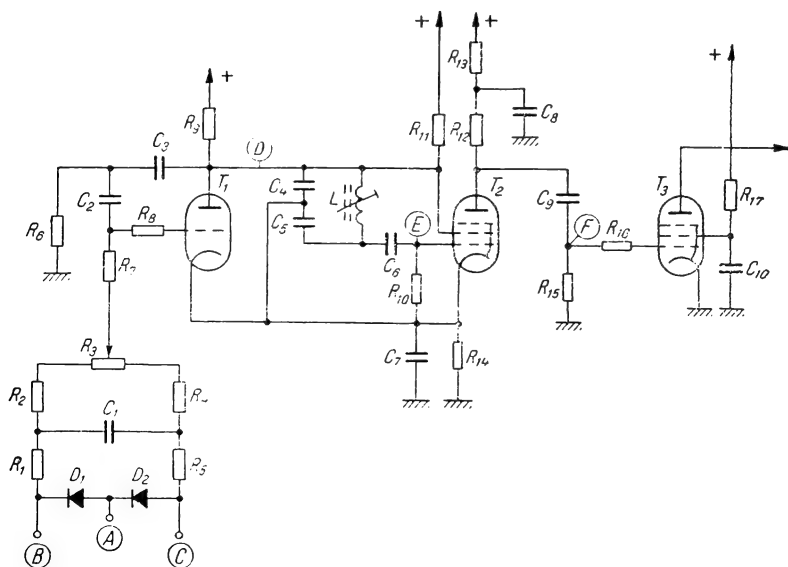


Fig. 4.37. Schema generatorului de baleiaj pe orizontală (televizorul Miraj, R.S.R.).

Impulsurile de sincronizare (A în fig. 4.38) sînt aplicate comparatorului de fază. Punctele B și C sînt conectate prin circuite R, C cu înfășurarea transformatorului care produce tensiunea de deflexie pe orizontală. În situațiile în care apare desincronizare, comparatorul de fază

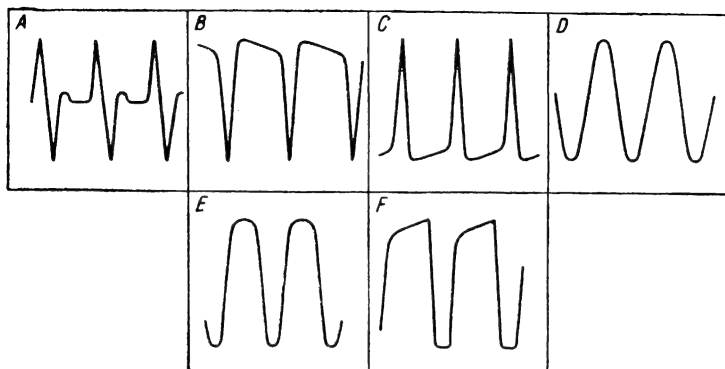


Fig. 4.38. Forme de undă în televizorul Miraj.

determină apariția unei polarizări pe grila tubului  $T_1$ . Trioda  $T_1$  funcționează ca tub de reactanță. Capacitatea echivalentă a acestui montaj intervine în circuitul oscilant al oscilatorului format din tubul  $T_2$ . În anodul lui  $T_1$  se obține o tensiune de forma D. Variația reactanței tubului  $T_1$  produce variația frecvenței circuitului oscilant. În grila tubului  $T_2$  se va obține forma de undă E. Oscilațiile sinusoidale produse de  $T_2$  sînt transmise etajului final format de tubul  $T_3$ . Tensiunea în dinte de ferăstrău se formează cu ajutorul circuitului  $R_{12}$ ,  $C_8$ ,  $R_{13}$ . În grila de comandă a etajului final se obține o tensiune de forma F.

#### 4.12. RIDICAREA CARACTERISTICILOR TUBURILOR ȘI TRANZISTOARELOR. CARACTERIOGRAFUL

Ridicarea caracteristicilor punct cu punct este incomodă și cere mult timp. În plus, această metodă nu permite trasarea caracteristicilor în zone în care se depășește puterea de disipație a dispozitivelor. Din aceste motive

se recurge la metoda mai puțin precisă, dar mai rapidă, a trasării caracteristicilor pe ecranul osciloscopului.

Schema care permite trasarea dependenței curentului de tensiunea aplicată unei diode este prezentată în

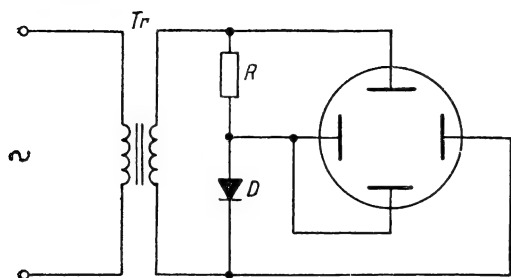


Fig. 4.39.  
Schema  
simplificată  
a unui  
diodmetru.

fig. 4.39. Transformatorul  $Tr$  are rolul de a coborî tensiunea aplicată pe diodă pînă la valori care nu pun în pericol viața acesteia. Folosirea tensiunii alternative permite obținerea unei tensiuni variabile care asigură explorarea caracteristicii dispozitivului. Tensiunea de pe diodă este aplicată la intrarea amplificatorului de deflexie pe orizontală. Prin rezistența  $R$  circulă curentul diodei. Tensiunea de la bornele lui  $R$ , care este proporțională cu curentul, este aplicată la intrarea amplificatorului de deflexie pe verticală. Pe ecranul osciloscopului apare o imagine ca în fig. 4.40.

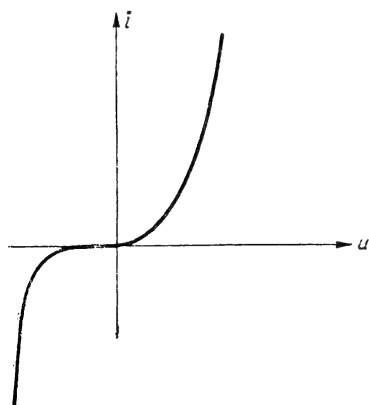
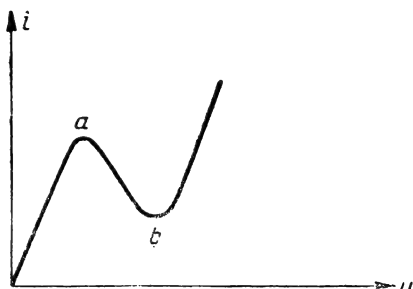


Fig. 4.40. Caracteristica  $i=f(u)$   
la diode.

Pentru observarea caracteristicii diodei tunel se folosește același montaj. Deosebirea constă în faptul că în acest caz rezistența  $R$  are un dublu rol. Pe de o parte asigură tensiunea proporțională cu curentul prin diodă,

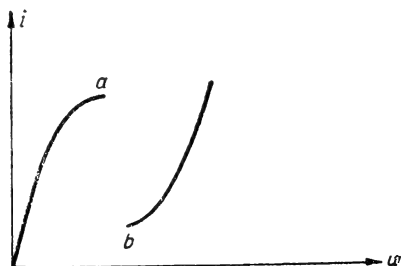
Fig. 4.41. Caracteristica  $i=f(u)$  la diode tunel (rezistența negativă este compensată).



iar pe de altă parte, ea compensează rezistența negativă care corespunde porțiunii  $a-b$  din caracteristică (fig. 4.41). Dacă această rezistență nu este corespunzător aleasă, porțiunea  $a-b$  apare întunecată, ca în fig. 4.42.

Caracteristicile de comutație ale diodelor pot fi observate cu schema din fig. 4.43. Osciloscopul folosit trebuie să dispună de o bază de timp rapidă. Repetorul catodic format de tubul  $T_1$  are rolul de a adapta circuitul de măsurare la linia de întârziere  $LA$ . În cazul tuburilor cu mai mulți electrozi sau al tranzistoarelor intervine un al treilea parametru. În locul unei singure curbe există o familie de caracteristici. Al treilea parametru primește o variație în trepte. În fig. 4.44 este prezentată familia

Fig. 4.42. Caracteristica  $i=f(u)$  la diode tunel (rezistența negativă este necompensată).



de caracteristici  $I_c=f(U_c)$  pentru diferiți  $U_E$  la un tranzistor.

Montajul care permite observarea familiei de caracteristici este schițat în fig. 4.45. Se observă că pe emitor se

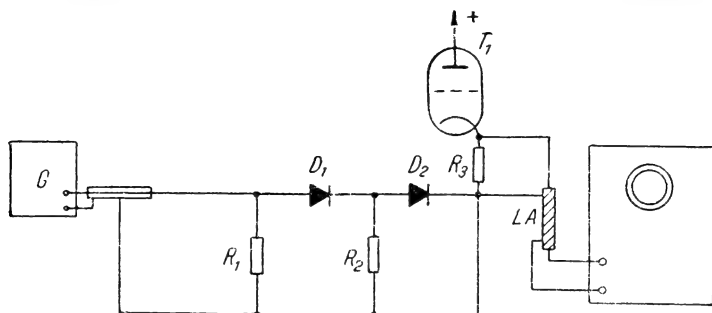


Fig. 4.43. Schemă pentru ridicarea caracteristicilor de comutație la diode.

aplică o tensiune în trepte. Fiecare treaptă corespunde unei anumite valori  $U_E$  și permite trasarea unei curbe. Schema funcționează suficient de rapid astfel ca pe ecran

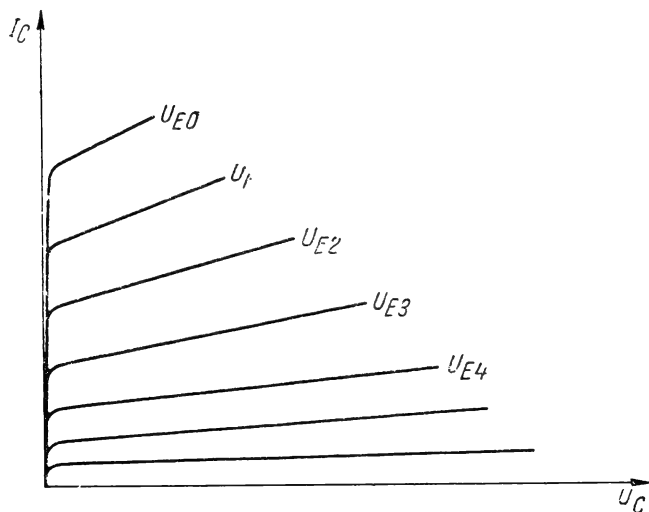


Fig. 4.44. Familie de caracteristici la tranzistor.

să se poată observa simultan toate caracteristicile familiei, ca în fig. 4.44.

Aparatele specializate pentru trasarea caracteristicilor dispozitivelor menționate poartă, după caz, denumirea de diodmetre sau caracteriografe.

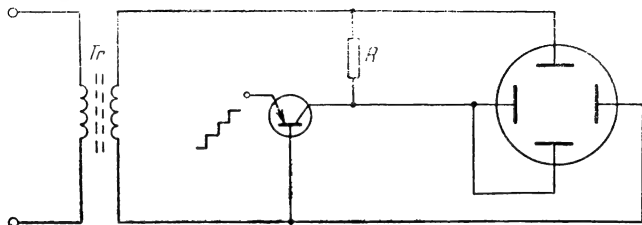


Fig. 4.45. Schemă pentru măsurarea caracteristicilor la tranzistor.

În fig. 4.46 este prezentată schema-bloc a unui diodmetru. Acest dispozitiv permite observarea caracteristicilor joncțiunilor unui tranzistor și observarea unei caracteristici în funcție de un parametru. Parametrul poate fi variat cu ajutorul unui comutator  $K$ .

În fig. 4.47 este prezentată schema-bloc a unui caracteriograf.

Generatorul  $G_1$  produce o succesiune de 12 impulsuri egal distanțate. Primele 11 impulsuri negative au forma unor dinți de ferăstrău cu durată de 0,5 ms și cu pauze de 1 ms între ele. Al 12-lea impuls are forma dreptun-

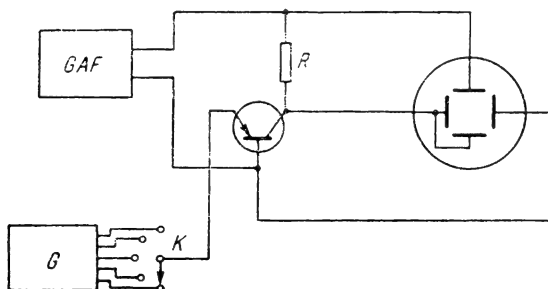


Fig. 4.46. Schema-bloc a diodmetrului.

ghiulară și are rolul de a restaura condițiile inițiale. Amplificatorul  $A_1$ , care conține și un rector catodic, transformă impulsurile negative de tensiune în dinți de ferăstrău în impulsuri pozitive de aceeași formă. Aceste

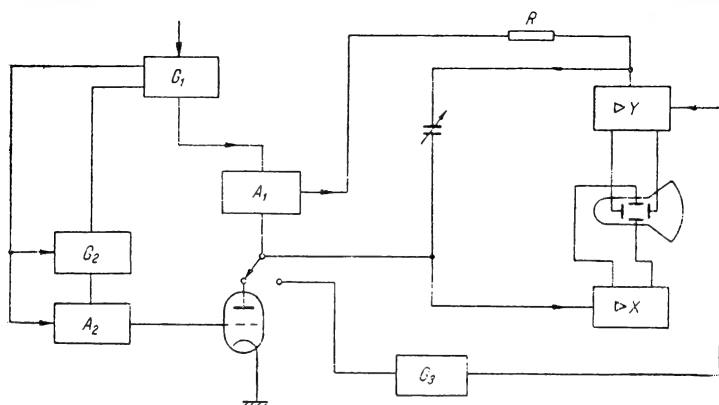


Fig. 4.47. Caracteriograf.

impulsuri se aplică pe anodul tubului testat și, de asemenea, sistemului de deflexie pe orizontală. Curentul anodic produce o cădere de tensiune pe rezistența  $R$ . Această tensiune este amplificată și aplicată sistemului de deflexie pe verticală. Generatorul  $G_1$  mai comandă un alt generator  $G_2$ , care produce o tensiune în trepte. La ieșirea din amplificatorul  $A_2$  se obține o succesiune de impulsuri dreptunghiulare a căror amplitudine scade în trepte și care se aplică pe grila tubului testat. Generatorul  $G_3$  servește pentru calibrarea scărilor ecranului. Caracteriografurile mai conțin o serie de circuite de protecție pentru cazurile în care anumite tensiuni și anumiți curenți depășesc valorile prescrise.

#### 4.13. OSCIOSCOPUL ÎN RADIOLOCAȚIE

Pentru determinarea distanței pînă la un obiect și, în general, pentru observarea prin radio a obiectelor înconjurătoare, se emite un tren de unde radio și se măsoară timpul pînă la întoarcerea undei reflectată de obiect.



O schemă-bloc simplă de echipament radar este prezentată în fig. 4.48. Emițătorul  $E$  generează o oscilație de putere cu frecvența de câteva sute de megaherți care este transmisă prin antenă sub formă de impulsuri cu o

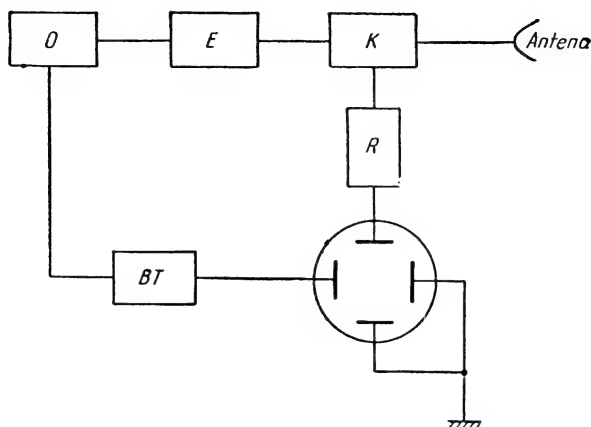


Fig. 4.48. Schemă-bloc a radarului.

frecvență de repetiție de 400—2 000 Hz. Tensiunea de joasă frecvență este produsă de oscilatorul  $O$ . După transmiterea impulsului, antena este conectată la receptorul  $R$  și impulsul reflectat de obiect este aplicat pe sistemul de deflexie pe verticală a osciloscopului. Amplitudinea impulsului reflectat scade cu distanța față de obiect. Baza de timp  $BT$  calibrată are rolul de a asigura baleiajul și de a permite determinarea timpului între emisia impulsului și recepția lui. Pe ecranul osciloscopului se poate măsura distanța între cele două impulsuri și astfel rezultă distanța reală între emițător și obiect. Comutatorul  $K$  are rolul de a proteja receptorul în timpul emisie impulsului și de a evita intrarea impulsului reflectat în circuitele emițătorului. Antena, care se rotește, permite emisia unui fascicul îngust, care „mătură” mediul înconjurător. Cel mai răspândit sistem de baleiaj este sistemul cu bază de timp radială, care desfășoară spotul de

la centrul ecranului spre margine. Rotirea razei se realizează cu un sistem de bobine de deflexie care se învârtesc sincron cu antena.

#### 4.14. MĂSURAREA GRADULUI DE MODULAȚIE

Una dintre problemele fundamentale în comunicațiile prin radio este cunoașterea adâncimii de modulație. Cea mai simplă metodă pentru aflarea acesteia constă în aplicarea la intrarea amplificatorului de deflexie pe verticală a semnalului modulat și sincronizarea bazei de timp cu semnalul care modulează. Pe ecran va apărea o imagine ca în fig. 4.49.

Făcând raportul diferenței  $a-b$  la suma  $a+b$  se poate calcula gradul de modulație. Dacă se aplică tensiunea purtătoare sistemului de deflexie pe verticală și tensiunea modulatorie sistemului de deflexie pe orizontală, pe ecran va apărea o imagine ca în fig. 4.50.

Presupunind că nu apar defazaje între purtătoare și modulatorie, imaginea va avea forma unui trapez. În

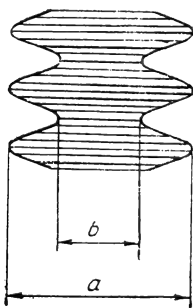


Fig. 4.49. Imagine obținută la măsurarea gradului de modulație.

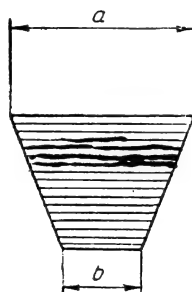


Fig. 4.50. Imagine obținută la măsurarea gradului de modulație.

cazul modulației de 100%, imaginea se va transforma într-un triunghi. Dacă creșterea tensiunii modulatorie nu este însoțită de creșterea tensiunii de radiofrecvență, trapezul se deformează prin aplatisare în zona bazei mari. Prezența armonicii a doua în tensiunea de modulație poate

fi pusă în evidență reducînd modulatoarea la zero. Pe ecran va rămîine doar o linie verticală corespunzătoare purtătoarei. Dacă creșterea ulterioară a tensiunii de modulație este însoțită de o dezvoltare inegală a trapezului în jurul liniei verticale a purtătoarei, este sigură prezența armonicii a doua. Dacă apar schimbări ale fazei între

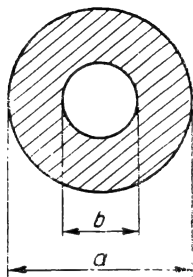


Fig. 4.51. Imagine obținută la măsurarea gradului de modulație.

modulatoare și purtătoare, laturile neparalele ale trapezului se transformă în elipse.

În sfîrșit, o altă metodă folosește purtătoarea pentru a produce o bază de timp circulară cu ajutorul unui circuit defazor. Pe ecran va apărea o imagine ca în fig. 4.51.

În cazul modulației de 100% inelul se transformă în disc.

#### 4.15. MĂSURAREA LINIILOR DE TRANSMISIE

Măsurarea parametrilor și punerea în evidență a defectelor liniilor de transmisie pot fi realizate cu ajutorul osciloscopului. Testarea se poate face cu un generator și cu un indicator obișnuit.

Pentru transmisiile de bandă largă, care folosesc impulsuri scurte și abrupte, se folosește montajul din fig. 4.52. Un oscilator autoblocat  $O_1$  generează impulsuri cu o frecvență de repetiție de 2 kHz, care sînt apoi aplicate la intrările a două amplificatoare  $A_1$  și  $A_2$ . Din amplificatorul  $A_1$  impulsurile traversează o linie de întîrziere fixă  $LA_1$  pentru a fi aplicate la intrarea unui oscilator autoblocat comandat  $O_2$ . Oscilatorul  $O_2$  produce niște impulsuri cu un front anterior de aproximativ 12 ns, care sînt amplificate într-un amplificator cu constante distribuite  $A_3$  cu o bandă de 600 MHz. De la ieșirea amplifica-

torului  $A_3$  impulsurile sînt aplicate sistemului de deflexie pe verticală și liniei de transmisie testată. Impulsurile amplificate de  $A_2$  traversează o linie de întârziere variabilă continuu  $LA_2$  și apoi sînt aplicate oscilatorului autoblocat  $O_3$ , care declanșează baza de timp  $BT$  a osciloscopului.

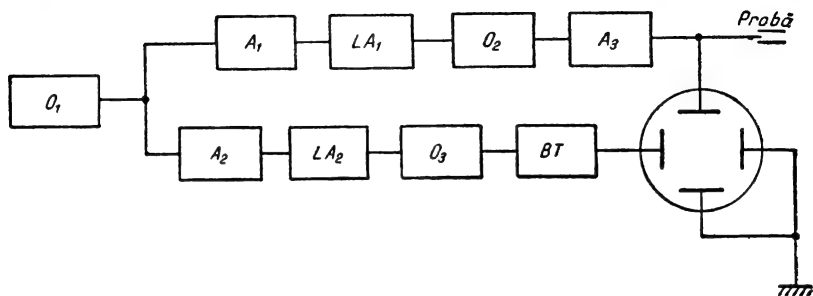


Fig. 4.52. Montaj pentru măsurarea liniilor de transmisie.

lui. Ajustînd linia artificială  $LA_2$  se poate modifica momentul declanșării bazei de timp.

În fig. 4.53 sînt prezentate impulsurile transmise  $t_0$  și impulsurile reflectate  $t_1$  în diferite situații: circuit deschis la capăt (fig. 4.53, a), circuit scurtcircuitat la capăt (fig. 4.35, b), circuit cu sarcină inductivă la capăt (fig. 4.53, c) și circuit cu sarcină capacitivă la capăt (fig. 4.53, d).

Timpul între cele două impulsuri poate permite calculul vitezei de propagare a impulsului prin linie. Pentru situațiile în care sînt necesare două linii cu aceeași lungime, se poate aplica metoda de mai sus. Una dintre linii se lasă liberă la capăt, iar cealaltă se scurtcircuitează. Ambele linii sînt alimentate cu impulsuri, dar prima linie reflectă un impuls de aceeași polaritate, iar a doua linie reflectă un im-

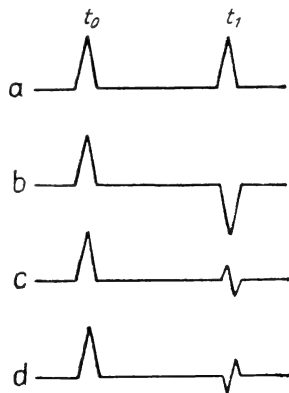


Fig. 4.53. Impulsuri care apar pe linia de transmisie.

puls cu polaritate inversă. Cînd cele două impulsuri de polarități diferite coincid, ca poziție pe ecran, liniile au aceeași lungime.

#### 4.16. RIDICAREA CURBEI DE HISTEREZIS

Materialele feromagnetice sînt foarte bine caracterizate de curbele reprezentînd dependența inducției magnetice  $B$  de cîmpul magnetic  $H$ .

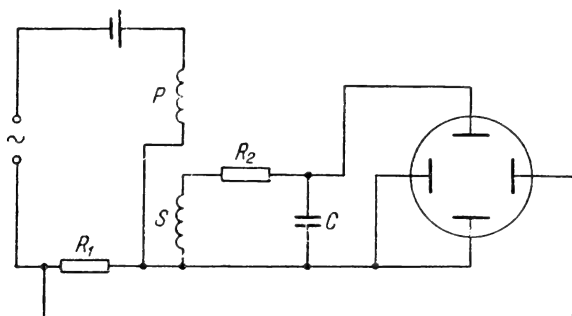


Fig. 4.54. Montaj pentru ridicarea curbei de histerezis.

În fig. 4.54 este prezentat un montaj care permite ridicarea curbei de histerezis. O tensiune alternativă este aplicată bobinei de măsurare  $P$  și rezistenței calibrate  $R$ . Materialul feromagnetic testat, sub forma unui miez, poate fi introdus în interiorul bobinei  $P$ . Cîmpul magnetic  $H$  este proporțional cu curentul prin bobină și astfel tensiunea la bornele rezistenței  $R_1$ , proporțională cu cîmpul  $H$ , poate fi aplicată sistemului de deflexie pe orizontală. Într-o altă bobină  $S$ , cuplată cu bobina  $P$ , se induce un flux magnetic proporțional cu derivata inducției  $B$ . Pentru a obține un semnal proporțional cu inducția, tensiunea bobinei  $S$  traversează circuitul de integrare  $R_2, C$  și apoi se aplică sistemului de deflexie pe verticală. Pe ecranul osciloscopului va apărea o curbă ca în fig. 4.55, reprezentînd dependența  $B=f(H)$ .

Pentru ridicarea rapidă a curbelor de histerezis se folosesc aparate specializate numite feroscoape. Schema-bloc simplificată a unui feroscop este prezentată în fig. 4.56.

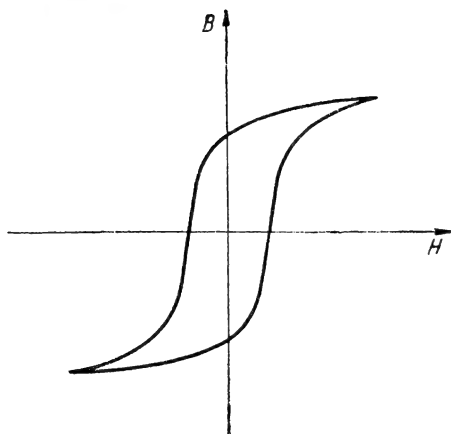


Fig. 4.55. Curbă de histerezis.

Capul de probă  $CP$  conține 4 bobine: bobina de excitație  $L_1$  și bobinele de măsurare  $L_2-L_4$ . Bobina  $L_1$  este alimentată de la un generator de audiofrecvență  $GAF$  cu

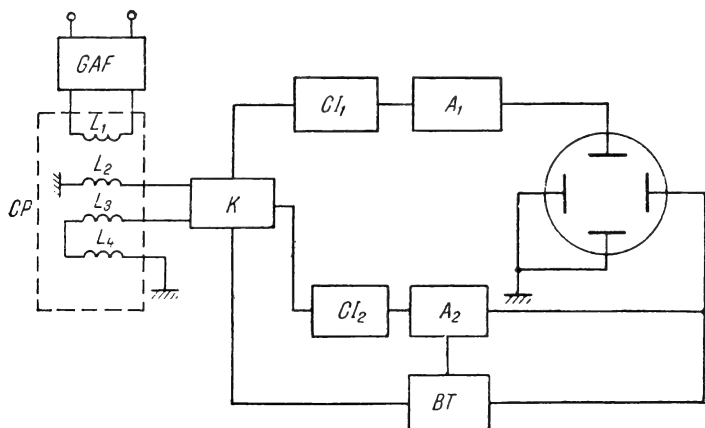


Fig. 4.56. Schema-bloc a feroscopului.

frecvența reglabilă pînă la 1 kHz. Bobina  $L_2$  servește la măsurarea variației cîmpului  $H$ , iar bobinele  $L_3$  și  $L_4$  produc o tensiune proporțională cu variația inducției  $B$ . Prin comutatorul  $K$ , cele două tensiuni sînt aplicate unor circuite de integrare  $CI_1$ ,  $CI_2$ , iar apoi unor amplificatoare  $A_1$  și  $A_2$ , de unde ajung la sistemele de deflexie pe verticală și pe orizontală. Frecvența generatorului  $BT$  poate fi reglată între 10 Hz și 10 kHz. Tensiunea de baleiaj este sincronizată cu tensiunea amplificatorului  $A_2$ . Feroscopul mai este prevăzut și cu sisteme de calibrare și de trasare a axelor de coordonate, care nu apar în schema-bloc.

#### 4.17. VERIFICAREA BOBINAJELOR ROTOARELOR

Rotoarele mașinilor electrice cu colector pot fi verificate la scurtcircuit cu ajutorul montajului din fig. 4.57.

Rotorul este montat într-un strung sau într-un mecanism care permite rotirea cu o viteză potrivită. O pereche de perii folosește la aplicarea unei tensiuni cu o frecvență de 2—3 kHz produsă de un generator de audiofrecvență  $GAF$ . Cealaltă pereche de perii se poate roti în jurul colectorului. În timpul învîrtirii rotorului perechea mobilă de perii primește un semnal de la fiecare sector al rotorului. Dacă un sector prezintă scurtcircuit, pe ecranul osciloscopului apare o imagine ca în fig. 4.58.

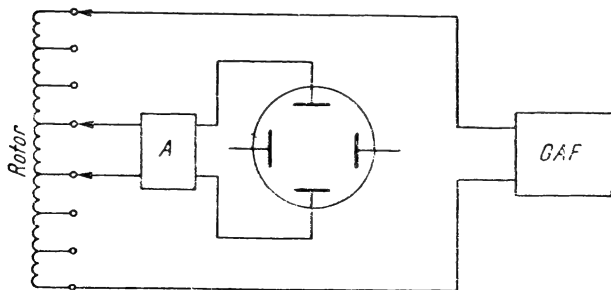


Fig. 4.57. Montaj pentru verificarea rotoarelor mașinilor electrice.

Fig. 4.58. Forme de undă la verificarea rotoarelor.

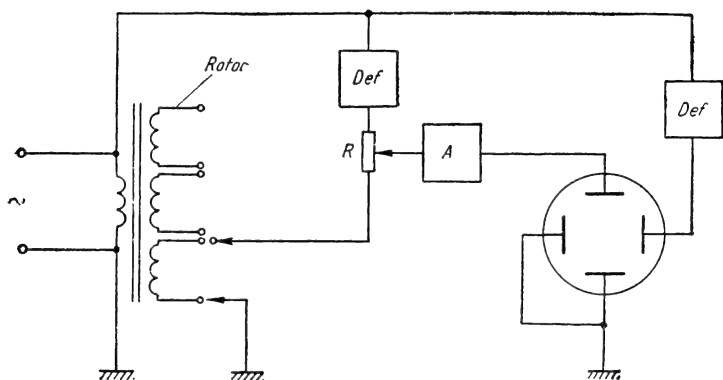
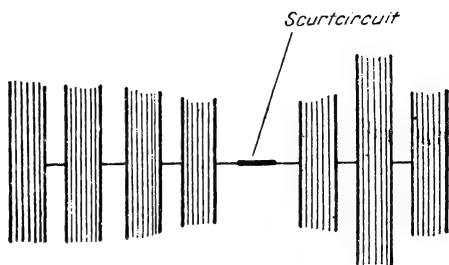


Fig. 4.59. Montaj pentru verificarea rotoarelor mașinilor electrice.

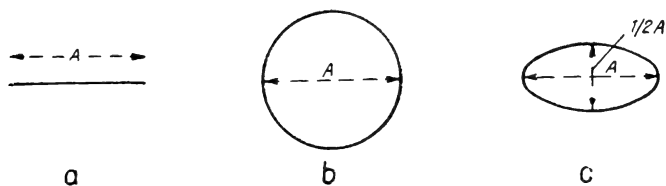


Fig. 4.60. Imagini în cazul verificării rotoarelor.



O altă metodă pentru verificarea bobinelor rotoarelor se bazează pe plasarea rotorului într-un câmp creat de o sursă de tensiune de audiofrecvență (fig. 4.59).

Aceeași sursă alimentează două rețele de defazare *Def*. Una dintre ele conduce semnalul direct la sistemul de deflexie pe orizontală. A doua rețea este legată în serie cu o rezistență *R* și cu sectorul testat. De pe rezistența *R* se culege tensiunea de deflexie pe verticală. Diversele curbe care pot apărea pe ecranul osciloscopului sînt prezentate în fig. 4.60: *a* — sector normal, *b* — circuit deschis, *c* — scurtcircuit.

#### 4.18. DEFECTOSCOPIE ULTRASONORA

Pentru examinarea defectelor care pot apărea în interiorul anumitor piese se folosesc metode care implică distrugerea piesei sau metode nedestructive. Dintre metodele nedestructive, în funcție de materialul piesei cercetate, una dintre cele mai cunoscute este metoda defectoscopiei ultrasonore. Metoda este recomandată în special în cazul pieselor de dimensiuni mari care prezintă defecte mici.

În fig. 4.61 este prezentată schema-bloc a unui defectoscop bazat pe metoda ecoului. Oscilatorul pilot *O* conține un multivibrator care produce impulsuri dreptunghiulare cu o frecvență de repetiție de aproximativ 500 Hz. Aceste impulsuri declanșează baza de timp *BT* și determină funcționarea generatorului de impulsuri *G*. Generatorul *G*

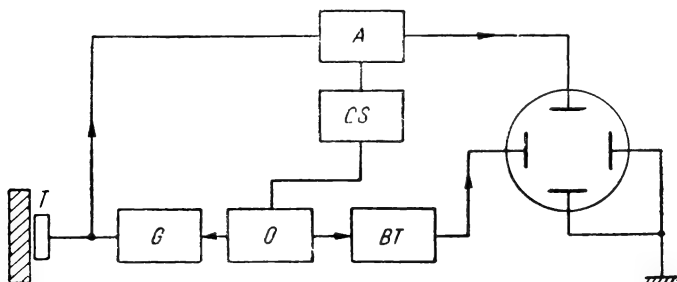


Fig. 4.61. Schema-bloc a defectoscopului.

produce trenuri de 3—4 oscilații puternic amortizate, cu frecvența de aproximativ 1MHz, care alimentează un traductor piezoelectric *T*. Impulsurile ultrasonore produse de traductorul *T* traversează piesa studiată și sînt reflectate

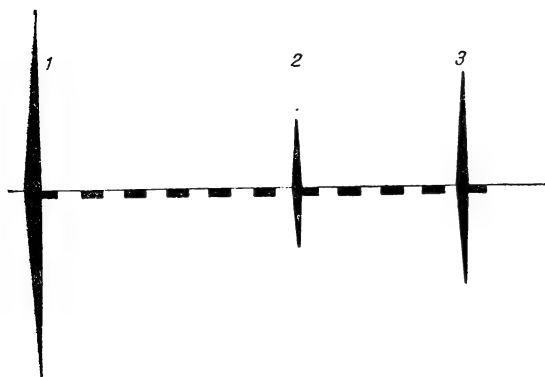


Fig. 4.62.  
Imagine pe  
ecranul  
defectosco-  
pului.

fie de defecte, fie de capătul piesei (de zonele de separație a două medii diferite). Traductorul *T* este comutat în poziția de receptor. Semnalele ultrasonore reflectate sînt transformate în impulsuri electrice și apoi aplicate la intrarea amplificatorului *A*. Sensibilitatea amplificatorului poate fi reglată automat cu ajutorul unui dispozitiv de control al sensibilității *CS*. De la ieșirea amplificatorului semnalul este aplicat sistemului de deflexie pe verticală a osciloscopului. Pe ecran vor apărea imagini ca în fig. 4.62, unde 1 este impulsul emis, 3 este impulsul reflectat de capătul piesei, iar 2 — impulsul reflectat de defect. Defectoscopul dispune de o calibrare în timp a ecranului, cu ajutorul unor repere luminoase, astfel încît se poate aprecia ușor adîncimea la care se află defectul.

#### 4.15. APLICAȚII ÎN TEHNICA NUCLEARĂ

Printre metodele de studiere a structurii nucleului atomic un loc însemnat îl ocupă metodele spectroscopiei nucleare legate de măsurarea distribuției după amplitudine și timp a impulsurilor electrice produse de detec-

toarele de particule. În general, detectoarele dau la ieșire semnale electrice a căror amplitudine conține informații despre energia particulelor studiate. În acest fel distribuția impulsurilor electrice după amplitudine permite apre-

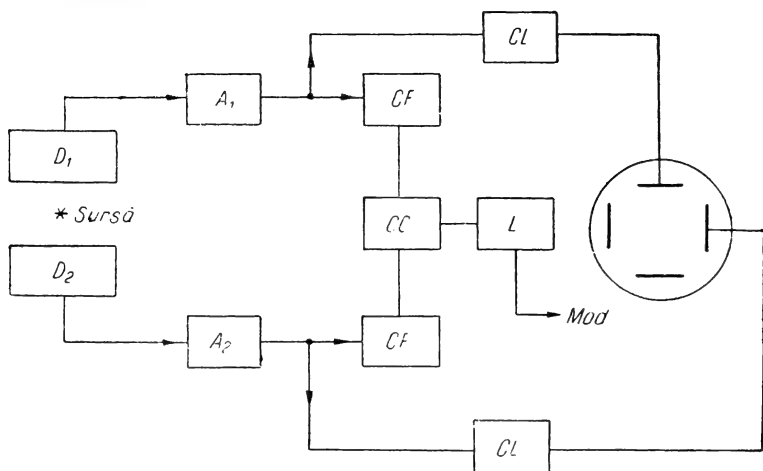


Fig. 4.63. Schema-bloc a analizorului multiplu.

cierea distribuției particulelor după energie. Aceste distribuții au un caracter continuu și, pentru măsurare, întregul domeniu este împărțit într-un număr finit de intervale, numite canale. Explorarea canalelor se poate face succesiv sau simultan. Explorarea simultană este mai indicată și se realizează cu ajutorul unui analizor multi-canal. În ultimii ani, analizoarele multicanal au căpătat o răspândire largă atât pentru analiza distribuției după amplitudine sau după timp, cât și pentru măsurări multiple când este necesară distribuția semnalelor obținute de la detectorul de particule, în funcție de doi sau mai mulți parametri. Cel mai simplu sistem (care folosește o metodă de integrare) este analizorul multiplu, în care datele se obțin prin fotografierea imaginii obținute pe ecranul unui tub catodic. Tubul catodic formează în acest caz sistemul de distribuție a informației pe canale. Precizia reprezentării datelor pe canale este însă destul de mică, în așa fel

încît practic se obțin doar aprecieri de natură calitativă. Totuși, din cauză că datele variază destul de repede, se obțin informații destul de importante.

În fig. 4.63 este prezentată schema unui analizor multiplu cu înregistrare fotografică, în care  $CF$  sînt circuite de formare, iar  $CC$  — circuit de coincidență. În momentul coincidenței impulsurile produse de detectoarele  $D_1$  și  $D_2$  și apoi amplificate de  $A_1$  și  $A_2$  sînt lărgite cu ajutorul circuitelor de lărgire a impulsurilor  $CL$  și aplicate sistemelor de deflexie. La cîteva microsecunde după momentul coincidenței se conectează sistemul de modulare a intensității spotului. Astfel, fiecare pereche de impulsuri produce apariția unui punct pe ecran, a cărui poziție este determinată de amplitudinea celor două semnale. Fotografierea ecranului permite reținerea informației respective. Pe ecran se pot trasa anumite linii care separă porțiunile din spectru care prezintă interes deosebit.

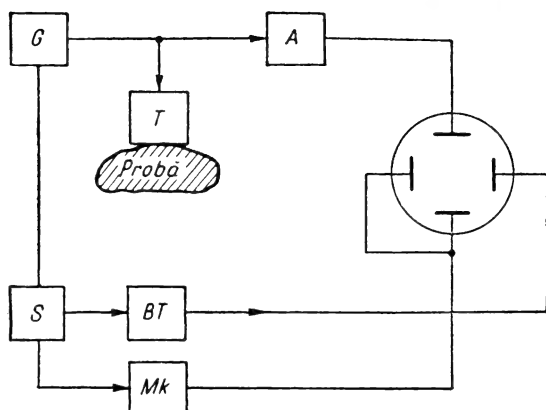
#### 4.20. APLICAȚII ÎN MEDICINĂ

În ultimii ani, electronica medicală s-a dezvoltat considerabil. Necesitatea observării manifestărilor electrice normale sau patologice ale materiei vii a impus construirea unor aparate electromedicale cu înregistratoare sau cu tub catodic. Pentru obținerea imaginii unor țesuturi în adîncime se folosesc metode de ecou similare celor utilizate în defectoscopia ultrasonoră industrială. Față de diagnosticul röntgen, metodele bazate pe ultrasunete prezintă avantaje în cazul studierii țesuturilor moi.

În fig. 4.64 este prezentată schema-bloc a montajului pentru obținerea ecogramei. Pentru a obține o rezoluție bună se folosesc impulsuri scurte. Frecvența maximă se limitează însă la 2,5 MHz. Se poate folosi un singur traductor  $T$ , care se comută de pe emisie pe recepție. Circuitul de sincronizare  $S$  produce impulsuri cu o frecvență de repetiție între 100 Hz și 100 kHz, care comandă generatorul  $G$ , declanșează baza de timp  $BT$  și comandă circuitul de marcare  $Mk$ . După emiterea impulsurilor ultrasonore, traductorul  $T$  se comută pe recepție și impulsurile reflectate de zonele unde au loc variații ale mediului, sînt

transformate în impulsuri electrice și amplificate cu ajutorul amplificatorului *A*. Metoda se aplică în special pentru examinarea creierului, inimii și ochiului. Pentru mărirea preciziei se poate folosi un osciloscop cu două canale

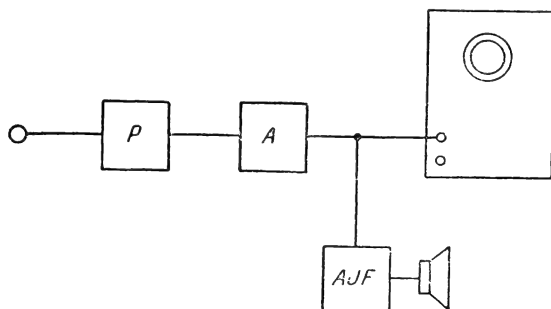
Fig. 4.64.  
Schema  
montajului  
pentru  
obținerea  
ecogramei.



cuplat cu două traductoare de emisie și cu două traducătoare de recepție. Astfel, pot fi comparate două zone simetrice ale corpului omenesc.

Pentru observarea activității electrice a mușchilor scheletici se folosește electromiograful (fig. 4.65). Acest

Fig. 4.65.  
Schema-bloc  
a electromio-  
grafului.



aparat cuprinde un preamplificator biologic *P*, analog celor folosite în encefalografe, urmat de un amplificator final *A*, a cărui ieșire se aplică la sistemul de deflexie pe verticală al osciloscopului. În fața ecranului se poate plasa

un aparat fotografic cu derulare continuă. O ieșire a amplificatorului *A* este legată la un amplificator de joasă frecvență prevăzut cu un difuzor, pentru examen acustic. Montajul poate fi improvizat folosind un canal al ence-

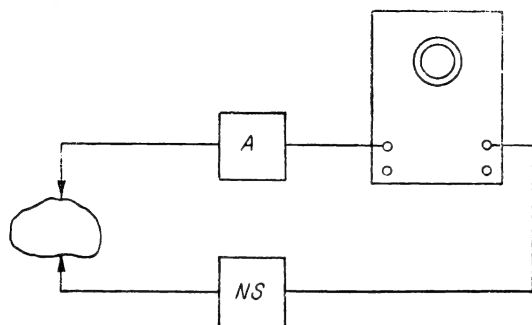


Fig. 4.66.  
Electromiograf  
cu neurostimu-  
lator.

falografului, un osciloscop și un amplificator. Electromiograf-ul poate fi asociat cu un neurostimulator *NS*, ca în fig. 4.66.

Neurostimulatorul are și rolul de a declanșa baza de timp cu o singură cursă a osciloscopului.

Studiile electroencefalografice se pot face pe un sistem de afișaj deosebit, folosind aparatul numit toposcop. În esență, acest aparat conține câte un tub catodic de dimensiuni mici pentru fiecare dintre cele 20—25 de canale ale electroencefalografului. Distribuția spațială a tuburilor catodice corespunde distribuției punctelor analizate. Se folosește un baleiaj în spirală, care permite mișcarea spotului pe o spirală de la centrul spre marginea ecranului.

#### 4.21. APLICAȚII ÎN MECANICĂ

Multe măsurări din mecanică pot fi efectuate cu ajutorul unui osciloscop prevăzut cu un traductor adecvat. Mărimile care pot fi măsurate direct pot fi calculate din efectele produse asupra unui material cunoscut. Un exemplu tipic al măsurărilor directe este determinarea vitezei

particulelor în mișcare. Principiul de măsurare se bazează pe întreruperea unei raze de lumină la trecerea particulelor respective, fapt care poate produce apariția unui impuls la o fotocelulă. Pentru măsurarea vitezei unui pro-

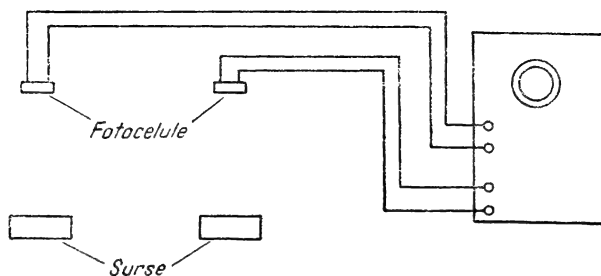


Fig. 4.67. Schemă pentru măsurarea vitezei particulelor în mișcare.

iectil se folosesc de obicei două sau mai multe fotocelule iluminate fiecare cu câte un fascicul subțire (fig. 4.67). Traversarea de către proiectil a fiecărui fascicul produce apariția unor impulsuri de tensiune care sînt aplicate pe sistemul de deflexie pe verticală al osciloscopului.

Distanța între impulsuri în cazul unei baze de timp calibrate poate exprima direct viteza proiectilului.

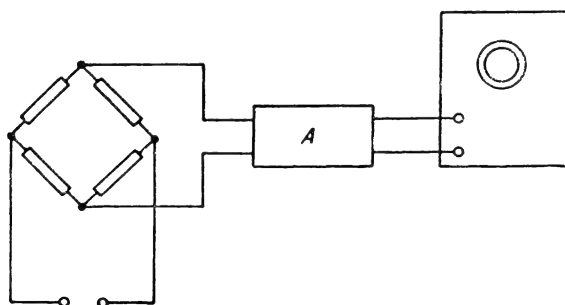


Fig. 4.68. Schemă pentru măsurarea presiunii unui lichid.

Pentru măsurarea presiunilor poate fi folosit un osciloscop împreună cu traductoare rezistive de presiune. Acestea au avantajul unei bune stabilități și pot fi calibrate cu ușurință. În fig. 4.68 este prezentat un montaj

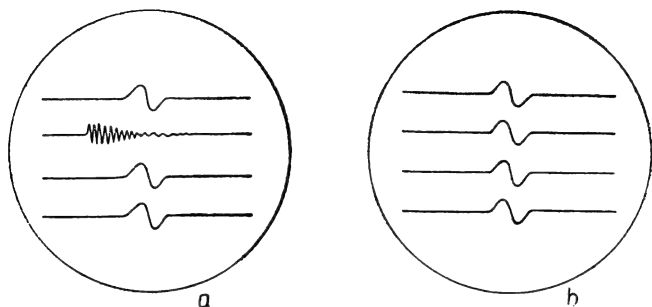


Fig. 4.69. Imagine în cazul observării funcționării motoarelor cu ardere internă.

pentru măsurarea presiunii într-o conductă de lichid. Traductorul se compune din patru rezistențe bobinate pe un cilindru comun și legate în punte. Două dintre ele sînt supuse presiunii lichidului investigat. Ieșirea punții este legată la un amplificator de curent continuu alimentat de la o sursă stabilizată de tensiune. Osciloscul utilizat trebuie să aibă ecran cu persistență mare și, de obicei, imaginea obținută se fotografiază.

Funcționarea corectă a motoarelor cu ardere internă poate fi pusă în evidență cu ajutorul unor traductoare de presiune și a unui osciloscop cu mai multe canale. Se poate studia efectul variațiilor amestecului carburant și al substanțelor antidetonante. În fig. 4.69 sînt prezentate imaginile obținute în două situații. În primul caz (fig. 4.69, a) un cilindru prezintă fluctuații în perioada dinaintea aprinderii. Al doilea caz (fig. 4.69, b) corespunde funcționării normale. Pentru studiul variațiilor de presiune, în amplificator poate fi inclus un circuit de diferențiere.



## VERIFICAREA ȘI DEPANAREA OSCILOSCOPULUI

În procesul utilizării osciloscopului pot apărea modificări ale parametrilor de funcționare sau defecte. Modificarea parametrilor poate fi determinată de schimbarea parametrilor tuburilor electronice, rezistențelor și condensatoarelor, de oxidarea contactelor și de alte cauze.

În general, manualul de instrucțiuni al osciloscopului indică anumite verificări ale blocurilor. Acestea cer însă calificare ridicată și aparatură specială. În continuare, se vor da totuși câteva indicații de verificare și reparare accesibile unui cerc mai larg de persoane.

Înainte de orice intervenție este indicat să se urmărească atent starea montajului, poziția pieselor, pentru a fi posibilă observarea unor scurtcircuite, atingeri de piese sau întreruperi de circuite. Se observă în continuare dacă nu există tuburi electronice sparte sau fisurate, rezistențe arse sau înegrite, tuburi ieșite din socluri sau comutatoare care în mod vizibil nu fac contact.

Conectarea osciloscopului defect la rețea trebuie făcută cu atenție, folosind eventual un autotransformator care să ofere tensiuni din ce în ce mai mari până la valoarea nominală și urmărind consumul de curent de la rețea, care trebuie să fie apropiat de valoarea prescrisă. Dacă curentul crește repede peste valoarea prescrisă, este bine să se întrerupă alimentarea și să se verifice mai atent starea montajului. În acest caz se verifică dacă nu există scurtcircuite în circuitele de încălzire a filamentelor, între circuitele anodice și șasiul osciloscopului, dacă nu

sînt străpunse bobinele de șoc ale filtrului, dacă starea condensatoarelor electrolitice este bună. Poate fi defectă una dintre diodele redresoare sau transformatorul poate avea spire în scurtcircuit. Scoțînd toate tuburile electronice din socluri, prezența unui consum prea mare de curent de la rețea indică un defect în transformator sau scurtcircuit în circuitele de alimentare a filamentelor. Introducînd în socluri numai tuburile redresoarelor, un consum prea mare de curent de la rețea sugerează prezența unor scurtcircuite între circuitele anodice și șasiu. În fine, la un consum normal de curent se lasă osciloscopul conectat la rețea timp de cîteva minute pentru a se asigura încălzirea filamentelor. Se acționează butoanele care reglează intensitatea, focalizarea și deplasarea spotului.

Absența spotului este cauzată de un defect în circuitele de reglare a spotului, în blocul de alimentare sau chiar în tubul catodic. Pentru precizarea locului defectului se rotește pînă la maximum butonul de reglaj al intensității spotului și se observă atent ecranul. Dacă se vede într-o parte a ecranului o slabă iluminare, aceasta indică un defect în circuitele care asigură deplasarea poziției spotului. Unele osciloscopuri dispun de 4 becuri cu neon, a căror aprindere indică direcția în care spotul a părăsit ecranul. Întrucît deplasarea poziției spotului se realizează de obicei prin modificarea simetriei în alimentarea unor tuburi electronice din amplificatoarele în contratimp, defectul poate fi dat de proasta funcționare a unui tub sau defectarea potențiometrului respectiv.

Funcționarea baleiajului este pusă în evidență de prezența unei urme pe care o lasă spotul pe ecran. Cu comutatorul vitezei de baleiaj în poziții corespunzătoare vitezelor mijlocii și mari, urma de pe ecran are forma unei linii orizontale. Dacă această linie lipsește, trebuie verificate tensiunile la soclul tubului catodic. De menționat că tensiunea înaltă de pe tubul catodic este de obicei negativă față de șasiu. Dacă toate tensiunile corespund celor indicate de constructor, tubul catodic poate fi ieșit din soclu sau defect. Dacă tensiunile la soclu nu corespund, trebuie verificat divizorul de tensiune care le produce,

apoi redresorul de înaltă tensiune și condensatoarele filtrului.

Absența baleiajului este consecința unui defect în generatorul de baleiaj, în amplificatorul de deflexie pe orizontală sau în tubul catodic. Localizarea defectului se poate face astfel: se deconectează baleiajul și se aplică o tensiune alternativă la intrarea amplificatorului de deflexie pe orizontală. Dacă pe ecran apare o linie orizontală, defectul aparține generatorului de baleiaj. Dacă nu apare linia orizontală, trebuie verificate amplificatorul de deflexie pe orizontală și tubul catodic. Se aplică semnal chiar pe plăcile de deflexie pe orizontală. Dacă linia nu apare, tubul este defect. Apariția liniei indică un defect în amplificator. În cazul amplificatoarelor cu un singur etaj se schimbă tubul electronic cu un altul bun. Depănarea amplificatorului cu mai multe etaje se poate face folosind drept indicator chiar tubul catodic. Se aplică printr-un condensator de  $0,1 \mu\text{F}$  o tensiune alternativă la intrarea ultimului etaj și apoi succesiv celorlalte etaje către intrarea generală. Dacă schema funcționează normal între punctul de aplicare a tensiunii și plăcile de deflexie, atunci pe ecran apare linia orizontală. Primul punct în care această linie dispare determină locul defectului.

Nestabilitatea imaginii poate fi produsă de un defect în canalul de sincronizare. Dacă pentru mărirea semnalului de sincronizare se utilizează un amplificator, se schimbă tubul electronic. Se verifică, de asemenea starea montajului și poziția conductoarelor. Nestabilitatea imaginii mai poate fi determinată de prezența zgomotului rețelei în circuitele de sincronizare. Dacă în pozițiile „sincronizare internă” și „sincronizare de la rețea” se obține o sincronizare la fel de proastă, atunci cauza este zgomotul.

Absența deviației pe verticală indică un defect în amplificatorul de deflexie pe verticală. Dacă nu apare niciun fel de deviație, este bine să se schimbe tuburile amplificatorului, să se controleze starea contactelor atenuatorului de la intrare și starea cablului de intrare. Dacă totul este normal, se aplică o tensiune sinusoidală la intrarea etajelor amplificatorului începând cu ultimul și se urmărește

apariția sinusoidei pe ecranul tubului catodic. Prezența zgomotului conduce la îngroșarea liniei spotului sau chiar la modularea imaginii utile. Cauzele principale sînt modificarea parametrilor tuburilor și mărirea rezistenței contactelor de punere la masă.

Verificările indicate de constructor în manualul de instrucțiuni se referă mai mult la blocurile osciloscopului, la funcționarea lor corectă și la anumite elemente de reglaj. Sînt utile însă anumite verificări ale osciloscopului ca ansamblu. Rezistența de intrare a osciloscopului se poate măsura legînd intrarea acestuia la o punte de rezistențe (de curent alternativ dacă intrarea osciloscopului are condensator serie). Cu o punte de capacități se poate măsura componenta capacitivă a impedanței de intrare. Verificarea sensibilității se face, după calibrarea prealabilă a osciloscopului, prin aplicarea unei tensiuni de audiofrecvență (50 Hz sau 1000 Hz, după caz), care să producă o deviație cunoscută pe ecran și care se măsoară cu un voltmetru electronic de precizie. Ridicarea caracteristicii de frecvență a osciloscopului se face prin aplicarea unei tensiuni sinusoidale cu frecvența de 50 Hz sau 1000 Hz care să producă pe ecran o deviație a spotului pe aproximativ  $2/3$  din diametrul ecranului. Această tensiune se menține constantă pentru toată banda de frecvențe investigată. Din raportul dintre deviația la frecvență cercetată și deviația la frecvența de referință rezultă abaterea caracteristicii de frecvență.

## BIBLIOGRAFIE

1. *Baranovski, V. I. Elektronno-lucevie trubki.* Moscova, Gosenergoizdat, 1961.
2. *Boikov, M. A. Elektronno-lucevaia trubka.* Moscova, Voenizdat, 1960.
3. *Bigalke, A. Messtechnik der Elektronenstrahl Oszillographen* Karlsruhe, Braunschweig, 1959.
4. *Bușev, N. ș.a. Commutatori k oștillografam.* În „Radio“, 1960, nr., 4, p. 57—58.
5. *Czech, J. Oszillographen Messtechnik.* Berlin, Bersigwalde, 1959.

6. Eleaşkevici, S. **Nastroica televizorov pri pomošci oštillografov.** În „Radio“ 1955, nr. 10, p. 28—30.
7. Fricke, H. W. **Der Katodenstrahlloszillograph.** Leipzig, Fachbuchverlag, 1957.
8. Fricke, H. W. **L'enregistrement photographique des oscillogrammes electroniques.** Eindhoven N. V., Philips, 1964.
9. Haas, A. **Oscilloscope techniques.** New York, Gernsback, 1960.
10. Hertel, V. ş.a. **Svetolucevie oštillografi.** Moscova, Gosenergoizdat, 1965.
11. Hoffman, H. J. **Industrielle Electronenstrahlloszillographen,** Heidelberg, Alfred Hüttig, 1967.
12. Löbel, M., Coman, V. **Aplicații industriale ale oscilografului catodic.** București, Editura tehnică, 1959.
13. Markov, I. P. **Elektronnii oštillograf.** Moscova, Voenizdat, 1950.
14. Millner, R. **Katodenstrahl Oszillographen.** Berlin, Verlag Technik, 1965.
15. Nadler, M. **Oscilograful catodic** (traducere din l. engleză). București, Editura tehnică, 1956.
16. Parr, C., Dave O. H. **The Cathod-ray Tube.** Londra, Chapman and Hall Ltd. 1959.
17. Prozorovskii, O. **Skorostnoe oštillografirovanie.** În: „Radio“, nr. 10, 1960, p. 30—31.
18. Reabinin, I. A. **Stroboskopicescoe oštillografirovanie signalov nanosekundnoi dlitelnosti.** Moscova, Sovetskoe Radio, 1968.
19. Rider, J. **Encyclopedia on Cathode-ray Oscilloscopes and their uses.** New York, a Rider publication, 1959.
20. Sobolevskii, A. G. **Elektronnolucevoi oštillograf.** Moscova, Gosenergoizdat, 1956.
21. Staşuk, L. **Elektronnii commutator na poluprovodnikovih priborah.** În: „Radio“, nr. 1, 1960, p. 58.
22. Svilans, M. P. **Oštilloscopeskaia nastroiika radiopriiomnikov.** Riga, Zinatne, 1967.
23. Turner, R. P. **Practical Oscilloscope Handbook.** Londra, Iliffe, 1964.
24. Visenciuk, I. M. ş.a. **Elektronnolucevoi oštillograf i evo primenenie v izmeritelnoi tehnike.** Moscova, Gostehizdat, 1957.
25. Zaciu, G. **Metode de verificare pentru osciloscopae şi sincroscoape.** În *Metrologia aplicată*, vol. 15 (1968) nr. 4.

## CUPRINS

1. Introducere . . . . .	5
2. <b>DESCRIEREA OSCILOSCOPULUI</b> . . . . .	11
2.1. Tubul catodic . . . . .	11
2.2. Circuitul de intrare . . . . .	14
2.3. Amplificatoarele . . . . .	15
2.4. Generatorul de baleiaj . . . . .	32
2.5. Blocul de alimentare . . . . .	46
2.6. Circuitul de calibrare a amplitudinii . . . . .	54
2.7. Circuitul de calibrare a duratei . . . . .	56
2.8. Circuitul de modulare a intensității spotului . . . . .	58
2.9. Circuite de reglare a spotului . . . . .	62
3. <b>OSCILOSCOAPE SPECIALE</b> . . . . .	64
3.1. Comutatorul electronic . . . . .	64
3.2. Osciloscopul cu eșantionare . . . . .	69
4. <b>APLICAȚII</b> . . . . .	77
4.1. Calibrarea osciloscopului . . . . .	77
4.2. Măsurarea tensiunilor sinusoidale . . . . .	78
4.3. Măsurarea impulsurilor de tensiune . . . . .	78
4.4. Măsurarea duratei impulsurilor . . . . .	80
4.5. Măsurarea puterii electrice . . . . .	82
4.6. Măsurarea defazajelor . . . . .	83
4.7. Măsurarea frecvenței . . . . .	83
4.8. Osciloscopul ca indicator de nul . . . . .	87
4.9. Verificarea amplificatoarelor de joasă frecvență . . . . .	88
4.10. Alinierea radioreceptoarelor. Selectograful . . . . .	93
4.11. Verificarea televizoarelor . . . . .	96
4.12. Ridicarea caracteristicilor tuburilor și tranzistoarelor. Caracteriograful . . . . .	101
4.13. Osciloscopul în radiolocație . . . . .	106
4.14. Măsurarea gradului de modulație . . . . .	108
4.15. Măsurarea liniilor de transmisie . . . . .	109
4.16. Ridicarea curbei de histerezis . . . . .	111
4.17. Verificarea bobinajelor rotoarelor . . . . .	113
4.18. Defectoscopie ultrasonoră . . . . .	115
4.19. Aplicații în tehnica nucleară . . . . .	116
4.20. Aplicații în medicină . . . . .	118
4.21. Aplicații în mecanică . . . . .	120
5. <b>VERIFICAREA ȘI DEPANAREA OSCILOSCOPULUI</b> . . . . .	123
Bibliografie . . . . .	126



## SERIA ELECTRONICĂ INDUSTRIALĂ

R. Boconcioc, I. Diaconescu  
VOLTMETRE ELECTRONICE

R. Popescu  
FRECVENȚMETRE ELECTRONICE

R. Andreescu  
GENERATOARE DE SEMNAL

Th. Nicolau  
PUNȚI ȘI COMPENSATOARE  
ELECTRONICE

C. Negoită, M. Ivan  
APARATE ELECTRONICE  
PENTRU MĂSURAREA  
MĂRIMILOR GEOMETRICE

V. Malcoei  
APARATE ELECTRONICE  
PENTRU MĂSURAREA PARAMETRILOR  
REZISTENȚELOR, BOBINELOR  
ȘI CONDENSATOARELOR

Șt. Boboc  
APARATE ELECTRONICE  
PENTRU MĂSURAREA MASELOR,  
FORȚELOR ȘI CUPLURILOR

EDITURA TEHNICĂ

Lei 4,75